VETERINÁRIA e ZOOTECNIA

Nº 112 - DEZEMBRO DE 2024



SANIDADE E DOENÇAS EM CRUSTÁCEOS, MOLUSCOS BIVALVES E MACROALGAS







Conselho Regional de Medicina Veterinária do Estado de Minas Gerais

PROJETO DE EDUCAÇÃO CONTINUADA

É o CRMV-MG participando do processo de atualização técnica dos profissionais e levando informações da melhor qualidade a todos os colegas.



VALORIZAÇÃO PROFISSIONAL compromisso com você

www.crmvmg.gov.br



SANIDADE E DOENÇAS EM CRUSTÁCEOS, MOLUSCOS BIVALVES E MACROALGAS



Universidade Federal de Minas Gerais

Escola de Veterinária

Fundação de Apoio ao Ensino, Pesquisa e Extensão - FEPE

Conselho Regional de Medicina Veterinária do Estado de Minas Gerais - CRMV-MG

www.vet.ufmg.br/editora

Correspondência:

FEPE

Caixa Postal 567 30161-970 - Belo Horizonte - MG Telefone: (31) 3409-2042

F-mail:

abmvz.artigo@gmail.com

Editorial

A Escola de Veterinária tem a satisfação de encaminhar à comunidade veterinária, de aquicultura e zootecnistas mineiros um volume de Cadernos Técnicos dedicado à descrição dos principais aspectos de sanidade e doenças em crustáceos, moluscos bivalves e macroalgas.

A carcinicultura tem seu maior polo produtivo no Nordeste brasileiro, mas Minas Gerais mantém a perspectiva de expansão das criações, especialmente por sistemas de bioflocos em água doce. Na UFMG, a pesquisa tem se voltado, entre outras áreas da aquicultura, para o camarão marinho Penaeus vannamei adaptado à criação em água doce. Os sistemas de bioflocos permitem a reciclagem da água e são as associações aquáticas de microrganismos, incluindo bactérias heterotróficas, algas, fungos, ciliados, flagelados, rotíferos, nematoides, metazoários, etc. e materiais abióticos, como fezes, alimentos não consumidos, exoesqueletos, restos de organismos mortos, detritos, etc.¹, ² A malacocultura de moluscos bivalves (ostras, mexilhões, vieiras) é um ramo relevante da aquicultura, caracterizada pela resistência dos organismos ao manejo e com custos de produção mais baixos, em que os animais são mantidos sem gastos com alimentação, suprida pelo meio ambiente.³ Os ambientes aquáticos são complexos e macroalgas permitem a estruturação das colônias de macroinvertebrados, como anelídeos, artrópodes e moluscos, em grande diversidade de micro--habitats.4 O cultivo de macroalgas permite a produção de biomassa sustentável ao ambiente e exige atenção aos fatores bióticos (biológicos: infecções e parasitos) e abióticos (físicos: temperatura, salinidade, luz) para evitar perdas. 5 Apresenta-se nesta edição, uma revisão sobre as principais doenças de camarões, moluscos bivalves e macroalgas, para a educação continuada e consulta acadêmica dos profissionais envolvidos.

- Melo, F. P. D., Ferreira, M. G. P., Lima, J. P. V. D., & Correia, E. D. S. (2015).
 Cultivo do camarão marinho com bioflocos sob diferentes níveis de proteína com e sem probiótico. Revista Caatinga, 28(04), 202-210.
- Spelta, A. C. F. (2016). Caracterização e avaliação da qualidade da água de sistema intensivo deprodução de camarão com bioflocos em diferentes salinidades.
- 3. Marenzi, Adriano W.C.; Castilho-Westphal, Gisela G. Cultivo de organismos aquáticos Malacocultura, 2011, Curitiba, Paraná. https://proedu.rnp.br/bitstream/handle/123456789/339/3a_Disciplina_-_Malacocultura.pdf?sequence=1&isAllowed=y
- 4. Pinedo, S., Jordana, E., & Ballesteros, E. (2024). Assessing the diversity and species composition in macroinvertebrate assemblages thriving in shallow water macroalgal habitats: Structural complexity is not always better. Marine Environmental Research, 202, 106818.
- 5. Khan, N., Sudhakar, K., & Mamat, R. (2024). Macroalgae farming for sustainable future: Navigating opportunities and driving innovation. Heliyon, 10(7).

Diretor Prof. Afonso de Liguori Oliveira,

Diretora da Escola de Veterinária da UFMG - CRMV-MG 4787

Vice-Diretora Professora Eliane Gonçalves de Melo - CRMV-MG 4251

Prof. Marcelo Resende de Souza,

Editor-chefe do Arquivo Brasileiro de Medicina Veterinária e Zootecnia (ABMVZ) -CRMV 6219

Prof. Antônio de Pinho Marques Junior,

Editor-Associado do Arquivo Brasileiro de Medicina Veterinária e Zootecnia (ABMVZ)
-CRMV-MG 0918

Prof. Nelson Rodrigo da Silva Martins,

Editor dos Cadernos Técnicos de Veterinária e Zootecnia - CRMV-MG 4809

Conselho Regional de Medicina Veterinária do Estado de Minas Gerais - CRMV-MG

Presidente:

Médico Veterinário Affonso Lopes de Aguiar Junior CRMV-MG n° 2652

E-mail: crmvmg@crmvmg.gov.br

CADERNOS TÉCNICOS DE VETERINÁRIA E ZOOTECNIA

Edição da FEPE em convênio com o CRMV-MG

Fundação de Apoio ao Ensino, Pesquisa e Extensão

Editor do ABMVZ:

Prof. Marcelo Resende de Souza

Editor do Cadernos Técnicos de Veterinária e Zootecnia:

Prof. Nelson Rodrigo da Silva Martins

Conselho editorial convidado para este volume:

Prof. Guilherme Campos Tavares (UFMG)

Prof. Thales Passos de Andrade (UEMA)

MSc. Luana Cardoso dos Santos (UFPR)

Prof. Kleber Campos Miranda Filho (UFMG)

Profa. Patrícia Mirella da Silva (UFPB)

Fotos da capa:

Caroline Paula Ribeiro de Souza

Ana Paula Campos

Marcela Larvssa Oliveira Duarte

Larissa Gabriele Abreu Martins

Kleber Campos Miranda Filho

Revisão:

Giovanna Spotorno

Tiragem desta edição:

650 exemplares

Layout e editoração:

Soluções Criativas em Comunicação Ltda.

Impressão:

Imprensa Universitária

Permite-se a reprodução total ou parcial, sem consulta prévia, desde que seja citada a fonte.

Cadernos Técnicos de Veterinária e Zootecnia. (Cadernos Técnicos da Escola de Veterinária da UFMG)

N.1- 1986 - Belo Horizonte, Centro de Extensão da Escola de Veterinária da UFMG, 1986-1998.

N.24-28 1998-1999 - Belo Horizonte, Fundação de Ensino e Pesquisa em Medicina Veterinária e Zootecnia, FEP MVZ Editora, 1998-1999

v. ilustr. 23cm

N.29- 1999- Belo Horizonte, Fundação de Ensino e Pesquisa em Medicina Veterinária e Zootecnia, FEP MVZ Editora, 1999-Periodicidade irregular.

- 1. Medicina Veterinária Periódicos. 2. Produção Animal Periódicos. 3. Produtos de Origem Animal, Tecnologia e Inspeção Periódicos. 4. Extensão Rural Periódicos.
- I. FEP MVZ Editora, ed.

Prefácio

Guilherme Campos Tavares – CRMV-MG 11340 Professor de Sanidade e Doenças de Animais Aquáticos da Escola de Veterinária da Universidade Federal de Minas Gerais

A aquicultura é um setor do agronegócio que tem se destacado no Brasil, especialmente nas últimas duas décadas, abrangendo a produção de várias espécies de organismos aquáticos. O nosso país está entre os maiores produtores mundiais de pescado, ranqueado na 13ª posição, segundo os dados mais recentes da Organização das Nações Unidas para Alimentação e Agricultura (FAO) e é o 4º maior produtor mundial de tilápia, de acordo com os dados da Associação Brasileira da Piscicultura (PeixeBR). Dentre as produções nacionais, além da piscicultura, podem ser citadas as produções de crustáceos, moluscos bivalves, anfíbios (rã-touro), répteis (jacarés e tartarugas de água doce) e algas (macro e microalgas). Além disso, outras espécies de animais aquáticos têm sido capturadas na natureza e destinados ao consumo humano, como arraia, cação, polvo e lula. Cabe também destacar que, devido ao nosso vasto território geográfico e litorâneo, e com a presença de diferentes biomas, são visualizadas diferentes espécies de aves e mamíferos aquáticos, com algumas delas presentes em programas de monitoramento e de reabilitação de espécies, que ampliam a diversidade de organismos aquáticos no país. Com toda essa diversidade, é importante ter a ciência dos principais agentes infecciosos e parasitários que podem afetar as diferentes espécies de organismos aquáticos. Pensando nisso, iniciaremos com essa edição de Cadernos Técnicos de Veterinária e Zootecnia, uma coletânea composta por 3 volumes falando sobre a sanidade e doença em organismos aquáticos, excluindo os peixes de produção, uma vez que os patógenos bacterianos e parasitários presentes nesses animais já foram detalhados em edições anteriores (nº 73, 89, 101 e 105). Para esta primeira edição, vamos falar sobre outros organismos cultivados, como os camarões marinhos, camarões de água doce, ostras, mexilhão e macroalgas. Com a expertise de diferentes pesquisadores na área de produção e patologia, em cada capítulo estarão sendo abordadas as principais doenças causadas por bactérias, fungos, vírus e parasitos que podem afetar a produção desses organismos aquáticos. Com isso, esperamos contribuir para a difusão de novos conhecimentos e atualizações dos problemas já conhecidos na área de sanidade para os médicos veterinários, zootecnistas, engenheiros de aquicultura, engenheiros de pesca e demais profissionais que atuam na aquicultura.

Sumário

1. Carcinicultura marinha:	
Doenças listadas e emergentes segundo a Organização	_
Mundial de Saúde Animal (OMSA)	9
2. Doenças em Camarões de Água-Doce	<u>57</u>
3. Sanidade e doenças em moluscos bivalves	<u>96</u>
4. Principais doenças no cultivo de macroalgas	.113



pixabay.com

Thales Passos de Andrade^{1,3}, Roberto Cruz Flores^{2,3} e Arun K. Dhar^{3*}

¹Laboratório de Diagnóstico de Enfermidades de Crustáceos, Centro de Ciências Agrárias, Universidade Estadual do Maranhão, Cidade Universitária Paulo VI, 1000 – Tirirical, São Luís, Maranhão, Brasil; Acreditação nº. 1799 ABNT NBR ISO/IEC 17025:2017, Rede Brasileira de Laboratórios de Ensaios – INMETRO / International Laboratory Accreditation Cooperation (ILAC) e Interamerican Accreditation Cooperation (IAAC)

²Centro de Investigación Científica y de Educación Superior de Ensenada, (CICESE), Carretera Ensenada-Tijuana No. 3918, Zona Playitas, 22860 Ensenada, Baja California, Mexico

³Aquaculture Pathology Laboratory, School of Animal & Comparative Biomedical Sciences, The University of Arizona, Tucson, Arizona, USA (Laboratório de Referência em Doenças de Crustáceos pela OMSA)

* Corresponding author: Thales Passos de Andrade e-mail: thalesandrade@professor.uema.br

A carcinicultura marinha expandiu-se significativamente nas últimas quatro décadas e tornou-se uma indústria multimilionária, proporcionando empregos para milhões de pessoas ao redor do mundo, especialmente em países com extensas áreas costeiras na Ásia e na América Latina. No entanto, o surgimento de doenças infecciosas ameaça o crescimento, a lucratividade e a sustentabilidade desse setor emergente. Muitas doenças que afetam os

peneídeos camarões relativamente foram bem caracterizadas devido à sua importância econômica. Segundo a Organização Mundial Saúde de Animal (OMSA), as doenças listadas e emergentes que se destacam na carcinicultura marinha e em referência ao cultivo de Penaeus vannamei (também denominado Litopenaeus vannamei alguns autores) por são o vírus da necrose

hipodérmica e hematopoiética infecciosa IHHNV; o vírus da síndrome da mancha branca (WSSV), o vírus iridescente dos decápodes tipo-1 (DIV1); o vírus da síndrome de Taura (TSV), o vírus da cabeça amarela (YHV), Macrobrachium rosenbergii nodavirus (MrNV); o vírus da mionecrose infecciosa (IMNV); o vírus da síndrome da mortalidade encoberta (CMNV); a bactéria da hepatopancreatite necrosante (NHP-B); a necrose hepatopancreática aguda (VpAHPND) / síndrome da mortalidade precoce (EMS)

e os fungos causadores da microsporidiose hepatopancreática (MHP) – (Enterocytozoon hepatopenaei penaei – EHP). Nesta revisão, são discutidas, em uma visão geral, as infecções virais, bacterianas e fúngicas, além das prin-

cipais técnicas de diagnóstico, como histopatologia, PCR e novas abordagens genômicas. capítulo também destaca estratégias de biosseguridade, medidas preventivas e desafios enfrentados pela indústria na detecção e no controle dessas enfermidades. A crescente dependência de diagnósticos moleculares e a importância da histopatologia como ferramenta essencial

para a identificação de patógenos são enfatizadas, ressaltando-se a necessidade de um monitoramento contínuo para garantir a sustentabilidade da carcinicultura.

1. Introdução

As doenças infecciosas causadas por vírus, bactérias e fungos continuam a ser um gargalo no crescimento, na lucratividade e na sustentabilidade da carcinicultura marinha em todo o mundo. À medida que a indústria do camarão se expande e a aquicultura se torna cada

vez mais intensiva, as doenças continuam a evoluir (Figura 1).

Em 1974, Couch descreveu a primeira infecção viral em camarões-rosa (*Penaeus duorarum*), identificando um vírus ocluso em forma de bastonete, hoje conhecido como *Baculovírus penaei*

(BP) ou baculovírus tetraédrico (Couch, 1974). Desde esse relato inicial, quase 30 vírus já foram reportados em camarões penaeídeos e em outros crustáceos cultivados. O surgimento de doenças virais

nesses organismos coincidiu com a expansão da carcinicultura, que evoluiu de uma atividade incipiente, no início dos anos 1970, para uma indústria global de grande escala.

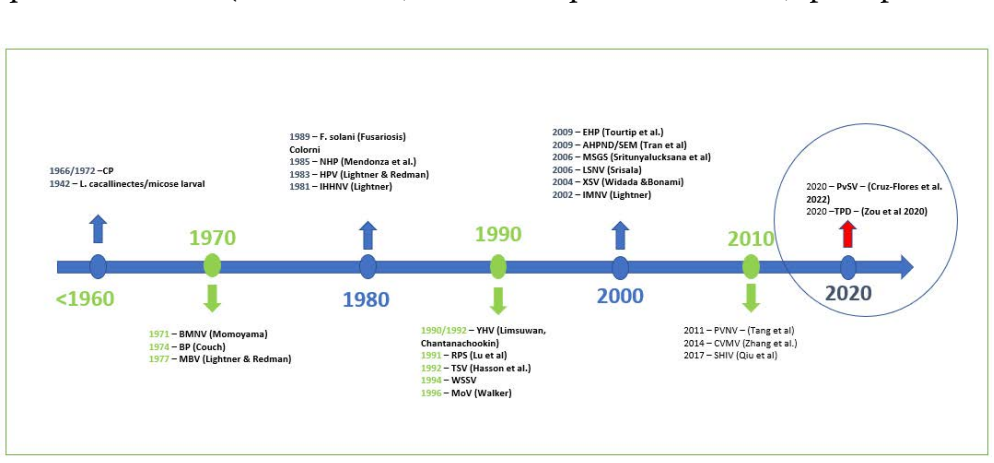
Em 2018, a produção mundial de peixes, crustáceos e moluscos atingiu 179 milhões de toneladas métricas, das quais 82 milhões (cerca de 46%, com

valor estimado em US\$ 250 bilhões) foram provenientes da aquicultura. A produção de camarões marinhos domina o setor de crustáceos (9,4 milhões de toneladas em 2018), sendo os penaeídeos responsáveis por mais de 60% do total. Duas espécies de camarões penaeídeos

Penaeus vannamei (também denominado Litopenaeus vannamei alguns autores) por e P. monodon -, além camarão-de-água-Macrobrachium doce rosenbergii, são as cultivadas glomais

balmente. O *P. vannamei* representa aproximadamente 75% da produção aquícola de camarões.

Atualmente, reconhece-se que as doenças são um dos principais fatores limitantes para o crescimento e a expansão da carcinicultura (Flegel, 2012; Lightner *et al.*, 2012). Estimase que enfermidades, principalmente



Atualmente, reconhece-

se que as doenças são

um dos principais

fatores limitantes

para o crescimento

e a expansão da

carcinicultura.

Figura 1. Cronologia da descoberta de patógenos na carcinicultura marinha.

virais, causem perdas anuais de cerca de 40% na produção (Stentiford et al., 2012). À medida que o cultivo de camarões se industrializa e se intensifica inclusive com espécies não nativas -, é inevitável o surgimento de novas doenças. Isso reforça a necessidade de vigilância contínua, além de estratégias para prevenir a disseminação de patógenos e os prejuízos econômicos associados a surtos (Shinn et al., 2018). A maior parte do conhecimento atual sobre doenças em crustáceos deriva de estudos com espécies de interesse comercial. Na carcinicultura mundial. enfermidades emergentes ou reemergentes, com ênfase para os patógenos EHP, WSSV, IMNV, CMNV, HPV-like, VpAHPND, PvSNPV, microsporídia e DIV1, têm sido associadas a perdas de produção nos últimos anos. No Brasil, PvSV, IMNV, WSSV, IHHNV e PvSNPV são exemplos de patógenos emergindo ou reemergindo em estados ou zonas produtoras, e sua prevalência tem sido ocasionada por gatilhos isolados ou por múltiplos fatores associados. Nos últimos anos, a excessiva dependência de diagnósticos moleculares e a consequente negligência da histopatologia criaram um desafio inesperado para a carcinicultura global. Embora as ferramentas genômicas sejam fundamentais para desvendar etiologias complexas das doenças, a histopatologia deve continuar sendo a base para o desenvolvimento de tecnologias genômicas avançadas. Isso permitirá a identificação rápida das causas das doenças, o aprimoramento das ferramentas de diagnóstico e a prevenção da disseminação de patógenos em escala global. Considerando que o número de patógenos reportados na carcinicultura configuraria uma lista muito extensa, este capítulo busca oferecer uma revisão sucinta das doenças que impactam a carcinicultura e que constituem a lista de doenças de crustáceos da Organização Mundial de Saúde Animal (OMSA), bem como aquelas que recentemente foram reportadas como doenças emergentes pela OMSA, e, por último, o diagnóstico, a prevenção e o controle.

2. Doenças causadas por vírus

Vírus da necrose hematopoiética e infecção hipodermal (IHHNV) – Listado pela OMSA

O vírus da necrose hematopoiética e infecção hipodermal IHHNV, também denominado Penaeus stylirostris densovirus (PstDNV), foi identificado pela primeira vez em juvenis e subadultos do camarão-azul (Penaeus stylirostris) no Havaí, no início da década de 1980, causando mortalidades em massa (Lightner et al., 1983). Posteriormente, a doença foi reportada no camarão-branco-do-Pacífico (Penaeus vannamei), onde não provo-

Tabela 1 – Doenças listadas e emergentes que se destacam na carcinicultura marinha e em referência ao cultivo de *Penaeus vannamei*, segundo a Organização Mundial de Saúde Animal (OMSA, 2024)

DOENÇA	SIGLA	PATÓGENO
Necrose hepatopancreática aguda ¹	VpAHPND	Vibrio parahaemolyticus PirA e PirB ¹ , ^{2 e 3}
Microsporidiose hepatopancreática	ЕНР	Enterocytozoon hepatopenaei ^{2(emergente) e 3}
Mancha branca	WSSV	Vírus da síndrome da mancha branca ^{2e3}
Mionecrose infecciosa	IMNV	Vírus da mionecrose infecciosa ^{2 e 3}
Necrose hematopoiética e infecção hipodermal /Síndrome da deformi- dade rostral	IHHNV	Decapoda penstylhamaparvovirus ^{12 e 3}
Síndrome de Taura	TSV	Vírus da síndrome de Taura ^{2 e 3}
Cabeça amarela	YHV 1	Vírus da cabeça amarela genótipo-1 ^{2 e 3}
Cauda branca	MrNV	Macrobrachium rosenbergii nodavírus ^{2 e 3}
Bactéria da hepatopancreatite necrosante	NHP-B	Hepatobacter penaei ^{2 e 3}
Cabeça branca	DIV1	Vírus iridescente dos decápodes tipo-1 ^{2 e 3}

¹Anteriormente conhecido como EMS.

cou mortalidade, mas resultou em atraso no crescimento e em deformidades nos apêndices, conhecidas como *runt*

deformity syndrome (RDS) (Kalagayan et al., 1991). O vírus infecta todas as fases do ciclo de vida (ovos, larvas, pós-larvas, juvenis e adultos) de *P. vannamei* e é transmi-

IHHNV infecta todas as fases do ciclo de vida (ovos, larvas, pós-larvas, juvenis e adultos) de *P. vannamei* e é transmitido verticalmente.

tido verticalmente. A transmissão horizontal ocorre quando camarões saudáveis canibalizam indivíduos mortos

ou moribundos, ou por meio de água contaminada (Dhar et al., 2014, 2019). No camarão-tigre-preto (P. monodon), infecções por IHHNV são geralmente assintomáti-

²Notificação obrigatória OMSA.

³Notificação obrigatória Mapa (Portaria MPA nº 19/2015/ Art. 93, §3º da IN nº 4/2015).

cas, mas podem reduzir o crescimento (Flegel, 2006; Dhar et al., 2014). Muitas linhagens comerciais de P. vannamei são tolerantes ou resistentes ao IHHNV. Produtores da América Latina, onde a espécie é amplamente cultivada, afirmam que a infecção não causa perdas econômicas. No entanto, estudos da Austrália e da Índia indicam que a doença ainda gera prejuízos em cultivos de P. monodon e P. vannamei (Jagadeesan et al., 2019; Sellars et al., 2019). Até em infecções experimentais, demonstrou-se que o IHHNV

pode causar alta mortalidade em lagostins (Procambarus clarkii) (Chen et al., 2018), reforçando seu status como patógeno economicamente relevante na aquicultura de crustáceos.Os vírions de IHHNV são icosaédricos, não envelopados (22-23 nm de diâmetro), com um genoma de DNA fita simples de ~4,1 kb. Classificado na família Parvoviridae (subfamília

Densovirinae), seu genoma possui três quadros de leitura aberta (ORFs, do inglês Open Reading Frames) – esquerdo, central e direito – que codificam as proteínas não estruturais NS1 e NS2, além da proteína do capsídeo viral.

Entre os genes do IHHNV, o que codifica a proteína do capsídeo é o mais variável, sendo usado para determinar relações genéticas entre isolados. Análises filogenéticas com sequências desse gene em isolados globais revelaram três linhagens principais:

- a) tipo 1: isolados do Sudeste Asiático (Tailândia, Filipinas, Vietnã);
- b) tipo 2: isolados das Américas e do Leste Asiático;
- c) tipo 3: isolados da região do Indo-Pacífico, representando uma forma não infecciosa do vírus, com genoma

integrado ao hospedeiro (Dhar *et al.*, 2019).

O IHHNV replica--se em tecidos de origem ectodérmica (epiderme, epitélio hipodermal do sistema digestivo, gânglios nervosos) e mesodérmica (órgãos hematopoiéticos, glândula antenal, gônadas, conjuntivo), tecido produzindo inclusões intranucleares eosinofílicas do tipo Cowdry Α (Figura 2). Em P. vannamei

tolerantes, as inclusões podem ser ausentes, mas o ácido nucleico viral é detectável por hibridização *in situ* com sondas específicas ou métodos moleculares como PCR (Dhar *et al.*, dados não publicados).

Muitas linhagens comerciais de *P. vannamei* são tolerantes ou resistentes ao IHHNV. Produtores da América Latina, onde a espécie é amplamente cultivada, afirmam que a infecção não causa perdas econômicas. No entanto, estudos da Austrália e da Índia indicam que a doença ainda gera prejuízos.

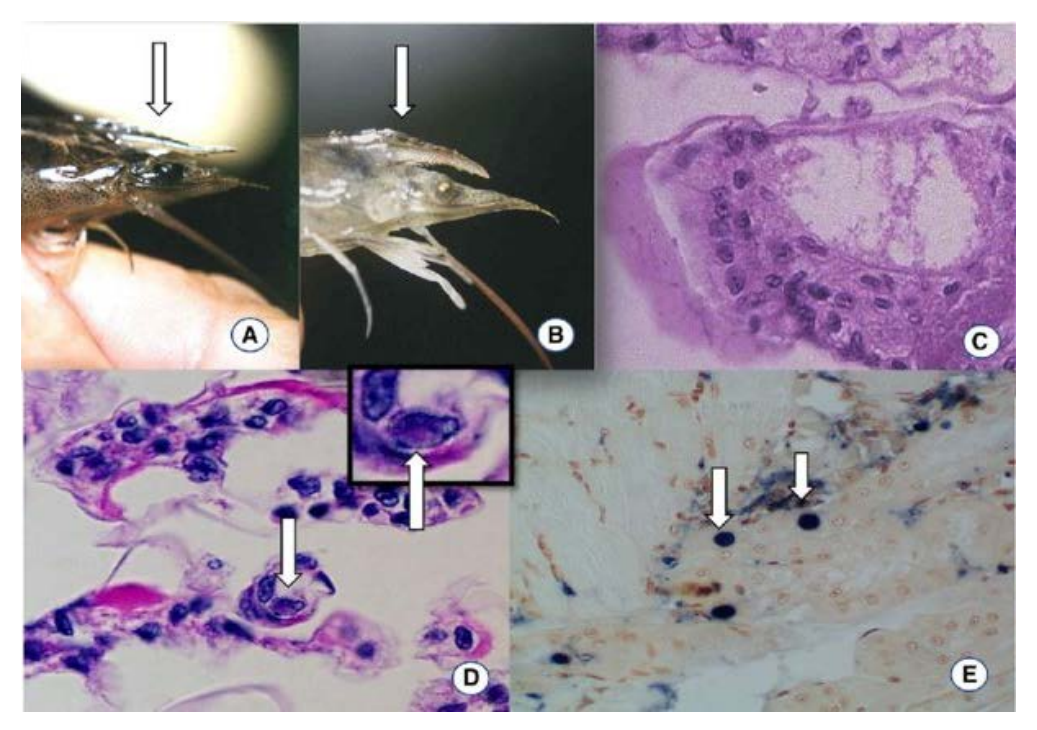


Figura 2: Sinal clínico e histopatologia de *Penaeus vannamei* infectado com IHHNV. (A) Exemplo de um juvenil de *P. vannamei* com rostro normal (seta). (B) Exemplo de um juvenil de *P. vannamei* apresentando um rostro curvado, um indicativo de infecção por IHHNV (seta). (C) Seção de brânquia normal corada com H&E a 100x. (D) Seção de brânquia corada com H&E mostrando um corpo de inclusão tipo A de Cowdry (seta) a 100x. No painel superior direito de (D), um corpo de inclusão tipo A de Cowdry é mostrado em maior ampliação (seta) a 600x. (E) Seção da glândula antenal de *P. stylirostris* utilizada em uma hibridização *in situ* com uma sonda DIG marcada para IHHNV. Os precipitados azul-arroxeados indicam uma reação positiva para IHHNV (setas) a 100x (Fonte: Dhar, A.K. *et al.*, 2009).

2.2 Vírus da síndrome da mancha branca (WSSV) – Listado pela OMSA

A doença da mancha branca (WSD), causada pelo vírus da síndrome da man-

cha branca (WSSV), foi, sem dúvida, a doença mais grave a afetar a aquicultura de camarão até o surgimento relativamente recente da doença da necrose hepatopancreática aguda, uma doença bacteriana

A doenca da mancha branca (WSD), causada pelo virus da sindrome da mancha branca (WSSV), foi, sem duvida, a doença mais grave a afetar a aquicultura de camarão.

que afeta camarões peneídeos. O WSSV surgiu inicialmente em Taiwan e na China, entre 1991 e 1992, causando posteriormente perdas catastróficas genera-

lizadas na aquicultura de camarão em escala global (Lightner, 1996; Lo et al., 1996; Lightner et al., 2012). As perdas econômicas totais atribuídas à WSD foram estimadas por Lightner et al. (2012) em cerca

de oito a 15 bilhões de dólares desde o seu surgimento. Além disso, Flegel *et al.* (2008) e Stentiford *et al.* (2012) especulam que as perdas causadas pelo WSSV têm aumentado anualmente em 1 bilhão de dólares. No entanto, essas estimativas têm quase uma década e, com a crescente produção da aquicultura de camarão, podem não refletir com precisão o impacto econômico real do WSSV; portanto, um

cálculo mais recente do impacto atual do WSSV é muito necessário.

O vírus da síndrome da mancha branca pertence à família Nimaviridae e é o único membro do gênero Whispovirus (Lightner et al., 2012; Wang et al., 2019; Dey et al., 2019). Os vírions do WSSV são grandes (80-120 x 250-380 nm), com formato que varia de bastonete a elíptico;

apresentam um envelope trilaminar e possuem um apêndice semelhante a uma cauda (Durand et al., 1997; Tsai et al., 2006; Wang et al., 2019). O genoma do WSSV está contido no nucleocapsídeo em forma de bastonete, que é revestido pelo envelope (Durand et al., 1997). O WSSV é composto por DNA de fita dupla circular altamente enrolado, que pode variar em comprimento entre 281-312 kbp, dependen-

do do isolado geográfico (Van Hulten et al., 2001; Oakey e Smith, 2018; Oakey et al., 2019). Aproximadamente 180 open reading frames (ORFs) foram anotados no genoma do WSSV, no entanto a maioria não possui homólogos identificáveis em bancos de dados online (Van Hulten et al., 2001; Dey et al., 2019). Atualmente, com base nas propriedades morfológicas e genômi-

cas do WSSV, é o único Girus (vírus gigante) conhecido por infectar crustáceos (Van Etten et al., 2010).A faixa de hospedeiros do WSSV é extremamente ampla, incluindo decápodes e não decápodes (caranguejos, camarões, lagostas, lagostins, copépodes e artrópodes) (Lo et al., 1996; Oidtmann Stentiford, 2011). Atualmente, cerca de 98 espécies de crustáceos

foram identificadas como hospedeiras adequadas para o WSSV (Stentiford *et al.*, 2009). O grande repertório de hospedeiros do WSSV desempenha um papel fundamental na transmissão e ocorrência de surtos de WSD em instalações de produção de camarão. A transmissão do WSSV pode ocorrer por vias horizontal e vertical (Lo *et al.*, 1996). Mais comumente, a transmissão ocorre por via oral, quando os organismos se ali-

mentam de comida infectada ou contaminada, ou por meio da coluna d'água, quando o vírus é filtrado pelas brânquias. O vírus também é transmitido verticalmente de um reprodutor infectado para a prole pelos oócitos (Sánchez-Paz

2010; Lightner et al., 2012; Dey et al., 2019).

Geralmente, tem sido relatado que o WSSV apresenta um período de latência antes do início dos sinais clínicos e da mortalidade após a exposição do camarão ao patógeno. Uma vez que os sinais clínicos se desenvolvem, geralmente ocorre uma mortalidade de 90-100% dentro de três a oito dias (Corbel *et al.*, 2001).

Os sinais clínicos incluem letargia, redução da ingestão de alimento, descoloração avermelhada do corpo e apêndices, cutícula solta, hepatopâncreas pálido, baixa resposta a estímulos e afinamento e coagulação retardada da hemolinfa (Lightner, 1996; Wang et al., 2000; Dey et al., 2019). A presença das manchas brancas circulares clássicas (das quais a doença recebeu seu nome) pode ser detectada na cutícula do cefalotórax e na cauda dos camarões afetados (Lo et al., 1996). Embora essas manchas brancas calcificadas sejam uma marca registrada da doença da mancha branca (WSD) e sejam frequentemente

A presença das manchas brancas circulares clássicas (das quais a doença recebeu seu nome) pode ser detectada na cutícula do cefalotórax e na cauda dos camarões afetados. usadas como um sinal de diagnóstico presuntivo nos viveiros, esse sinal nem sempre aparece em todos os camarões infectados (Figura 3). Histologicamente, uma infecção em estágio inicial é caracterizada por corpos de inclusão eosinofílicos nas

células infectadas e, em estágios mais avançados da infecção, os núcleos hipertrofiados das células infectadas contêm corpos de inclusão mais basofílicos (Figura 3) (Lightner, 1996; Lo *et al.*, 1996).

O WSSV infecta todos os tecidos de origem ectodérmica e mesodérmica (Lightner, 1996). Os tecidos-alvo incluem: hemolinfa, brânquias, estômago, epitélio cuticular do corpo, tecidos hematopoiéticos, órgão linfoide, glândulas antenais, intestino anterior, testículos e ovários (Rajan et al., 2000; Escobedo-Bonilla et al., 2008).

2.3 Vírus iridescente dos decápodes tipo-1 (DIV1) – Listado pela OMSA

Desde sua descrição formal por Qiu et al. (2017), o vírus iridescente dos hemócitos do camarão (SHIV), posteriormente denominado vírus iridescente dos decápodes 1 (DIV1), tem causado preocupação na indústria de aquicultura de camarão nos últimos anos devido à sua patogenicidade relatada e à sua

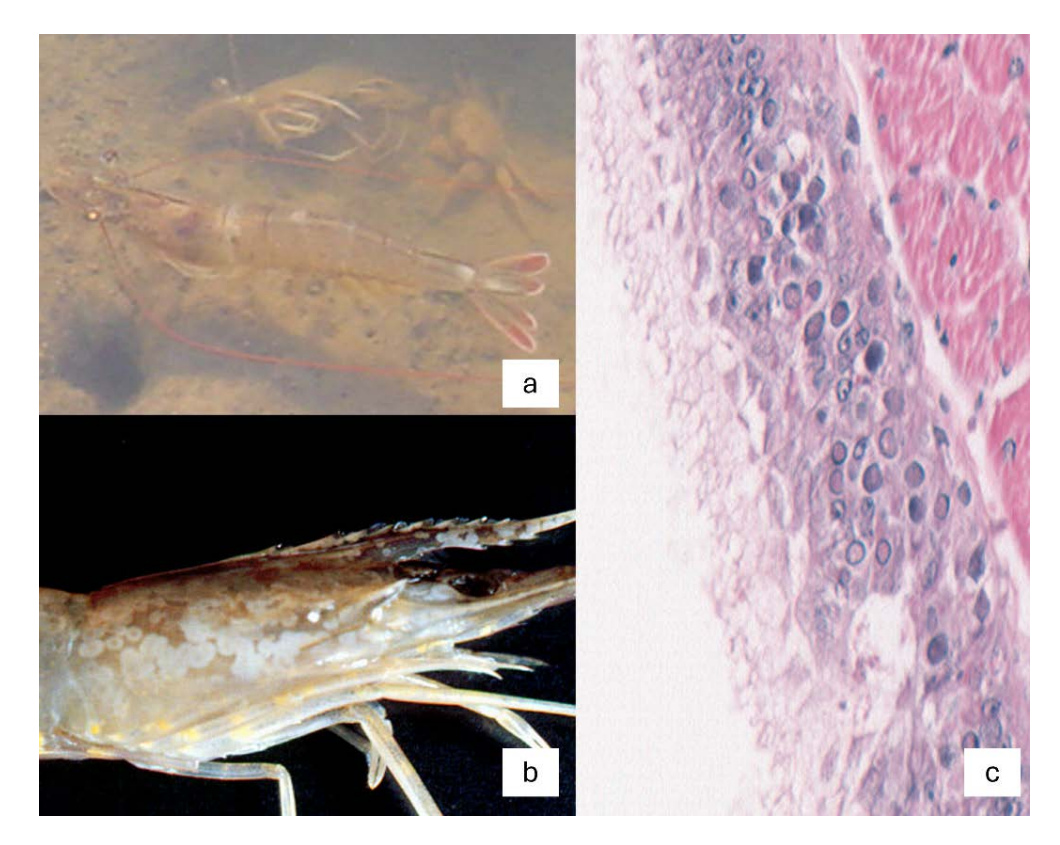


Figura 3. Sinais clínicos da doença da mancha branca. (a) Fase aguda apresentando vermelhidão e natação na superficie. (b) Fase crônica: na maioria dos casos, aparecem as "manchas brancas" no exoesqueleto. (c) Células do epitélio do estômago apresentando núcleos hipertrofiados com corpos de inclusão variando de eosinofílicos a basófilos (Fotos: (a) anônimo, em viveiro no Brasil, (b) Lightner, D,V., 1996 e (c) Andrade, T.P.D.

capacidade de infectar várias espécies de crustáceos. O SHIV foi inicialmente isolado e caracterizado a partir de *P. vannamei* doentes que apresentaram mortalidade em massa em uma fazenda na província de Zhejiang, na China, em 2014 (Qiu *et al.*, 2017). No entanto, é importante mencionar que, entre julho e novembro de 2014, exemplares de *Cherax quadricarinatus* apresentando uma infecção letal em fazendas na província de Fujian, China, foram utilizados para isolar e realizar uma caracte-

rização preliminar do *Cherax quadrica-rinatus* iridovírus (CQIV). O CQIV foi posteriormente reconhecido como uma cepa adicional do DIV1 (Xu *et al.*, 2016; ICTV, 2020a). Portanto, o relatório de Xu *et al.* (2016) pode ser considerado o primeiro relato do DIV1 em crustáceos cultivados.

O DIV1 pertence à família Iridoviridae, subfamília Betairidovirinae, gênero *Decapodiridovirus*. Atualmente, duas cepas são reconhecidas: SHIV e CQIV (Xu et al., 2016; Qiu et al., 2017).

Os vírions do DIV1 são grandes, apresentam morfologia icosaédrica com um diâmetro de 150-158 nm (Xu et al., 2016; Chen et al., 2019; Qiu et al., 2019, 2017; ICTV, 2020a). Ambos os genomas do SHIV e do CQIV foram

Em *P. vannamei*, os sinais clínicos incluem estômago e intestino vazios, leve perda de coloração na superfície do hepatopâncreas, carapaça mole e redução da capacidade de natação.

sequenciados e consistem em DNA de fita dupla linear (~165 kbp) contendo 170 ORFs (Qiu et al., 2018b; ICTV, 2020a). A análise filogenética do SHIV e do CQIV indica que esses isolados formam um agrupamento separado dos gêneros existentes. No entanto, os resultados são inconclusivos, com uma análise posicionando o SHIV entre os membros da Betairidovirinae e outra colocando o CQIV junto aos membros da Alphairidovirinae. Devido à ausência de um gene identificável de metiltransferase de DNA e ao fato de a principal espécie hospedeira ser invertebrada, SHIV e CQIV são classificados como Betairidovirinae (ICTV, 2020a).

Diversas espécies de crustáceos são suscetíveis ao DIV1. Entre elas estão P. vannamei, C. quadricarinatus, M. rosenbergii, M. nipponense, M. superbum, Exopalaemon carnicauda e Procambarus clarkii (Xu et al., 2016; Chen et al., 2019; Qiu et al., 2017, 2019). Em P. vannamei, os sinais clínicos incluem estômago e intestino vazios, leve perda de coloração na superfície do hepatopâncreas, ca-

rapaça mole e redução da capacidade de natação (Qiu et al., 2017) (Figura 4). Já em M. rosenbergii, os animais afetados apresentam uma característica área triangular branca sob a carapaça na base do rostro, atrofia do hepa-

topâncreas com descoloração e amarelamento nesta região, além de estômago e intestino vazios (Qiu et al., 2019). Histologicamente, P. vannamei apresenta corpos de inclusão basofílicos e carioipnose no tecido hematopoiético, além de infiltração hemocítica nas brânquias, hepatopâncreas e pereiópodos (Qiu et al., 2017). Curiosamente, os corpos de inclusão em M. rosenbergii e M. nipponense são descritos como «inclusões eosinofílicas escuras misturadas com pequenas colorações basofílicas» e são observados no tecido hematopoiético, nos hemócitos do seio do hepatopâncreas e nas brânquias (Qiu et al., 2019). Parece que a suscetibilidade de cada espécie de crustáceo cultivado varia, sendo P. vannamei a mais suscetível, enquanto M. rosenbergii e E. carnicauda são menos suscetíveis (Chen et al., 201; Qiu et al., 2019, 2017).

Considerando o potencial do DIV1 para infectar um amplo repertório de hospedeiros e a alta mortalidade que causa em *P. vannamei*, parece que a infecção pelo vírus pode resultar

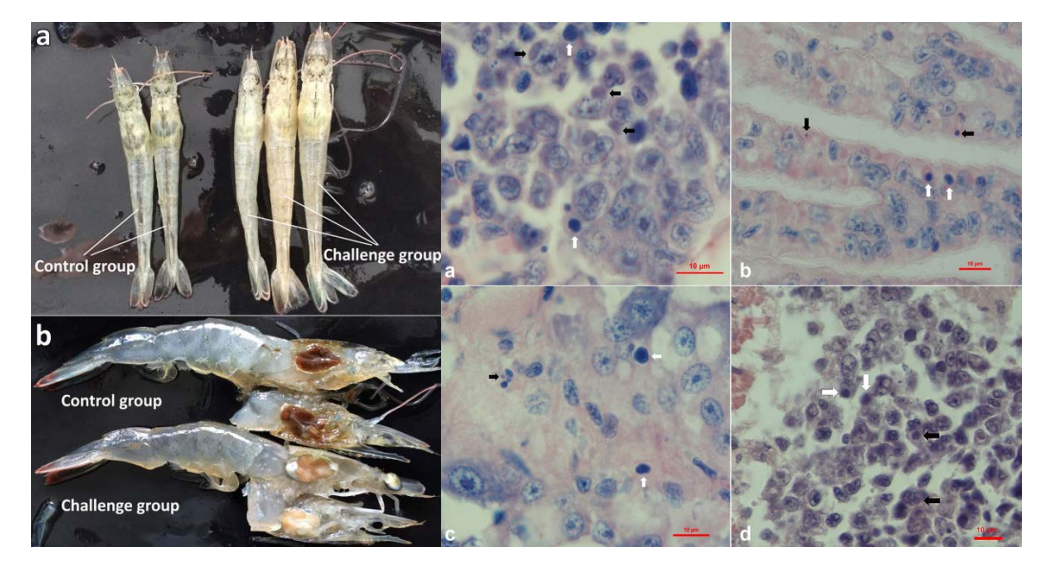


Figura 4: Sinais clínicos de *L. vannamei* desafiado com o potencial vírus iridescente em comparação com o grupo de controle em (a) aparência externa do camarão e (b) seção do hepatopâncreas. No preparo histopatológico, as setas pretas indicam inclusões basofílicas, enquanto as setas brancas indicam núcleos cariopícnicos.(a) Coloração com hematoxilina e eosina (H&E) do tecido hematopoiético. (b) Coloração H&E das brânquias.(c) Coloração H&E do seio no hepatopâncreas.(d) Coloração H&E dos periopódios. Barra de escala: 10 μm (Fonte: Qiu, L. *et al.*, 2017).

Atualmente, o DIV1

foi relatado apenas em

crustáceos cultivados

na China.

em grandes perdas econômicas para a indústria do camarão, assim como ocorreu no passado com o WSSV e o AHPND. Atualmente, o DIV1 foi relatado apenas em crustáceos cultivados na China, e grandes esforços devem ser

feitos para limitar a disseminação desse vírus. Métodos de diagnóstico, como *nested-PCR*, qPCR e hibridização *in* situ, estão disponíveis

para a detecção do DIV1, e testes rigorosos devem ser realizados em camarões e produtos derivados destinados à exportação para áreas livres de DIV1, a fim de evitar uma maior disseminação do vírus (Qiu *et al.*, 2018a, 2020).

2.4 Vírus da síndrome de Taura (TSV) – Listado pela OMSA

A síndrome de Taura (TS), causada pelo TSV, surgiu pela primeira vez no

Equador, de uma fonte desconhecida, em 1991. Até 1993, a doença já era reconhecida como um problema grave que afetava os camarões

peneídeos (Hasson *et al.*, 1995). Atualmente, a doença está amplamente distribuída nas regiões de cultivo de camarão das Américas, do Sudeste Asiático e do Oriente Médio (Lightner *et al.*, 2012).

Os hospedeiros suscetíveis ao

TSV, nos quais a infecciosidade viral foi comprovada de forma inequívoca, incluem camarão-branco-do-Pacífico (P. vannamei), camarão-azul (P. stylirostris), camarão-tigre-gigante (P. monodon), camarão-branco-do-norte (P. setiferus), camarão-gordo (Metapenaeus ensis) e camarão-marrom-do-norte (Penaeus aztecus). Além desses, o TSV já foi detectado em outras espécies de crustáceos, embora a infecção viral ativa ainda não tenha sido demonstrada. Essas espécies incluem camarão-chinês (P. chinensis), camarão-de-rio-gigante (Macrobrachium rosenbergii), camarão--rosa-do-norte (P. duorarum), camarão--kuruma (P. japonicus), camarão-branco-do-sul (P. schmitti), killifish-do-golfo, caranguejo-azul, caranguejo-de-pân-

tano, copépodes e cracas (*Chelonibia patula* e *Octolasmis muelleri*). Há três estágios principais da infecção: agudo, transição e crônico, que podem ser distinguidos macroscopicamente.

Fase aguda: os animais infectados apresentam coloração avermelhada pálida no corpo, com pleópodos e leque caudal avermelhados. Devido a essa característica, a doença foi chamada de "cauda vermelha" pelos produ-

tores quando apareceu pela primeira vez no Equador.

Fase de transição: os camarões que sobrevivem à infecção aguda desenvolvem lesões melanizadas multifocais e de formato irregular na cutícula. Os animais nessa fase podem ou não apresentar cutícula mole e expansão dos cromatóforos vermelhos. Além disso, podem exibir comportamento alimentar normal.

Fase crônica: após a muda, os camarões entram na fase crônica sem apresentar sinais clínicos óbvios e podem carregar a infecção por toda a vida.

Histologicamente, a infecção na fase aguda é caracterizada por áreas multifocais de necrose no epitélio cuticular da superfície do corpo, nos apêndices, nas

> brânquias, no intestino posterior, no intestino anterior e, ocasionalmente, em células dos tecidos conjuntivos subcuticulares e nas fibras musculares estriadas adjacentes ao epitélio cuticular afetado. As células infectadas apresentam aumento da eosinofilia no citoplasma, além de núcleos picnóticos ou em cariorrexe (Figura 5). Os restos citoplasmáticos das células necróticas, junto com núcleos picnóticos

Os hospedeiros suscetíveis ao TSV, nos quais a infecciosidade viral foi comprovada de forma inequívoca, incluem camarãobranco-do-Pacífico (P. vannamei), camarãoazul (P. stylirostris), camarão-tigre-gigante (P. monodon), camarãobranco-do-norte (P. setiferus), camarãogordo (Metapenaeus ensis) e camarãomarrom-do-norte (Penaeus aztecus).

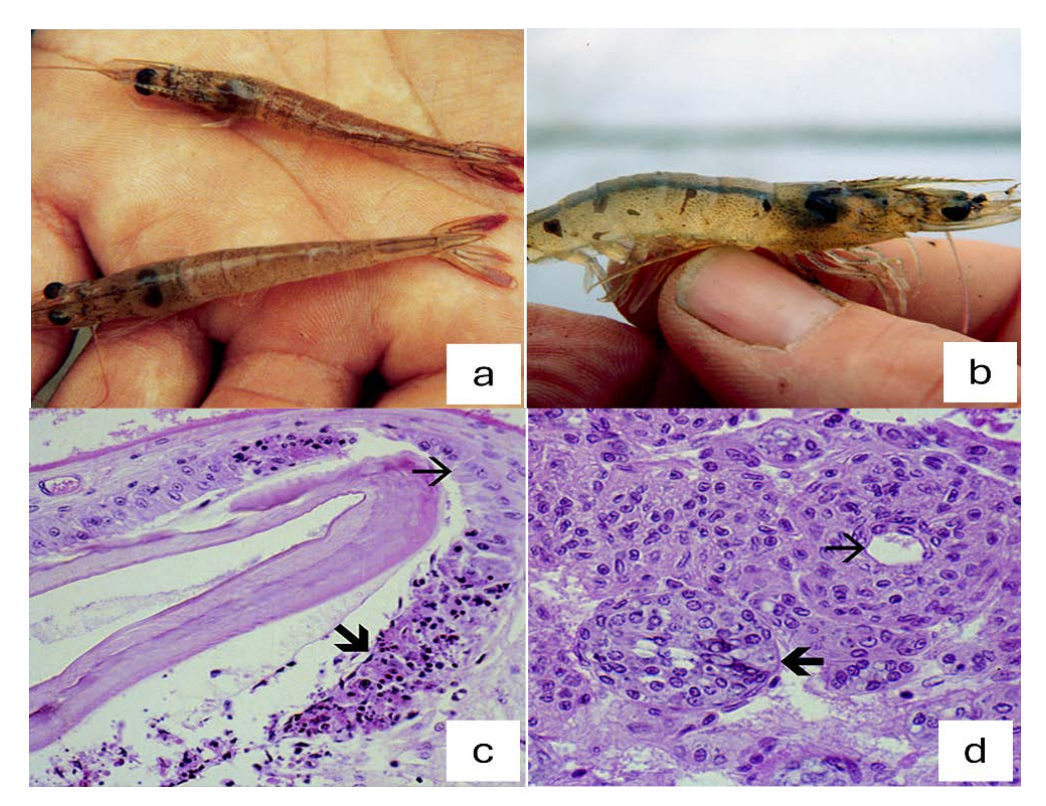


Figure 5. Camarões juvenis de *Penaeus vannamei* apresentando sinais típicos da síndrome de Taura ocasionada pelo vírus da síndrome de Taura (TSV). (a) Na fase hiperaguda, os camarões estão letárgicos, apresentam casca mole e um distinto leque caudal vermelho. (b) Na fase crônica, múltiplos focos melanizados marcam locais de necrose do epitélio cuticular em resolução. (c) Corte histológico do estômago de um *P. vannamei* juvenil com TS hiperaguda. Áreas proeminentes de necrose no epitélio cuticular (seta grande) – responsável pela secreção da cutícula acelular – são evidentes. Adjacentes às lesões focais, observam-se células epiteliais de aparência normal (seta pequena). (d) Os esferoides no órgão linfoide (seta grande) são detectados inclusive na fase crônica (Fonte: Lightner, D. V., 1996.).

e em cariorrexe, conferem à lesão um aspecto característico "salpicado" ou "perfurado", considerado patognomônico para a fase aguda da doença TS. Durante a fase crônica, o único sinal histológico de infecção é a presença de numerosos esferoides no órgão linfoide (Hasson *et al.*, 1995).

Após o surgimento da síndrome de Taura em *P. vannamei* no Equador, entre 1992 e 1994, descobriu-se que algumas linhagens de *P. stylirostris* possuíam resistência ao TSV. Por volta dessa época, assim como no Equador, os produtores de camarão no México também estavam enfrentando perdas nas lavouras de *P. vannamei*. Após a descoberta de que algumas linhagens genéticas de *P. stylirostris* eram resistentes ao TS, os fazendeiros do oeste do México substituíram o *P. vannamei* suscetível ao TSV pelo *P. stylirostris* resistente ao TSV. No

entanto, entre 1998 e 1999, uma nova cepa do TSV (Tipo B) emergiu, causando epizootias massivas em *P. stylirostris* (Erickson *et al.*, 2002; Robles-Sikisaka *et al.*, 2002; Aldana Aranda *et al.*, 2011). A cepa equatoriana original do TSV foi denominada Tipo A.

Os vírions do TSV são não envelopados, com 31-32 nm de diâmetro, e contêm um RNA de fita simples (~10,2 kb) (Robles-Sikisaka *et al.*, 2001; Mari *et al.*, 2002). O genoma do TSV contém duas ORFs, separadas por uma região intergênica de 207 nucleotídeos: a) ORF1: codifica uma poliproteína não estrutural de 234 kDa, contendo motivos conservados de helicase, protease e

RNA polimerase dependente de RNA (Mari *et al.*, 2002) e b) ORF2: codifica três proteínas estruturais (VP2, VP1 e VP3), com massas moleculares previstas de 36,4 kDa, 54,6 kDa e 21,1 kDa, respectivamente (Mari *et al.*, 2002). Atualmente, o TSV é classificado como mem-

bro da família Dicistroviridae, gênero *Aparavirus* (ICTV 2012), dentro da ordem Picornavirales (Valles *et al.*, 2017). Uma análise filogenética usando a proteína do capsídeo VP1 do TSV mostrou a existência de quatro linhagens distintas: 1) México, 2) Sudeste Asiático, 3) Belize/Nicarágua, 4) Venezuela/Aruba

(Wertheim et al., 2009). Desde então, novos genótipos de TSV foram relatados na Colômbia (Aranguren et al., 2013) e na Arábia Saudita (Tang et al., 2012).

2.5 Vírus da cabeça amarela e vírus associado às brânquias (YHV/GAV) – Listado pela OMSA

O vírus da cabeça amarela (YHV) e o vírus associado às brânquias (GAV) formam o complexo da cabeça amarela e são classificados pelo ICTV como uma única espécie (Cowley *et al.*, 2012; OMSA, 2009a). A doença da cabeça amarela foi inicialmente relatada em *P. monodon* na região central da Tailândia,

em 1990, e o patógeno se espalhou rapidamente ao longo das costas leste e oeste do Golfo da Tailândia, alcançando as regiões de cultivo do sul (Chantanachookin et al., 1993; Walker e Sittidilokratna, 2008). Tanto o YHV quanto o GAV são considera-

dos patogênicos para os camarões, porém a doença causada pelo GAV é menos severa do que aquela causada pelo YHV (Walker e Sittidilokratna, 2008). Tanto o YHV quanto o GAV são vírus de RNA de fita simples de sentido positivo (ssRNA), pertencentes à ordem Nidovirales, à família Roniviridae, ao gênero *Okavirus* (Cowley *et al.*, 2012;

O vírus da cabeça amarela (YHV) e o vírus associado às brânquias (GAV) formam o complexo da cabeça amarela e são classificados pelo ICTV como uma única espécie.

Munro e Owens, 2007; Walker e Sittidilokratna, 2008). Atualmente, são reconhecidos 10 genótipos dentro do complexo da cabeça amarela (Cowley et al., 2015). Os genomas do YHV e GAV possuem 26.662 nt e 26.235 nt, respectivamente, e apresentam estrutura similar, com as principais diferenças ocorrendo nas UTRs (Cowley e Walker, 2002; Walker e Sittidilokratna, 2008). Esses genomas virais são compostos por quatro ORFs longas, denominadas ORF1a, ORF1b, ORF2 e ORF3.

As análises filogenéticas baseadas na sequência parcial da ORF1b identificaram 10 genótipos distintos no complexo da cabeça amarela (Walker e Sittidilokratna, 2008; OMSA, 2009a; Cowley et al., 2015). A morfologia do YHV e do GAV é indistinguível, sendo os vírions envelopados, baciliformes, com extremidades arredondadas e dimensões de 40-60 nm × 150-200 nm (Cowley et al., 2012; Munro e Owens, 2007).

O YHV e o GAV possuem um espectro de hospedeiros extremamente amplo, conforme revisado por Munro e Owens (2007). No entanto, são considerados endêmicos nas populações de *P. monodon* ao longo de sua distribuição geográfica natural (Walker e Sittidilokratna, 2008). A doença geralmente se caracteriza por uma coloração pálida a amarelada do cefalotórax (de onde vem o nome da doença) e das brânquias, devido à presença do hepa-

topâncreas amarelado, que pode ser observado através do carapaça translúcida do camarão. Além disso, os camarões afetados podem apresentar um aspecto pálido ou desbotado (Chantanachookin *et al.*, 1993; Cowley *et al.*, 1999).

Os camarões tornam-se suscetíveis à infecção pelo YHV a partir do final do estágio pós-larval, mas as mortalidades nos viveiros geralmente ocorrem nos estágios iniciais e tardios de crescimento (Walker e Sittidilokratna, 2008). O YHV e o GAV infectam tecidos de origem ectodérmica e mesodérmica.

Histologicamente, em infecções severas, observa-se degeneração celular generalizada, com condensação nuclear proeminente, picnose e cariorrexe, além da presença de inclusões citoplasmáticas basofílicas perinucleares nos tecidos afetados (Figura 6) (Chantanachookin *et al.*, 1993; Walker e Sittidilokratna, 2008).

A infecção pelo YHV e GAV pode ser propagada experimentalmente por transmissão horizontal por meio de injeção, ingestão, imersão e coabitação. A transmissão vertical também foi relatada (Chantanachookin *et al.*, 1993; Cowley *et al.*, 2002).

2.6 Vírus da mionecrose infecciosa (IMNV) – Listado pela OMSA

A doença da mionecrose infecciosa, causada pelo vírus da mionecrose infecciosa (IMNV), foi descrita pela

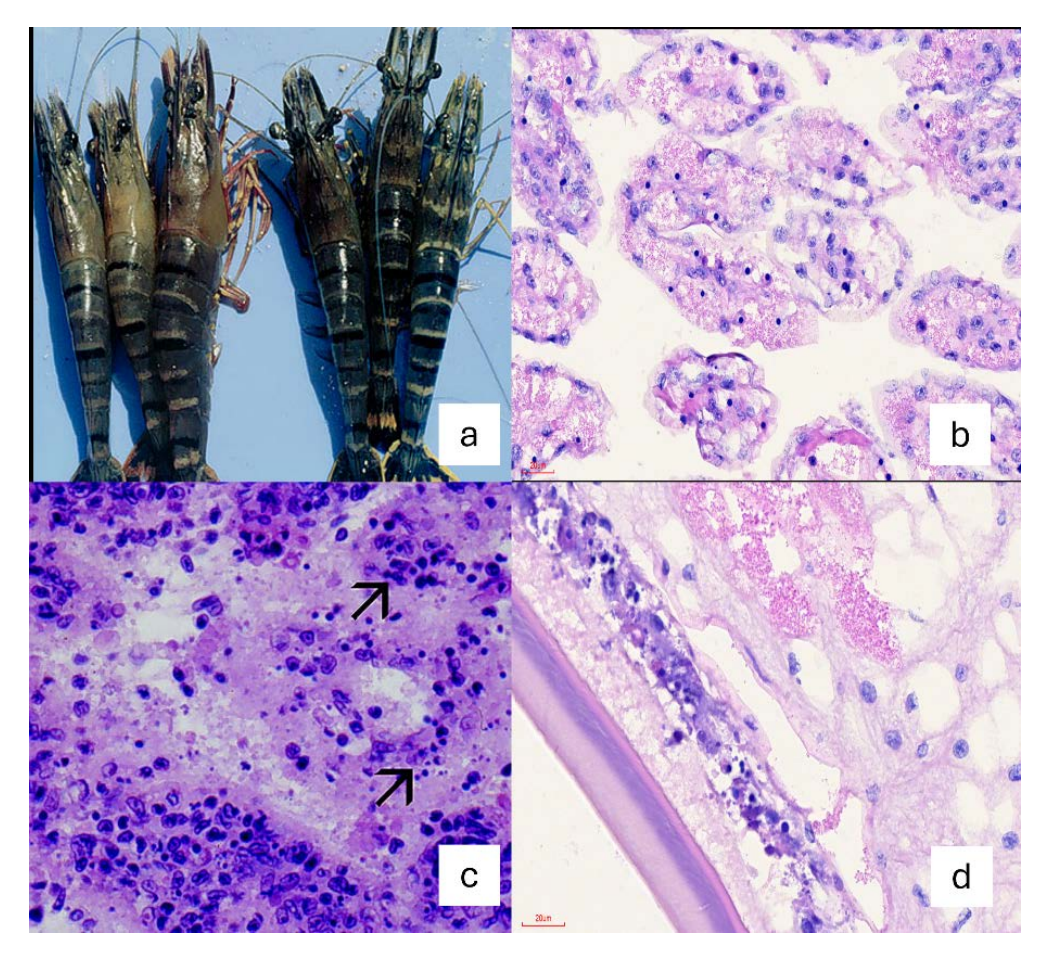


Figura 6. Sinais clínicos da doença da cabeça amarela em *Penaeus monodon* em (a). Necrose severa multifocal a difusa, com piquenose nuclear proeminente e cariorrexe. Inclusões citoplasmáticas basofílicas, geralmente esféricas e perinucleares, ocorrem nos tecidos afetados. Fotos (a e c) Lightner, D,V., 1996 (*P. monodon*) e (b e d) Andrade, T.P.D. (*L. vannamei*).

primeira vez no nordeste do Brasil, onde provocou graves surtos e altas taxas de mortalidade (Lightner et al., 2004, 2012). O IMNV chamou a atenção dos produtores em 2002, quando camarões *P. vannamei* cultivados apresentaram extensas áreas necróticas nos tecidos musculares esqueléticos, resultando em mortalidades acumuladas de até 70% ao final da colheita nos vivei-

ros (Lightner et al., 2004; Poulos et al., 2006).

As análises filogenéticas baseadas na RdRp do IMNV sugerem que ele pertence à família Totiviridae (Poulos *et al.*, 2006). Atualmente, o Comitê Internacional de Taxonomia de Vírus (ICTV) classifica o IMNV como um vírus relacionado à família Totiviridae, mas ainda não for-

malmente reconhecido como uma espécie dentro dessa família (ICTV, 2020b). O genoma do IMNV é composto por um RNA de fita dupla (dsRNA) de 7.560 pb, contendo duas ORFs não sobrepostas (Poulos *et al.*, 2006). A ORF1 codifica uma proteína putativa de ligação ao RNA e uma proteína de capsídeo, enquanto a ORF2 codifica uma RNA polimerase dependente de RNA (RdRp). A partícula viral do IMNV possui formato

icosaédrico e 40 nm de diâmetro. Estudos recentes identificaram mutantes de deleção do IMNV na Indonésia, que podem estar associados a uma redução da gravidade da doença (Mai et al., 2019).

O principal hospedeiro do IMNV

é o *P. vannamei*, mas infecções experimentais demonstraram que *P. stylirostris* e *P. monodon* também são suscetíveis ao vírus (OMSA, 2009b). Os principais sinais clínicos da doença incluem áreas necróticas focais a extensas no tecido muscular esquelético, especialmente nos segmentos abdominais distais e no leque caudal. As lesões musculares apresentam, geralmente, uma coloração branca e opaca (Poulos *et al.*, 2006).

Histologicamente, as lesões são caracterizadas por necrose coagulativa do músculo, frequentemente acompanhada por acúmulo de fluido entre as fibras musculares, infiltração hemocítica e fibrose. Além disso, esferoides no órgão linfoide são frequentemente observados, bem como inclusões citoplasmáticas basofílicas escuras em células musculares, hemócitos e células do tecido conjuntivo (Figura 7).

As perdas econômicas causadas

pelo IMNV foram significativas no Brasil, estimadas em mais de 100 milhões de dólares entre 2002 e 2006 (Andrade, 2007; Lightner et al., 2012). Atualmente, o IMNV já se espalhou para o Sudeste Asiático. Na Indonésia, os prejuízos relacionados ao

IMNV são estimados em 1 bilhão de dólares. Embora Brasil e Indonésia sejam os países mais afetados pelo IMNV, o surgimento de novos genótipos mais adaptáveis a diferentes ambientes pode favorecer a disseminação desse vírus para outras nações produtoras de camarão, que até o momento se mostraram resistentes à sua introdução (Andrade et al., 2022, 2023).

Um dos maiores desafios para o diagnóstico definitivo de IMNV

[IMNV]: camarões P.

vannamei cultivados

apresentaram extensas

áreas necróticas nos

tecidos musculares

esqueléticos, resultando

em mortalidades

acumuladas de até 70%

ao final da colheita nos

viveiros.

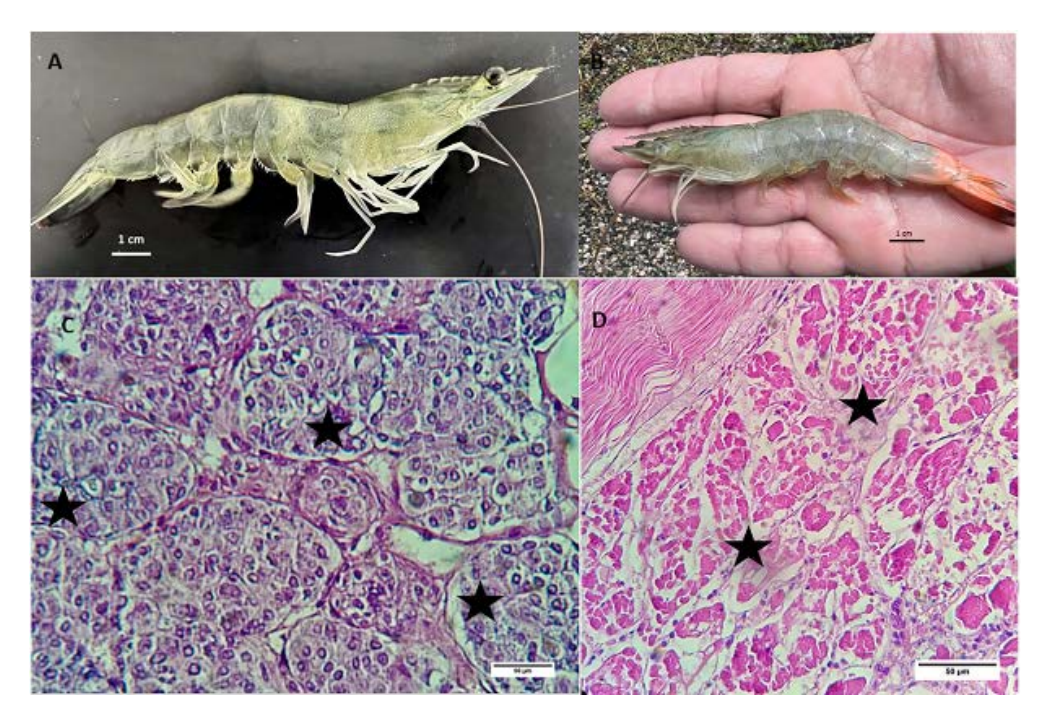


Figura 7. Camarões juvenis de *Penaeus vannamei* apresentando sinais típicos da doença da mionecrose infecciosa ocasionada pelo vírus da mionecrose infecciosa (IMNV). (A) IMN aguda, incluindo necrose focal a extensa, visível como áreas opacas e esbranquiçadas nos músculos dos segmentos abdominais \bigstar ; (B) necrose no segmento abdominal distal e avermelhamento do leque caudal, com escala de 1 cm; (C) além de fotomicrografias de secções teciduais do órgão linfoide; e (D) músculo estriado abdominal de P. vannamei infectado por IMNV (Fotos: Andrade et al., 2022).

está no fato de que muitas condições de estresse em camarões levam ao aparecimento de estrias e esbranquiçamento do abdômen do camarão, o que pode estar associado a causas não infecciosas, tais como temperatura, oxigênio, entre outras, e causas de agentes infecciosos. Por exemplo, doenças fúngicas, como a doença do algodão, ocasionada por microsporídios (Agmasoma penaei, Ag. duorara, Ameson nelsoni e Pleistofora penaei), também levam à opacidade abdominal. Este último é dificultado, pois a mionecrose não é exclusiva de

IMNV e pode ser encontrada, por exemplo, em PvNV, MrNV e CMNV, havendo, portanto, a necessidade de se utilizarem ambos os diagnósticos, molecular e histopatológico, para o diagnóstico definitivo. Vale lembrar que animais assintomáticos podem ser portadores de IMNV em alguns casos, por exemplo, em reprodutores e pós-larvas. Recomenda-se protocolo de estresse (=>28C) nos animais por um tempo, a fim de realizar o diagnóstico definitivo (Andrade, T.P.D., dados não publicados).

2.7 Macrobrachium rosenbergii nodavírus (MrNV) – Listado pela OMSA

A doença da cauda branca (WTD), provocada pelo nodavírus de Macrobrachium rosenbergii (MrNV), foi relatada pela primeira vez na Ilha de Guadalupe. nas Antilhas Francesas. em 1997, onde causou alta mortalidade em pós-larvas de M. rosenbergii em laboratórios de larvicultura (Arcier et al., 1999). Posteriormente. forelatadas altas ram

taxas de mortalidade em pós-larvas de camarões peneídeos, incluindo o camarão-indiano (*P. indicus*), o camarão-kuruma (*P. japonicus*) e o cama-

rão-tigre-negro (*P. mo-nodon*) (Sudhakaran *et al.*, 2006; Ravi *et al.*, 2009). Mais tarde, a doença também foi identificada em juvenis de *P. vannamei*, mas sem estar associada a altas taxas de mortalidade (Senapin *et al.*, 2012).

A doença da cauda branca (WTD), provocada pelo nodavírus de Macrobrachium rosenbergii (MrNV), foi relatada pela primeira vez na Ilha de Guadalupe, nas Antilhas Francesas, em 1997, onde causou alta mortalidade em póslarvas de M. rosenbergii em laboratórios de larvicultura.

Diferentemente da maioria dos vírus de camarão, que não infectam células de peixes ou insetos, foi observado que o MrNV pode se replicar em células de peixe SS1, de mosquito C6/36 e de insetos Sf9.

O agente etiológico da WTD é um vírus icosaédrico não envelopado, denominado nodavírus de Macrobrachium rosenbergii (MrNV),

com diâmetro de 30 ± 3 nm, pertencente à família Nodaviridae (Bonami et al., 2005). O genoma viral é composto por dois fragmentos de RNA de fita simples, senso positivo. O RNA-1 (3202 bases) codifica uma RNA polimerase dependente de RNA (RdRp) e uma proteína B2, enquanto o RNA-2 (1175 bases) codifica a proteína do capsídeo viral. Em camarões afetados pela WTD, o MrNV é fre-

quentemente acompanhado por um vírus menor, o vírus extra pequeno (XSV). O XSV também é um vírus icosaédrico não envelopado, com 15

nm de diâmetro, contendo um RNA de fita simples, senso positivo, de 796 bases, que codifica uma única proteína de capsídeo (Bonami et al., 2005; Bonami e Sri Widada, 2011). Foi hipotetizado que o XSV é um vírus satélite, depen-

dente da RdRp do MrNV para sua replicação (Qian et al., 2003).

Diferentemente da maioria dos vírus de camarão, que não infectam células de peixes ou insetos, foi observado que o MrNV pode se replicar em células de peixe SS1, de mosquito C6/36 e de insetos Sf9. No entanto, a replicação viral nessas células parece ser limitada, apesar da observação de efeitos citopáticos (CPE) nas células infectadas. Jariyapong et al. (2018) transfectaram células Sf9 com RNA-1 e RNA-2 do MrNV transcritos in vitro, produzindo vírions maduros que foram capazes de infectar camarões, embora os vírions formados fossem maiores (40-50 nm de diâmetro) do que o vírus selvagem (30 ± 3 nm) (Jariyapong et al., 2018). Recentemente, MrNV e XSV recombinantes foram expressos em células Sf9 por meio de um sistema de expressão baseado em baculovírus, produzindo vírions similares ao tipo selvagem. Ambos os vírus foram purificados a partir das células Sf9 infectadas, e foi demonstrado que o MrNV sozinho é suficiente para causar sinais clínicos da WTD (Gangnonngiw et al., 2020). Além disso, quando camarões saudáveis foram desafiados com XSV purificado, observou-se que o RNA viral poderia se replicar sem a presença de MrNV, sugerindo que a replicação do XSV poderia ser sustentada por uma RdRp de origem hospedeira. Esse es-

tudo abriu novas possibilidades para a aplicação de abordagens genéticas reversas no estudo da patogênese viral em camarões, especialmente considerando a ausência de linhagens celulares imortalizadas em camarões ou em outros crustáceos. Entre 2004 e 2006. amostras de P. vannamei coletadas em Belize apresentaram lesões brancas e opacas na cauda, além de histopatologia semelhante à causada pelo IMNV. No entanto, os testes de RT-PCR para IMNV nessas amostras foram negativos (Tang et al., 2007). Nas fazendas afetadas, a doença resultou em redução de 50% na produção. O vírus purificado de camarões doentes apresentava diâmetro entre 19-27 nm, e seu genoma era composto por dois segmentos de RNA de fita simples, senso positivo: RNA1 (3111 pb) e RNA2 (1183 pb). A organização genômica desse vírus foi considerada semelhante à do MrNV, e análises filogenéticas baseadas na sequência predita da RNA polimerase dependente de RNA revelaram que o PvNV pertence ao gênero Alphanodavirus, sendo estreitamente relacionado ao MrNV (Tang et al., 2011).

Curiosamente, em ensaios laboratoriais usando *P. vannamei* SPF, o PvNV não causou mortalidade significativa. No entanto, foi relatado que, quando a densidade de estocagem era alta (>50 m²) ou quando a temperatura excedia 32°C, a sobrevivência

dos camarões infectados por PvNV caía para 40% (Tang et al., 2007). Além disso, foi demonstrado que as fezes de aves marinhas que consumiram camarões infectados por PvNV, bem como cracas e zooplâncton, podem atuar como ve-

tores passivos do vírus. A análise histopatológica de camarões infectados revelou necrose multifocal e fibrose hemocítica no músculo esquelético, além de inclusões citoplasmáticas basofílicas em músculos estriados, órgãos linfoides e tecidos conjuntivos. A microscopia eletrônica de transmissão revelou inclusões citoplasmáticas contendo arranjos para-cristalinos de vírions (Tang et al.,

2.8 Vírus da síndrome da mortalidade encoberta (CMNV) – Doença emergente pela OMSA

2011).

A síndrome de mortalidade encoberta, causada por *Covert Mortality Nodavirus* (CMNV), provocou grandes surtos de doen-

[...] foi demonstrado que as fezes de aves marinhas que consumiram camarões infectados por PvNV, bem como cracas e zooplâncton, podem atuar como vetores passivos do vírus.

Os criadores de camarão observaram que a mortalidade era mais evidente entre 60 e 80 dias após o estoque, com mortalidades acumuladas alcançando até 80% (Zhang et al., 2014). As informações genéticas de CMNV são limitadas a um clone de 1185 pb do genoma viral. A análise filogenética usando a sequência de aminoácidos da RdRp do CMNV sugere fortemente que o CMNV seja

uma nova espécie dentro do gênero

Alphanodavirus. O tamanho do vírus

China.

ça a partir de 2009, na

doença de mortalidade

oculta, pois os camarões

afetados preferiam ficar

escondidos no fundo

dos viveiros, em vez de

nadar até a superfície.

Foi nomeada

pode variar, sendo que dois tipos distintos de partículas semelhantes a vírus foram observados por microscopia eletrônica de transmissão (TEM): uma partícula maior de 32 nm de diâmetro e uma partícula menor de 19 nm de diâmetro (Zhang et al., 2014).

Os principais hospedeiros do CMNV são P. vannamei, P. chinensis, P. japonicus, P. monodon

A síndrome de mortalidade encoberta, causada por *Covert Mortality Nodavirus* (CMNV), provocou grandes surtos de doença a partir de 2009, na China. Foi nomeada doença de mortalidade oculta, pois os camarões afetados preferiam ficar escondidos no fundo dos viveiros, em vez de nadar até a superfície.

e M. rosenbergii (Zhang et al., 2017). Vetores e reservatórios potenciais incluem: camarão de salmoura, cracas, rotíferos, anfípodes, Crassostrea gigas, caranguejo-eremita (Diogenes edwardsii), Meretrix lusoria,

Ocypode cordimundus, Parathemisto guadichaudi e caranguejo-fiddler (Liu et al., 2018).

Os sinais clínicos nos camarões afetados incluem atrofia hepatopancreática, com desbotamento de cor, estômago e intestinos vazios, carapaça mole, crescimento lento e, em muitos casos, lesões musculares brancas e desiguais nos segmentos abdominais. Histologicamente, as fibras musculares apresentam fragmentação muscular, tendendo para lise muscular coagulatória, mionecrose e inflação hemocítica (Zhang *et al.*, 2014). Vacuolização no citoplasma das células

epiteliais nos túbulos do hepatopancreas e inclusões eosinofílicas foram observadas dentro dos epitélios tubulares (Zhang et al., 2014). Recentemente, foi descoberto que o CMNV atravessou barreiras de espécies e causou doenças no importantíssimo linguado japonês (Wang et al.,

A hepatopancreatite necrosante (NHP) e uma doenca causada por uma bacteria intracelular, pleomorfica ... Hepatobacter penaei. 2019). Em setembro de 2022, a Comissão de Animais Aquáticos considerou as informações científicas disponíveis sobre o *Covert Mortality Nodavirus* (CMNV) e concordou que a infecção por CMNV aten-

de à definição de doença emergente e deve ser reportada à OMSA, de acordo com o Artigo 1.1.4 do Código Aquático (OMSA, 2023).

3. Doenças causadas por bactérias

3.1 Bactéria da hepatopancreatite necrosante (NHP-B) – Listada pela OMSA

A hepatopancreatite necrosante (NHP) é uma doença causada por uma bactéria intracelular, pleomór-

> fica. membro das Alfaproteobactérias, recentemente deno-Candidatus minada Hepatobacter penaei (Frelier et al., 1992; Lightner; Redman. 1994: Nunan et al., 2013). A H. penaei afeta camarões peneídeos cultivados em vários países do hemisfério ocidental, incluindo os EUA,

[CNMV] ... Os sinais clínicos nos camarões afetados incluem atrofia hepatopancreática, com desbotamento de cor, estômago e intestinos vazios, carapaça mole, crescimento lento e, em muitos casos, lesões musculares brancas e desiguais nos segmentos abdominais.

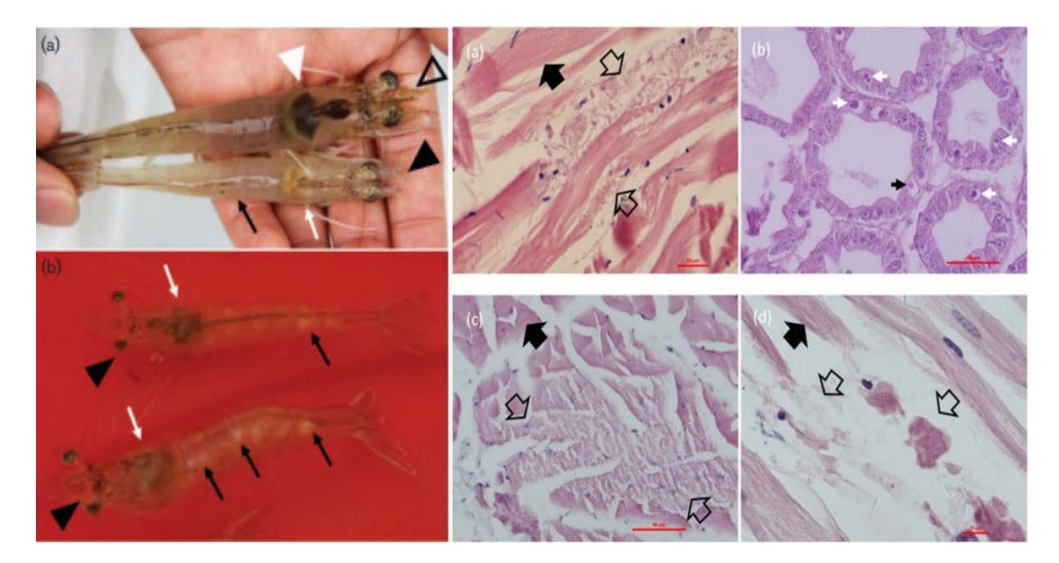


Figura 8. Sinais clínicos da doença da mortalidade encoberta (CMD) em *Penaeus vannamei* foram observados tanto em experimento de desafio laboratorial (a) quanto em camarões de viveiro (b), onde setas pretas indicam o branqueamento muscular no segmento abdominal, enquanto setas brancas destacam atrofia do hepatopâncreas e perda de coloração. Para referência, triângulos em moldura representam camarões saudáveis, triângulos pretos identificam animais afetados pela CMD e triângulos brancos mostram o hepatopâncreas de indivíduos saudáveis. Nas fotomicrografias das sessões histológicas, observam-se as lesões musculares esbranquiçadas observadas em *L. vannamei, M. rosenbergii, M. japonicus* e *P. monodon* com fragmentação muscular com tendência a coagulação, lise muscular e mionecrose (Fig. 8a, c e d; Fig. 8a e d), enquanto no hepatopâncreas foram identificadas vacuolização no citoplasma dos hepatopancreócitos e inclusões eosinofílicas em diferentes estágios de desenvolvimento no epitélio tubular (Fig. 8b) (Fonte: Zhang *et al.*, 2014 e 2017).

a maioria dos países americanos e sul-americanos centrais e a África (Lightner, 2012). 1996, NHP é uma doença crônica que provoca mortalidade de até 95% na população de camarão em viveiros de engorda (Lightner, 1996; Johnson, 1990) e em viveiros de cultivo de

[NHP] Os camarões infectados por H. penaei têm corpos flácidos, letargia, diminuição da ingestão alimentar, intestino vazio e diminuição no crescimento. Na fase aguda, o hepatopâncreas (hp) tem intensa infiltração dos hemócitos, com túbulos necrosados; na fase crônica, o hp tem lesões nos túbulos com baixo armazenamento lipídico.

camarões reprodutores (Aranguren et al., 2006; Morales et al., 2006). A ocorrência de NHP está relacionada a condições ambientais específicas, tais como temperaturas e salinidades altas (Lightner 1996; Vincent; Lotz, 2007). Os camarões infectados pela *H. penaei* têm corpos flácidos,

letargia, diminuição da ingestão alimentar, intestino vazio e diminuição no crescimento. Na fase aguda, o hepatopân-

creas (hp) tem intensa infiltração dos hemócitos, com túbulos necrosados; na fase crônica, o hp tem lesões nos túbu-

Tabela 2 – Diagnóstico, em *Litopenaeus vannamei*, de doenças listadas pela OMSA pelos métodos da histopatologia e de hematoxilina e eosina

Sinais clínicos	Enfermidade/Lesões histopatológicas
	Vírus da necrose hipodérmica e hematopoiética infecciosa - IHHNV
Síndrome da deformidade rostal (supressão do crescimento)	Corpos de inclusão intranucleares do tipo Cowdry A dentro de núcleos hipertrofiados com cromatina marginalizada em células de tecidos de origem ectodérmica e mesodérmica. Vírus da síndrome da mancha branca (WSSV)
Vermelhidão na fase aguda e manchas brancas na fase crônica	Tecidos ectodérmicos e mesodérmicos. Epitélio cuticular e tecidos conjuntivos subcuticulares. Tecido conjuntivo subjacente no hepatopâncreas e no intestino médio, porém as células epiteliais tubulares desses dois órgãos são de origem endodérmica e não são infectadas. Presença de corpos de inclusão intranucleares proeminentes, de eosinofílicos a basofílicos pálidos e localizados em núcleos hipertrofiados. Esses corpos de inclusão são mais comumente encontrados nas células epiteliais cuticulares e nas células do tecido conjuntivo e, com menor frequência, no epitélio da glândula antenal, nas células da bainha do órgão linfoide, nos tecidos hematopoiéticos e nos fagócitos fixos do coração. Os estágios iniciais do desenvolvimento dos corpos de inclusão são eosinofílicos, centronucleares e apresentam um halo, assemelhando-se à aparência dos corpos de inclusão induzidos pela infecção pelo IHHNV, o que pode causar confusão diagnóstica. No entanto, a presença de corpos de inclusão maiores, mais desenvolvidos, sem halo e basofílicos pálidos nos tecidos-alvo infectados durante os estágios avançados da infecção, diferencia claramente as duas doenças. Geralmente, os núcleos infectados contêm um único corpo de inclusão, mas ocasionalmente podem apresentar múltiplas inclusões. Principais órgãos/tecidos: linfoide, brânquias, estômago, glândula antenal.
	Vírus iridescente dos decápodes tipo-1 (DIV1)
corpos avermelha- dos, hepatopâncreas branco atrofiado, carapaças moles e es- tômagos e intestinos vazios	Corpos de inclusão citoplasmáticos eosinofílicos escuros, patognomônicos, nas células eucarióticas dos tecidos hematopoiéticos e dos órgãos linfoides, e nos hemócitos das brânquias, dos pereópodes e do hepatopâncreas, assim como no epitélio cuticular sob as cutículas.

Continua

Tabela 2 – Diagnóstico, em *Litopenaeus vannamei*, de doenças listadas pela OMSA pelos métodos da histopatologia e de hematoxilina e eosina

Sinais clínicos	Enfermidade/Lesões histopatológicas
	Vírus da síndrome de Taura (TSV)
Na fase aguda, vermelhidão com cromatóforos expandidos; na fase de transição, melanizações na carapaça; na fase crônica, sem sinais externos	Na fase aguda, aparecem necroses multifocais no epitélio cuticular da superfície geral do corpo, nos apêndices, nas brânquias, no intestino posterior e no intestino anterior (esôfago e câmara anterior e posterior do estômago). As células afetadas apresentam citoplasma com eosinofilia aumentada e núcleos picnóticos ou com cariorrexe. Os remanescentes citoplasmáticos das células necróticas são, com frequência, extremamente abundantes e geralmente aparecem como corpos esféricos (1–20 µm de diâmetro), variando na coloração de eosinofílica a basofílica pálida. Essas estruturas, juntamente com os núcleos picnóticos e com cariorrexe, conferem às lesões da fase aguda da TS uma aparência característica de "granulada" ou "perfurada por chumbinho", considerada patognomônica para a doença TS. Na fase de transição da TS, as lesões cuticulares típicas da fase aguda diminuem em quantidade e gravidade, sendo substituídas por uma infiltração conspícua e acúmulo de hemócitos nos locais de necrose. As massas de hemócitos podem sofrer melanização, originando as manchas escuras irregulares que caracterizam essa fase da doença. Essas lesões podem apresentar erosão da cutícula, colonização por <i>Vibrio</i> spp. esferoides no órgão linfoide, embora, em geral, eles possam parecer normais. No estágio crônico, o único sinal de infecção é a presença de numerosos esferoides do órgão linfoide (LOS) e LOS ectópicos, alojando-se em áreas restritas do hemocele (como coração, brânquias e tecidos conjuntivos subcuticulares, entre outros).
	Vírus da cabeça amarela (YHV)
Palidez do cefalotórax e do hepa- topâncreas	Necrose severa, multifocal a difusa, com picnose nuclear proeminente e cariorrexe. Inclusões citoplasmáticas basofílicas, geralmente esféricas e perinucleares, ocorrem nos tecidos afetados, especialmente em hemócitos, no órgão linfoide, nos tecidos hematopoiéticos, nas células epiteliais das lamelas branquiais e dos pilares branquiais, nas células do tecido conjuntivo esponjoso da derme, no músculo, no intestino, na glândula antenal, nas gônadas, nos tratos nervosos e nos gânglios. As alterações celulares iniciais na YHD podem incluir hipertrofia nuclear, diminuição e marginalização da cromatina e deslocamento lateral do nucléolo. A inflamação, caracterizada por infiltração, agregação e encapsulamento de hemócitos, ocorre de forma difusa e pouco evidente, a menos que haja uma infecção bacteriana secundária concomitante à YHD. Um tipo celular único frequentemente presente em camarões com YHD pode auxiliar no diagnóstico histológico da doença. Essas células aparecem em número variável, mas não são raras, nos espaços hemolinfáticos de diversos tecidos (como nas brânquias, entre a glândula antenal e os túbulos do hepatopâncreas, no coração, etc.). Geralmente, são esféricas, com citoplasma uniforme e levemente basofílico e um núcleo esférico central. Essas células podem ser hemócitos imaturos liberados prematuramente dos órgãos hematopoiéticos em resposta à hemocitopenia induzida pela YHD.

Continua

Tabela 2 – Diagnóstico, em *Litopenaeus vannamei*, de doenças listadas pela OMSA pelos métodos da histopatologia e de hematoxilina e eosina

Continuação

Sinais clínicos	Enfermidade/Lesões histopatológicas
	Macrobrachium rosenbergii nodavirus (MrNV)
Opacidade muscular (abdômen)	Presença de necrose aguda de Zenker nos músculos estriados, caracterizada por intensa degeneração hialina, necrose e lise muscular. Também são observados edema moderado e espaços anormais entre as células musculares afetadas, além da presença de grandes corpos de inclusão citoplasmáticos basofílicos, ovais ou irregulares, nos músculos infectados. Corpos de inclusão citoplasmáticos basofílicos, ovais ou irregulares.
	Vírus da mionecrose infecciosa (IMNV)
Opacidade muscular (abdômen)	Fase aguda: necrose coagulativa das fibras musculares estriadas (esqueléticas), frequentemente acompanhada por edema acentuado entre as fibras musculares afetadas. Fase crônica: fibras musculares afetadas progridem de necrose coagulativa para necrose liquefativa, que é acompanhada por infiltração moderada e acúmulo de hemócitos. Nas lesões mais avançadas, os hemócitos e as fibras musculares inflamadas são substituídos por uma matriz frouxa de fibroblastos e fibras de tecido conjuntivo, intercalados com hemócitos e focos de fibras musculares (presumivelmente) em regeneração. A hipertrofia do órgão linfoide (OL) é causada pelo acúmulo de esferoides do OL (LOS). Frequentemente, muitos LOS ectópicos podem ser encontrados em outros tecidos, distantes do corpo principal do OL. Os locais comuns para LOS ectópicos incluem as brânquias, o coração, próximo aos túbulos da glândula antenal, e o cordão nervoso ventral.
	Covert Mortality Nodavirus (CMNV)
Opacidade muscular (abdômen); com carapaças moles, atrofia do hepatopân- creas, com coloração desbotada, estôma- gos vazios	Mionecrose coagulativa e liquefativa. A mionecrose multifocal no músculo estriado inclui infiltração hemocítica e cariopicnose dos hemócitos. Esferoides no órgão linfoide também podem estar presentes. Vacuolização no citoplasma dos hepatopancreócitos e inclusões eosinofílicas no epitélio tubular do hepatopâncreas, bem como necroses e vacualizações no sistema nervoso.

los com baixo armazenamento lipídico (Lightner, 1996; Figura 9).

A NHP foi primeiramente identificada no estado do Texas (EUA), onde apresentou perdas que variam entre 20 e 95% da produção (Lo *et al.*, 1996). Em seguida, os demais países, EUA, Peru (Lightner e Redman, 1994), Panamá, Brasil, Venezuela, Costa Rica (Ligntner,

1996), Equador, Colômbia (Aranguen, 2010), México (Rio-Rodriguez *et al.*, 2006; Nunan, 2008) e África (Lightner *et al.*, 2012).

Para a realização do diagnóstico da NHP-B, é necessário usar as fezes do animal com suspeita de infecção, principalmente do hepatopâncreas, pois esse é mais suscetível à infecção. Há diversos

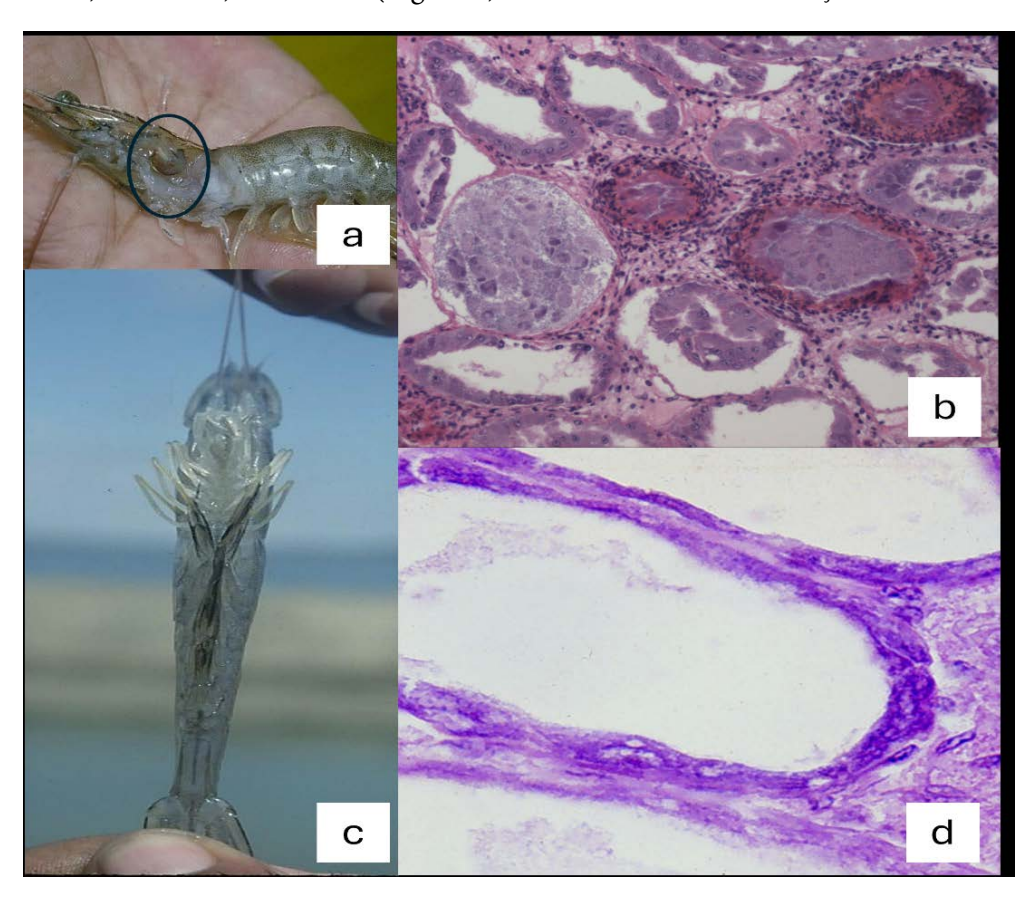


Figura 9. Juvenis moribundos de *Penaeus vannamei* com hepatopancreatite necrosante (*Hepatobacter penaei*) NHP-B. (a) Hepatopâncreas (HP) marcadamente atrofiado, reduzido a aproximadamente 50% do seu volume normal. (b) Os cromatóforos pretos nos pleópodes estão expandidos, dando a esses apêndices uma aparência suja, falsamente melanizada ou "suja". (c) Fase aguda com inflamação hemocítica severa e lesões granulomatosas. (d) Fase crônica, em que os HPs não apresentam inflamação hemocítica ou exibem apenas focos ocasionais de inflamação hemocítica (seta grande) dos túbulos necrosados ou em degeneração do HP (Fontes: a, c e d Lightner, D. V., 1996; b Dhar, A.K.).

métodos desenvolvidos para o diagnóstico da enfermidade, entre eles incluem: histologia, hibridação *in situ*, PCR, qPCR (Linghtner,1996; Nunan *et al.*, 2008; Aranguren, 2010) e imuno-histoquímica, teste que utiliza anticorpos monoclonais para detecção especificamente da enfermidade (OMSA, 2013).

diagnóstico diferencial necessário para as vibrioses, como a doença da necrose hepatopancreática aguda (AHPND) e a necrose séptica do hepatopâncreas (AHPN), ambas doenças bacterianas. causadas por integrantes do gênero Vibrio. Microsporidiose

hepatopancreática, causada por *Enterocytozoon hepatopanaei* (EHP), também tem levado a dificultar o diagnóstico definitivo para NHP-B (Figura 9). Para enfatizar as principais características dessas patologias, a tabela a seguir faz uma referência sobre as principais diferenças entre essas três doenças (Tabela 2).

3.2 Necrose hepatopancreática aguda (VpAHPND) / Síndrome da mortalidade precoce (EMS) – Listada pela OMSA

A doença da necrose hepatopancreática aguda (AHPND) resulta da infecção por estirpes de *Vibrio paraha-* emolyticus (VpAHPND). Essas contêm um plasmídeo o qual carrega genes que codificam proteínas homólogas às toxinas PirA e PirB, relacionadas a insetos e originalmente descritas em *Photorhabdus* (OMSA, 2023).

A AHPND é caracterizada por elevadas taxas de mortalidade (podendo atingir 100%) em até 30-35 dias após

a estocagem de pós-larvas (PLs) ou juvenis em viveiros de engorda (Hong et al., 2016). Camarões juvenis mais velhos também podem ser afetados (de la Peña et al., 2015). Em regiões onde a doença é endêmica na carcinicultura, a prevalência pode se

aproximar de 100% (Tran et al., 2014). Os primeiros sinais clínicos e óbitos podem ocorrer já a partir do 10º dia após a estocagem. Entre os sinais da doença em camarões moribundos, destaca-se hepatopâncreas pálido ou esbranquiçado, devido à perda de pigmentação na cápsula do tecido conjuntivo (NACA, 2014). Alterações comportamentais, como a tendência a manter-se no fundo dos tanques, também são comuns.Desde sua primeira ocorrência na China, em 2009, surtos de AHPND foram relatados em diversas partes do mundo, como na Tailândia, em 2011; no México, em 2013; nas Filipinas, em 2014; em vários países da América do Sul, entre 2014

A AHPND é
caracterizada por
elevadas taxas de
mortalidade (podendo
atingir 100%) em
ate 30–35 dias apos
a estocagem de póslarvas (PLs) ou juvenis
em viveiros de engorda.

Tabela 2 – Diagnóstico diferencial entre as três doenças bacterianas e uma fúngica de grande incidência de hepatopancreatite em *Litopenaeus vannamei*

Sinais clínicos	Enfermidade	Lesões histopatológicas distintivas no hepatopâncreas
Baixo crescimento Variação no tamanho Mortalidades crônicas Letargia Estômago vazio Intestino médio vazio HP atrofiado HP pálido Túbulos do HP melanizados HP mole e aquoso	SHPN - Necrose hepatopancreática séptica (vibriose séptica)	Resposta inflamatória moderada a forte e melanização; células epiteliais descamadas, geralmente mortas; distribuição aleatória das lesões; bactérias do gênero <i>Vibrio</i> presentes ao longo da doença.
	NHP -Hepatopancreatite necrosante (Hepatobacter penaei)	Resposta inflamatória moderada a forte e melanização; células epiteliais descamadas, geralmente mortas; células epiteliais do HP apresentam citoplasma basofílico; distribuição multifocal a difusa das lesões; bactérias do gênero <i>Vibrio</i> são secundárias.
	VpAHPND - Necrose hepatopancreáti- ca aguda (Vibrio parahaemolyticus - Pir ^{A&B})	Fase aguda: resposta inflamatória baixa a moderada e melanização; células epiteliais descamadas ainda vivas; distribuição das lesões do proximal para o distal. Fase terminal: bactérias Vibrio presentes; forte reação inflamatória e melanização; a maioria das células epiteliais descamadas estão mortas; distribuição aleatória das lesões. Fase crônica: presença de granuloma; melanização focal a multifocal dos túbulos do hepatopâncreas; baixo teor de lipídios citoplasmáticos e atrofia das células epiteliais dos túbulos; túbulos com necrose epitelial acompanhada por bactérias e inflamação, semelhante à necrose hepatopancreática séptica (SHPN).
	EHP - Microsporidiose hepatopancreática (Enterocytozoon he- patopenaei penaei)	Resposta inflamatória baixa a moderada; melanização dos túbulos rara; estágios plasmódicos e/ou esporos podem ser encontrados no citoplasma dos hepatócitos; esporos livres no lúmen dos túbulos do HP; vibrioses secundárias são possíveis.

e 2016; em Bangladesh, em 2017; nos Estados Unidos da América (EUA), em 2017; em Taiwan, em 2018; na Coreia do Sul, em 2019; e em Okinawa, no Japão, em 2020 (Ghandran *et al.*, 2023). Estimativas anteriores do impacto econômico cumulativo da AHPND varia-

ram de aproximadamente oito bilhões de dólares americanos na Ásia para cerca de quatro bilhões nas Américas (Lightner, comunicação pessoal em Aranguren *et al.*, 2020).

Os sinais clínicos incluem hepatopâncreas pálido a branco, atrofia acentuada do órgão, carapaça amolecida e trato digestivo sem conteúdo ou com descontinuidade. Também podem ser observadas manchas ou estrias escuras no hepa-

topâncreas, resultantes da melanização dos túbulos. Além disso, o hepatopâncreas pode apresentar maior resistência ao esmagamento entre os dedos, possivelmente devido ao aumento de tecido conjuntivo fibroso e hemócitos (NACA, 2014). Para diagnóstico histopatológico, amostras de tecidos e órgãos não relacionados ao sistema digestivo não são adequadas (NACA, 2014; Nunan *et al.*, 2014; Soto-Rodriguez *et al.*, 2015; Tran *et al.*, 2013). A análise histológica

dos camarões infectados revela que as lesões se restringem ao hepatopâncreas, e a progressão da doença ocorre em três fases (Figura 10; Tabela 3).

Fase aguda: marcada pela degeneração progressiva dos túbulos do hepatopâncreas, indo da região proximal para

> a distal. Há desprendimento acentuado das células epiteliais dos túbulos, que passam a se acumular nos ductos coletores do hepatopâncreas e na parte posterior do estômago. Durante essa fase, não são observadas células B, F e R nos túbulos do hepatopâncreas, e alguns núcleos das células epiteliais apresentam aumento anormal (cariomegalia). Não há participação bacteriana significativa nessa fase

inicial da doença (Nunan et al., 2014; Soto-Rodriguez et al., 2015; Tran et al., 2013, 2014).

Fase terminal: caracterizada por intensa inflamação hemocítica dentro dos túbulos do hepatopâncreas e por desenvolvimento de infecções bacterianas secundárias associadas à necrose e ao desprendimento celular dos túbulos do órgão (NACA, 2014; Nunan *et al.*, 2014; Soto-Rodriguez *et al.*, 2015; Tran *et al.*, 2013, 2014).

[AHPND] Os sinais clínicos incluem hepatopâncreas pálido a branco, atrofia acentuada do órgão, carapaça amolecida e trato digestivo sem conteúdo ou com descontinuidade. Também podem ser observadas manchas ou estrias escuras no hepatopâncreas, resultantes da melanização dos túbulos.

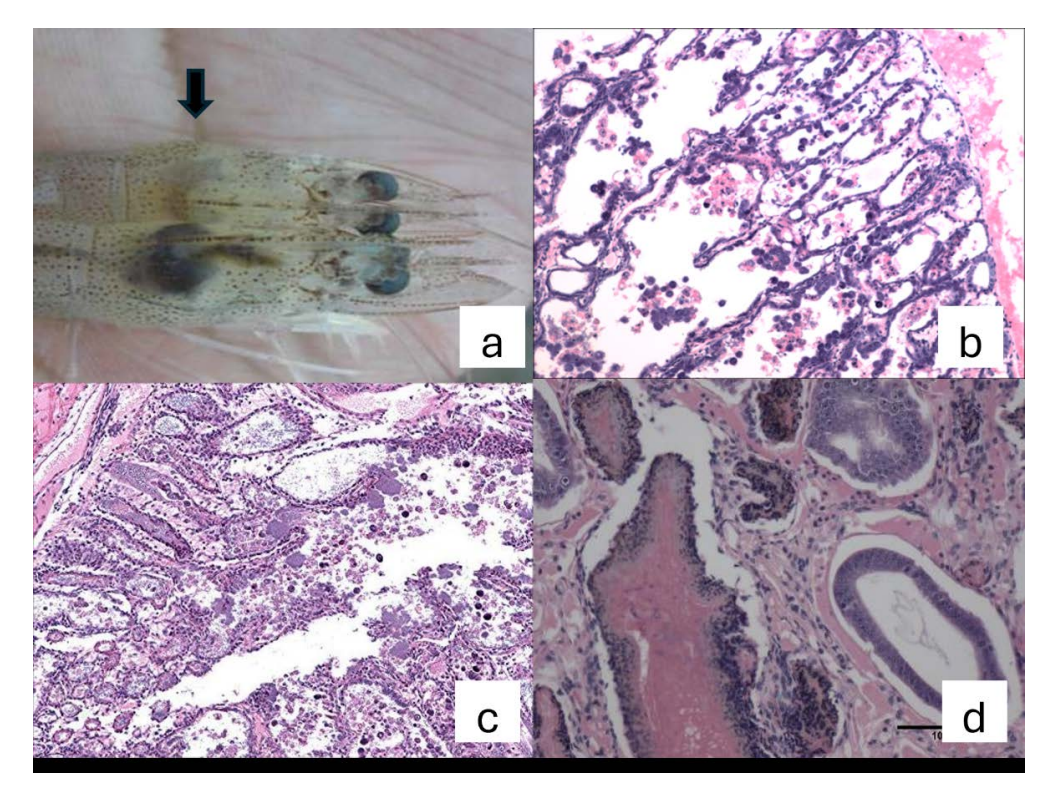


Figura 10. Moribundo de *Penaeus vannamei* com necrose hepatopancreática aguda (*Vibrio parahae-molyticus* - Pir^{A&B}) VpAHPND apresentando o hepatopâncreas pálido e atrofiado (seta preta). Na sequência, as três fases da doença: (b) fase aguda, (c) fase terminal e (d) fase crônica (ver Tabela 3) (Fonte: Tran *et al.*, 2013 e Aranguren *et al.*, 2020).

Fase crônica (em linhagens tolerantes de *P. vannamei*): observa-se apenas um número reduzido de túbulos com necrose epitelial, acompanhada por bactérias e inflamação. Essa fase tem características semelhantes à necrose séptica hepatopancreática (SHPN) (Aranguren *et al.*, 2020b).

O VpAHPND pode ser isolado de camarões moribundos, utilizando-se meios microbiológicos padrão para isolamento de espécies de *Vibrio* de tais fontes (Lightner, 1996; Tran *et al.*, 2013; OMSA, 2023). A confirma-

ção da identificação de VpAHPND pode ser realizada por meio de análise de métodos moleculares baseada em PCR, sequenciamento genômico e análises proteômicas. A reação em cadeia da polimerase (PCR) convencional duplex e a PCR em tempo real (qPCR) são amplamente empregadas para a identificação específica das cepas de Vibrio parahaemolyticus causadoras da doença, direcionando-se aos genes PirA e PirB presentes no plasmídeo pVA1. Técnicas baseadas em hibridização molecular, como a hibri-

dização in situ (ISH) e o teste de amplificação isotérmica mediada por loop (LAMP), também foram desenvolvidos como alternativas rápidas e sensíveis para a detecção da doença em condições de campo. Essas meto-

infecção por EHP
não são facilmente
identificáveis em
campo, exigindo
exames histológicos e
testes de PCR para um
diagnóstico preciso.

Os sinais da

dologias, combinadas, desempenham um papel essencial na vigilância epidemiológica, no diagnóstico precoce e no manejo da VpAHPND em sistemas de cultivo de camarões (OMSA, 2023).

4. Doença causada por fungos

4.1 Microsporidiose hepatopancreática (MHP) -(Enterocytozoon hepatopenaei penaei - EHP) - Doença emergente pela OMSA

A microsporidiose hepatopancreática (MHP) é uma doença causada pelo fungo Enterocytozoon hepatopenaei (EHP), que representa uma ameaça significativa à produção global de camarão. Os sinais da infecção por EHP não são facilmente identificáveis em campo, exigindo exames histológicos e testes de PCR para um diagnóstico preciso (Chaijarasphong et al., 2021). Embora a infecção por EHP não provoque altas taxas de

mortalidade, ela compromete significativamente o crescimento dos camarões, resultando em variações de tamanho dentro da população afetada (Thitamadee *et al.*, 2016).

Estudos apontam

uma forte associação entre a infecção por EHP e a síndrome das fezes brancas, bem como a síndrome do crescimento lento. Além disso, camarões infectados por EHP apresentam maior suscetibilidade à doença necrótica aguda do hepatopâncreas (AHPND) e à síndrome das fezes brancas. Esse impacto resulta em grandes perdas econômicas na aquicultura, com prejuízos estimados em US\$ 813 por tonelada de camarão produzido (Geetha et al., 2022). Em 2018, as perdas globais atribuídas ao EHP foram calculadas em aproximadamente US\$ 232 milhões anuais (Shinn et al., 2018). Na Índia, esse valor foi ainda maior, alcançando US\$ 567,62 milhões (Patil et al., 2021).

No início dos anos 2000, criadores de camarão na Tailândia observaram uma redução na produtividade de *Penaeus monodon*, devido ao crescimento retardado dos animais cultivados (Chayaburakul *et al.*, 2004). Foi constatado que vários agentes estavam

relacionados a essa condição, incluindo o baculovírus de monodon (MBV), parvovírus hepatopancreático (HPV) e um microsporídio inicialmente desconhecido (Chayaburakul et al., 2004). Posteriormente, esse microsporídio foi identificado como Enterocytozoon hepatopenaei (EHP) (Tourtip et al., 2009). Relatos anteriores já mencionavam a presença de um microsporídio semelhante ao EHP em P. monodon na Malásia, em 1989 (Anderson et al., 1989), e em P. japonicus na Austrália, em 2001 (Hudson et al., 2001), sugerindo que o EHP poderia ser endêmico na região da Australásia antes de sua identificação formal.

Atualmente, o EHP é conhecido por infectar P. vannamei, a principal espécie de camarão cultivada comercialmente no mundo (FAO, 2022). A infecção causa atraso no crescimento e variações de tamanho dentro dos lotes (Thitamadee et al., 2016). Além disso, o EHP pode aumentar a vulnerabilidade de P. vannamei às infecções secundárias, como a doença necrótica aguda do hepatopâncreas (Aranguren et al., 2017) e a síndrome da mancha branca (Thamizhvanan et al., 2019). Também foi identificado em amostras arquivadas de P. stylirostris, um camarão azul cultivado em Brunei (Tang et al., 2015).

Entre os fatores de risco para a infecção por EHP estão a tempera-

tura e a salinidade da água. O EHP é encontrado tanto em águas salobras (>2 ppt) quanto em águas marinhas, sendo sua prevalência e gravidade maiores quando a salinidade atinge 30 ppt (Aranguren et al., 2021). Alimentos vivos e frescos, como poliquetas, artêmias, moluscos e lulas, já foram identificados como vetores potenciais de EHP, pois apresentam resultados positivos em testes de PCR e podem transmitir a infecção aos camarões.

O diagnóstico de EHP pode ser realizado por diferentes métodos laboratoriais. A microscopia de luz permite a visualização dos esporos em amostras de tecido hepatopancreático. Além disso, exames histopatológicos podem revelar lesões características e estágios do ciclo de vida do EHP e em graus muito abaixo da sensitividade de muitos métodos moleculares ou que foram amostrados inadequadamente. Métodos moleculares, como PCR convencional e PCR em tempo real, são altamente sensíveis e específicos para a detecção do EHP (Tourtip et al., 2009; Tang et al., 2015). Outras técnicas avançadas, como PCR em nested, LAMP, qPCR e RPA, também estão disponíveis (Jaroenlak et al., 2016; Liu et al., 2016; Zhou et al., 2020). A hibridização in situ (ISH) é outra ferramenta diagnóstica que pode ser utilizada para detectar a presença do parasita em tecidos infectados.

Estudos recentes demonstram que a infecção por EHP pode modular o microbiodo hepatopânma creas, causando disbiose (López-Carvallo, Cruz-Flores e Dhar, 2022). A composição microbiana varia conforme o estágio da infecção, considerando que quanto menor a diversidade fúngica, maior a tendência de a diversidade bacteriana aumentar. Essa transição inversa afeta a absorção de nutrientes e pode contribuir para infecções secundárias.

Para prevenir a disseminação do EHP, medidas de biossegurança devem ser adotadas, incluindo a exclusão de alimentos vivos do cultivo de camarões ou testados como livres de patógenos específicos. Artemias, poliquetas, moluscos e outros animais vivos não devem ser utilizados como alimento para reprodutores. Sempre que possível, alimentos vivos devem ser congelados ou secos antes do uso, já que baixíssimas temperaturas tornam o EHP inviável. Além disso, a detecção precoce por métodos moleculares juntamente com a histopatologia é essencial para assegurar um diagnóstico

Estudos recentes demonstram que a infecção por EHP pode modular o microbioma do hepatopâncreas, causando disbiose. A composição microbiana varia conforme o estágio da infecção, considerando que quanto menor a diversidade fúngica, maior a tendência de a diversidade bacteriana aumentar, Essa transição inversa afeta a absorção de nutrientes e pode contribuir para infecções secundárias.

eficaz, permitindo o controle da infecção e a redução dos impactos econômicos.

5. Diagnóstico, prevenção e controle

Os métodos considerados como "padrão-ouro" para a detecção de todos os patógenos virais na maioria dos estágios de vida do camarão são baseados em PCR (PCR, nested-PCR, RT-PCR, nested RT-PCR, qPCR e RT-qPCR) (OMSA, 2019, 2018, 2017, 2009a,

2007a). A histopatologia e os ensaios baseados em anticorpos, sequenciamento e hibridização in situ oferecem boa capacidade de detecção na maioria dos casos, mas são limitados pelo tempo necessário para o diagnóstico. No entanto, esses testes, quando combinados com um método baseado em PCR, fornecem um diagnóstico confirmatório. Além disso, uma nova geração de técnicas de diagnóstico tem sido proposta recentemente, aproveitando o sistema CRISPR/Cas para detectar ácidos nucleicos virais (Chaijarasphong et al., 2019; Sullivan et al., 2019). Essas técnicas, quando combinadas com um ensaio colorimétrico de fluxo lateral, proporcionam um diagnóstico de próxima geração totalmente aplicável em campo (Sullivan et al., 2019). Adicionalmente, dispositivos de detecção à beira do tanque, como o Gene Drive, já estão sob avaliação na Tailândia. Esse tipo de dispositivo pode oferecer aos produtores a oportunidade de tomar decisões de manejo em tempo real, sem a necessidade de depender de resultados demorados de um laboratório de diagnóstico distante (Flegel, 2019; Minardi et al., 2019). Por fim, a análise NGS (sequenciamento de nova geração, na sigla em inglês) à beira do tanque pode ser possível, em um futuro próximo, com o uso de tecnologias como o MinION da Oxford Nanopore, que poderia permitir aos produtores detectar simultaneamente múltiplos patógenos e até mesmo identificar novos patógenos atualmente desconhecidos.

Em geral, a microscopia eletrônica ainda é utilizada como a primeira técnica para a detecção de vírus (Dey et al., 2019). No entanto, recentemente, com o advento das tecnologias de NGS, uma abordagem genômica tem sido cada vez mais empregada para caracterizar geneticamente um vírus antes de realizar a caracterização ultraestrutural. Essa abordagem foi recentemente utilizada por Dong et al. (2020) para caracterizar um novo vírus semelhante ao Hepe em Macrobrachium rosenbergii cultivado. Cruz-Flores et al. (2020) propuseram o uso de NGS com ácidos nucleicos

extraídos diretamente de seções de tecido fixadas em parafina e processadas (Davidson's). Essas abordagens genômicas acelerarão a caracterização genética do patógeno, reduzindo, assim, o tempo necessário para desenvolver ferramentas de diagnóstico molecular que podem ser empregadas para rastrear crustáceos e limitar a disseminação de patógenos emergentes.

Reconhecendo a necessidade de construir sistemas de animais aquáticos mais saudáveis e sustentáveis, a Organização Mundial de Saúde Animal (OMSA), anteriormente conhecida por OIE, durante a sua 88ª Sessão Geral, lançou a primeira estratégia para promover a saúde e a sustentabilidade na aquicultura. Mais recentemente, em março de 2022, uma força-tarefa integrada pela Organização das Nações Unidas para Agricultura e Alimentação (FAO), pelo Programa das Nações Unidas para o Meio Ambiente (PNUMA), pela Organização Mundial de Saúde Animal e pela Organização Mundial de Saúde, assinou um plano de ação denominado, em inglês, de "The One Health Joint Plan of Action (2022–2026)", para mitigar o atual impacto negativo e os futuros desafios relacionados à saúde de humanos, animais, plantas e do ambiente.

A OMSA delineia técnicas de diagnóstico para doenças listadas por tal agência e para doenças emergentes, fornecendo diretrizes para laboratórios de saúde de animais aquáticos em todo o mundo, aprimorando a eficiência e avançando a saúde global dos animais aquáticos. A adoção desses métodos, juntamente com a conformidade com normas internacionais acreditadas, como a ABNT NBR ISO/IEC 17025:2017, garante a precisão e a confiabilidade dos diagnósticos (OMSA, 2024).

Mundialmente, já está bem estabele-

cido que, para prevenir, prever, detectar, responder e superar os obstáculos de emergência e reemergência de patógenos na carcinicultura e, assim, potencializar a lucratividade e a sustentabilidade na cadeia produtiva, é essencial

que o produtor utilize laboratórios de diagnósticos de enfermidades de crustáceos que tenham implantado o SGQ ABNT NBR ISO/IEC 17.025:2017 (Sistema de Gestão de Qualidade de acordo com a norma técnica internacional que define os pilares de competência laboratorial) para detecção das doenças de crustáceos listadas pela OMSA, além de outras enfermidades de importância para o setor.

Como recomendado pela OMSA, os resultados de laboratórios de diagnósticos acreditados devem promover premissas muito importantes para tomadas de decisões no cultivo, já que competência, imparcialidade e confiabilidade na reprodutibilidade dos resultados das análises são garantidas pelo rigoroso controle no fluxo do processo dessas análises. Os laboratórios possuem equipamentos que são periodicamente calibrados e recebem o selo de certificação do Registro Brasileiro de Calibração (RBC), desempenho satisfatório em testes internacionais de proficiência laboratorial, aprovação em

> cálculos metrológicos de precisão e redução das incertezas, testes de precisão intermediária, entre outros critérios para atender as exigências das instituições que regulam os laboratórios

dessa natureza.

A prevenção de surtos de doenças via monitoramento de reprodutores e pós-larvas é essencial para identificar e evitar futura disseminação de doenças. O diagnóstico molecular (i.e. ensaio baseado em PCR) é usado para testar um agente patogênico específico e não uma avaliação geral de saúde do camarão, como é feito por histopatologia. Portanto, a avaliação geral da saúde do camarão via histopatologia deve ser conduzida rotineiramente em paralelo à amostragem e avaliação passiva/ativa, por meio de métodos de diagnóstico molecular. Se existe suspeita de uma nova doença durante a avaliação geral da saúde do camarão por meio da histopatologia, análises moleculares

A prevenção de

surtos de doenças via

monitoramento de

reprodutores e pós-

larvas é essencial para

identificar e evitar

futura disseminação de

doenças.

devem ser realizadas para suplementar essas observações. Esse protocolo possibilita identificar rapidamente um patógeno emergente, ou mesmo um novo genótipo de um patógeno existente (Andrade, T. P.D., 2023; Dhar, A. K. e Pantoja-Morales, C. R., 2024). Exemplos de doenças de camarões marinhos peneídeos que são rotineiramente diagnosticadas em diferentes países podem ser vistas na Tabela 3 e na Figura 11. Considerando que se trata de uma longa lista e que pode ser dispendioso analisar todas as doenças listadas, cabe aos produtores priorizar as que são

mais relevantes para seu tipo de operação (desenvolvimento de reprodutores, produção de pós-larvas, fazendas de engorda, etc.).

O manejo de doenças virais na aquicultura de crustáceos é complexo devido ao grande número de variáveis que influenciam o desfecho da doença. Embora as melhores práticas de manejo possam reduzir a possibilidade de um surto viral, o risco sempre estará presente. Estratégias de biosseguridade, como o estocamento de viveiros com animais de linhagens SPF/SPR, a quarentena de reprodutores exóticos antes de sua in-

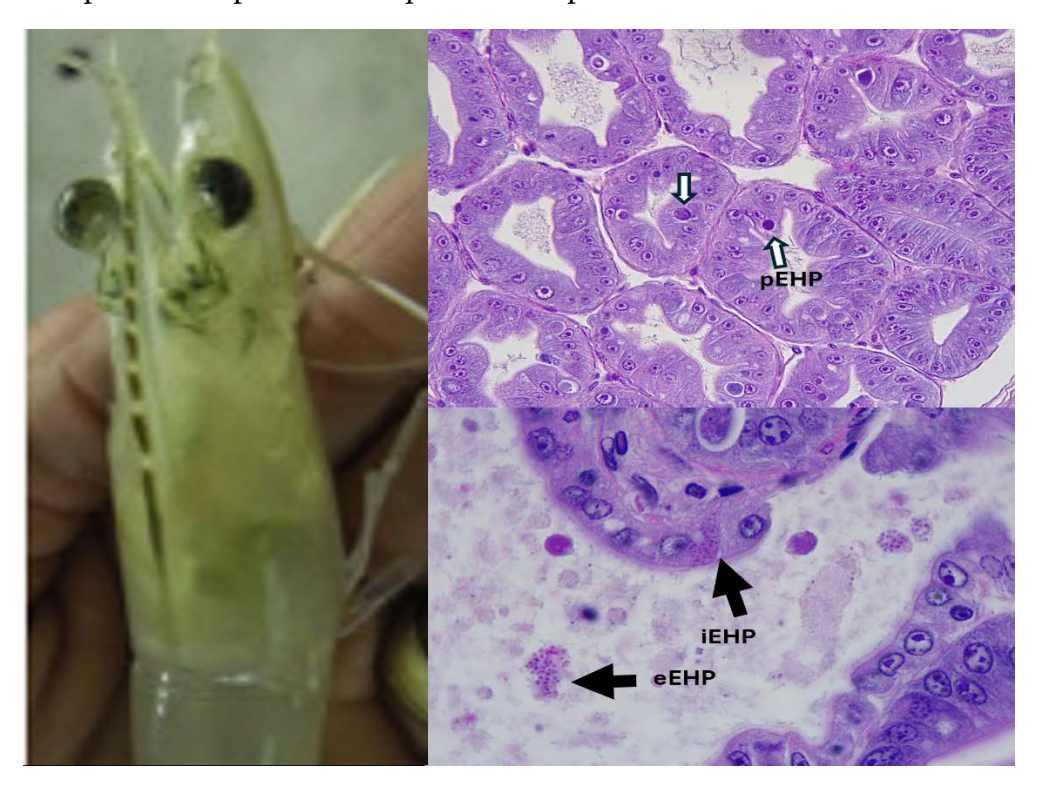


Figura 11. Moribundo de *Penaeus vannamei* com microsporidiose hepatopancreática (MHP) causada por *Enterocytozoon hepatopenaei penaei* (EHP) apresentando o hepatopâncreas pálido. Nas seções histopatológicas, observa-se a presença de *Plasmodium* (imaturo e maduro -pEHP) e esporos internos (iEHP) e externos (eEHP) (ver Tabela 3) (Fonte: Cruz-Flores, R. *et al.*, 2019 e Dhar, A.K.).

Tabela 3 – Principais doenças de camarões marinhos peneídeos para as quais existem procedimentos de operação de PCR/RT-PCR validados e disponíveis no LAQUA-UEMA e APL-UAZ

DOENÇA	SIGLA	
Necrose hepatopancreática aguda¹	VpAHPND	Vibrio parahaemolyticus PirA e PirB ^{2e3}
Microsporidiose hepatopancreática	ЕНР	Enterocytozoon hepatopenaei ^{2(emergente)}
Mancha branca	WSSV	Vírus da síndrome da mancha branca
Mionecrose infecciosa	IMNV	Vírus da mionecrose infecciosa ^{2 e 3}
Necrose hematopoiética e infecção hipodermal/Síndrome da deformidade rostral	IHHNV	Decapoda penstylhamaparvovirus 1 ^{2 e 3}
Síndrome de Taura	TSV	Vírus da síndrome de Taura ^{2 e 3}
Cabeça amarela	YHV 1	Vírus da cabeça amarela genótipo-1 ^{2 e 3}
Cauda branca	MrNV	Macrobrachium rosenbergii nodavirus
Bactéria da hepatopancreatite necrosante	NHP-B	Hepatobacter penaei ^{2 e 3}
Baculovirose	PvSPNV ⁴	Baculovirus penaei ³
Baculovirose no monodon	MBV	Monodon baculovírus ³
Síndrome do crescimento redardado no Monodon	LSNV	Vírus Laem-Singh
Parvovirose hepatopancreática	HPV	Decapod hepanhama parvovirus (parvovírus hepatopancreático) ³
Mortalidade encoberta	CMNV	Nodavírus da mortalidade encoberta ²
Cauda branca	PvNV	Penaeus vannamei nodavírus
-	MoV	Vírus Mourilyan ³
Cabeça branca	DIV1	Vírus iridescente dos decápodes tipo-1
Cabeça leitosa e hepatopâncreas esverdeado	PvSV	Penaeus vannamei solinvivírus ⁵
Doença da pós-larva transparente	VpTPD	Vibrio parahaemolyticus VHVP-²
Associado à cauda branca	XSV	Vírus extra pequeno

¹Anteriormente conhecido como EMS.

²Notificação obrigatória OMSA.

³Notificação obrigatória Mapa (Portaria MPA nº 19/2015/ Art. 93, §3º da IN nº 4/2015).

⁴Anteriormente conhecido como BP.

⁵Vírus em estudo, já tendo sido detectado em oito estados no Brasil e em cultivos na China e na Tailândia, assim como relatos confirmados em amostras da Indonésia, do Equador e do México.

trodução em programas de reprodução, a exclusão de vetores e organismos portadores, o uso de estufas e a desinfecção no início do ciclo de produção, têm se mostrado eficazes na redução da probabilidade de surtos virais (Figura 12). Novas abordagens, como a policultura de camarões e a tecnologia de bioflocos, têm sido relatadas não apenas como fontes de alimento, mas também como estimuladores imunológicos que oferecem certo nível de proteção em caso de surtos virais (Bunting, 2005; Dey et al., 2019). No entanto, ainda existe uma lacuna entre a pesquisa laboratorial e o desenvolvimento de produtos que garantam um desempenho consistente e sejam comercialmente viáveis.

O desenvolvimento de terapias

contra doenças virais em camarões é uma área na qual avanços significativos foram alcançados, embora ainda não haja opções disponíveis para aplicações comerciais. Até o momento, diversas abordagens demonstraram eficácia em ambientes laboratoriais, incluindo: vacinação (revisado por Flegel, 2019), uso de peptídeos antimicrobianos derivados do hospedeiro, aplicação de imunoestimulantes como aditivos na alimentação (revisado por Dey et al., 2019), RNAi (revisado por Dey et al., 2019; Flegel, 2019), probióticos (revisado por Wang et al., 2019) e seleção ou indução de elementos virais endógenos (EVE) para conferir tolerância hereditária aos camarões (revisado por Flegel, 2019). Pesquisas futuras e desenvolvimento

Diferentes metodologias de diagnósticos

Patologia e genética aplicada ao manejo de reprodutores

Internativos de la completa del la completa de la completa del la completa de la completa de la completa de la completa de la completa del la completa de

Bioensaios para desenvolvimento de produtos

Treinamentos e palestras

Figura 12. Exemplos de metodologias de diagnósticos e prevenção empregadas no setor.

nessas áreas, com foco na criação de terapias para aplicações em larga escala, poderão redefinir completamente o manejo de doenças na aquicultura de camarões.

O sucesso futuro da carcinicultura dependerá da criação de camarões geneticamente superiores para cresci-

mento e/ou resistência a doenças em instalações de produção com biosseguridade. Embora tenham sido feitos grandes avanços no desenvolvimento de estoques SPF e na implementação de protocolos de biossegurança para evitar doenças nas fazendas, o sucesso no desenvolvimento de linhagens SPR contra a maioria das doenças virais tem sido limitado (Wyban, 2019). Até o momento, a seleção para resistência a doenças tem sido mais bem-sucedida contra a síndrome de Taura. Devido à disponibilidade de linhagens resistentes a essa doença para reprodução comercial, a sua ameaça foi amplamente eliminada nas regiões produtoras de camarão em todo o mundo (Moss et al., 2012). Em contraste, houve pouco progresso no desenvolvimento de linhagens resistentes à síndrome da mancha branca (WSD), a doença microbiana mais impactante para os crustáceos. Estudos laboratoriais de desafio identificaram linhagens selecionadas de Penaeus van-

O sucesso futuro da carcinicultura dependera da criação de camarões geneticamente superiores para crescimento e/ou resistência a doenças em instalações de produçãoo com biosseguridade.

namei do Panamá com resistência significativa às infecções por WSSV (Cuéllar-Anjel et al., 2012) e marcadores microssatélites associados à suscetibilidade/resistência ao WSSV foram relatados (Chakroborty et al., 2015). A baixa herdabilidade (h²) e as correlações genéticas

negativas entre o peso corporal e a resistência ao WSSV em *P. vannamei* (Trang *et al.*, 2019) representam desafios para o desenvolvimento de linhagens resistentes ao WSSV. No entanto, a seleção de precisão, também conhecida como edição genômica, pode acelerar o desenvolvimento de linhagens resistentes ao WSSV no futuro próximo. Uma linhagem de *Penaeus vannamei* com tolerância à AHPND foi recentemente relatada, mas, até o momento (2022), não há linhagens geneticamente melhoradas disponíveis comercialmente (Aranguren *et al.*, 2020).

6. Dedicação

Este trabalho é dedicado em memória ao Prof. PhD. Donald V. Lightner.

O Dr. Donald V. Lightner foi um renomado patologista de organismos aquáticos e professor da Universidade do Arizona, sendo uma das maiores autoridades mundiais em doenças de camarões. Seu trabalho foi fundamental

para a identificação e caracterização de diversas enfermidades virais e bacterianas que afetam a aquicultura, incluindo a síndrome da necrose hepatopancreática aguda (AHPNS/EMS), a síndrome da mancha branca (WSD) e o vírus da mionecrose infecciosa (IMNV).

Lightner liderou pesquisas pioneiras no desenvolvimento de métodos de diagnóstico para essas doenças, incluindo técnicas de histopatologia, PCR e bioensaios experimentais. Seu laboratório no Aquaculture Pathology Laboratory da Universidade do Arizona tornou-se referência mundial para testes e certificação sanitária de camarões cultivados.

Seu trabalho teve um impacto significativo na indústria aquícola global, ajudando a mitigar surtos de doenças e a melhorar práticas de biossegurança em fazendas de cultivo de camarão.

7. Referências

- Aldana Aranda, D., Frenkiel, L., Brulé, T., Montero, J., and Baqueiro Cárdenas, E., 2011. Occurrence of Apicomplexa-like structures in the digestive gland of Strombus gigas throughout the Caribbean. Journal of Invertebrate Pathology, 106 (2), 174–178.
- Anderson, I.G., Shariff, M., Nash, G., 1989.
 A hepatopancreatic microsporidian parasite in pond-reared tiger shrimp, Penaeus mondon, from Malaysia. *Journal of Invertebrate Pathology*, 53, 278–280. https://doi.org/10.1016/0022-2011(89)90020-7.
- Andrade, T. P. Development and application of novel quantitative and qualitative molecular techniques for detection of infectious myonecrosis virus (IMNV) in Pacific white shrimp Litopenaeus vannamei. 2009. Tese (Doutorado em Patobiologia) – University of Arizona, Tucson, 2009.

- Andrade, T. P. D., Srisuvan, T., T., Tang, K., Lightner, D. V. Real-time reverse transcription polymerase chain reaction assay using TaqMan probe for detection and quantification of infectious myonecrosis virus (IMNV). Aquaculture. 264, 9-15, 2007.
- Andrade, T. P., Cruz-Flores, R., Mai, H. N., & Dhar, A. K. (2022). Novel infectious Myonecrosis virus (IMNV) variant is associated with recent disease outbreaks in *Penaeus vannamei* shrimp in Brazil. Aquaculture, 554, 738159.
- Andrade, T. P. D. (2023) O papel dos laboratórios credenciados: a necessidade de um olhar atento sobre as doenças emergentes que afetam a carcinicultura marinha no Brasil. Revista Panorama da Aquicultura, Laranjeiras/RJ, p. 42 - 47, 14 nov. 2023.
- 10. Aranguren Caro L.F, Mai H.N., Kanrar S., Cruz-Flores R. & Dhar A.K. (2020a). A mutant of Vibrio parahaemolyticus pirABVP (+) that carries binary toxin genes but does not cause acute hepatopancreatic necrosis disease. *Microorganisms*, 8, 1549.
- Aranguren Caro L.F., Mai H.N., Noble B. & Dhar A.K. (2020b). Acute hepatopancreatic necrosis disease (VPAHPND), a chronic disease in shrimp (Penaeus vannamei) population raised in latin America. *J. Invertebr. Pathol.*, 174, 107424. doi: 10.1016/j.jip.2020.107424. Epub 2020 Jun 11.PMID: 32535000
- 12. Aranguren Caro, L. F., Alghamdi, F., De Belder, K., Lin, J., Mai, H. N., Millabas, J., Alrehaili, Y., Alazwari, A., Algetham, S., & Dhar, A. K. (2021). The effect of salinity on Enterocytozoon hepatopenaei infection in Penaeus vannamei under experimental conditions. BMC Veterinary Research, 17(1), 65.
- Aranguren L.F., Briñez B., Aragon L., Platz C., Caraballo X., Suarez A. & Salazar M. (2006). Necrotizing hepatopancreatitis (NHP) infected Penaeus vannamei female broodstock: effect on reproductive parameters nauplii and larvae quality. Aquaculture, 258, 337–343.
- 14. Aranguren, L.F., Han, J.E., Tang, K.F., 2017. Enterocytozoon hepatopenaei (EHP) is a risk factor for acute hepatopancreatic necrosis disease (AHPND) and septic hepatopancreatic necrosis (SHPN) in the Pacific white shrimp Penaeus vannamei. *Aquaculture*, 471, 37–42. https://doi. org/10.1016/j.aquaculture.2016.12.038.
- Aranguren, L.F., Salazar, M., Tang, K., Caraballo, X., and Lightner, D., 2013. Characterization of a

- new strain of Taura syndrome virus (TSV) from Colombian shrimp farms and the implication in the selection of TSV resistant lines. *Journal of Invertebrate Pathology*, 112 (1), 68–73.
- 16. Aranguren, Luis Fernando; MAI, Hung N.; NOBLE, Brenda; DHAR, Arun K. Acute hepatopancreatic necrosis disease (VpAHPND), a chronic disease in shrimp (*Penaeus vannamei*) population raised in Latin America. *Journal of Invertebrate Pathology*, v. 174, p. 107424, jul. 2020.
- 17. Aranguren; Tang K.F.; Lightner D.V.). Quantification of the bacterial agent of necrotizing hepatopancreatitis (NHP-B) by real-time PCR and comparison of survival and NHP load of two shrimp populations. Aquaculture, 307, 187–192. 2010.
- Arcier, J.M., Herman, F., Lightner, D. V., Redman, R.M., Mari, J., and Bonami, J.R., 1999. A viral disease associated with mortalities in hatcheryreared postlarvae of the giant freshwater prawn Macrobrachium rosenbergii. Diseases of Aquatic Organisms, 38 (3), 177–181.
- Bonami, J.R. and Sri Widada, J., 2011. Viral diseases of the giant fresh water prawn Macrobrachium rosenbergii: A review. Journal of Invertebrate Pathology, 106 (1), 131–142.
- Bonami, J.R. and Zhang, S., 2011. Viral diseases in commercially exploited crabs: A review. *Journal of Invertebrate Pathology*, 106 (1), 6–17.
- 21. Bonami, J.R., Shi, Z., Qian, D., and Widada, J.S., 2005. White tail disease of the giant freshwater prawn, *Macrobrachium rosenbergii*: Separation of the associated virions and characterization of MrNV as a new type of nodavirus. *Journal of Fish Diseases*, 28 (1), 23–31.
- Bunting, S., 2005. Low impact aquaculture. Colchester: www.essex.ac.uk/ces/esu/occ-papers.shtm, 1–22.
- Chaijarasphong T., Munkongwongsiri N., Stentiford G. D., Aldama-Cano D. J., Thansa K., Flegel T. W., et al. (2021). The Shrimp Microsporidian Enterocytozoon Hepatopenaei (EHP): Biology, Pathology, Diagnostics and Control. *Journal of Invertebrate Pathology*. 186, 107458. https://doi.org/10.1016/j. jip.2020.107458.
- 24. Chaijarasphong, T., Thammachai, T., Itsathitphaisarn, O., Sritunyalucksana, K., and Suebsing, R., 2019. Potential application of CRISPR-Cas12a fluorescence assay coupled with rapid nucleic acid amplification for detection of

- white spot syndrome virus in shrimp. *Aquaculture*, 512 (July), 734340.
- Chantanachookin, C., Boonyaratpalin, S., Kasornchandra, J., Direkbusarakom, S., Ekpanithanpong, U., Supamataya, K., Sriurairatana, S., and Flegel, T.W., 1993. Histology and ultrastructure reveal a new granulosis-like virus in *Penaeus monodon* affected by yellow-head disease. *Diseases of Aquatic Organisms*, 17 (2), 145–157.
- 26. Chen, B., Dong, Z., Pang, N., Nian, Y., and Yan, D., 2018. A novel real-time PCR approach for detection of infectious hypodermal and haematopOM-SAtic necrosis virus (IHHNV) in the freshwater crayfish Procambarus clarkii. Journal of Invertebrate Pathology.
- 27. Chen, X., Qiu, L., Wang, H., Zou, P., Dong, X., Li, F., and Huang, J., 2019. Susceptibility of *exopalaemon carinicauda* to the infection with shrimp hemocyte iridescent virus (SHIV 20141215), a strain of decapod iridescent virus 1 (DIV1). *Viruses*, 11 (4), 1–15.
- 28. Corbel, V., Zuprizal, Z., Shi, C., Huang, Sumartono, Arcier, J.M., and Bonami, J.R., 2001. Experimental infection of European crustaceans with white spot syndrome virus (WSSV). *Journal of Fish Diseases*, 24 (7), 377–382.
- Couch, J.A., 1974. An enzootic nuclear polyhedrosis virus of pink shrimp: Ultrastructure, prevalence, and enhancement. *Journal of Invertebrate Pathology*, 24 (3), 311–331.
- Cowley, J., Dimmock, C., Wongteerasupaya, C., Boonsaeng, V., Panyim, S., and Walker, P., 1999. Yellow head virus from Thailand and gill-associated virus from Australia are closely related but distinct prawn viruses. *Diseases of Aquatic Organisms*, 36, 153–157.
- 31. Cowley, J., Moody, N.J.G., Mohr, P.G., Rao, M., and Cowley, J., 2015. Aquatic Animal Health Subprogram: Viral presence, prevalence and disease management in wild populations of the Australian Black Tiger prawn (Penaeus monodon).
- Cowley, J.A. and Walker, P.J., 2002. The complete genome sequence of gill-associated virus of *Penaeus monodon* prawns indicates a gene organisation unique among nidoviruses*. *Archives of Virology*, 147 (10), 1977–1987.
- 33. Cowley, J.A., Hall, M.R., Cadogan, L.C., Spann, K.M., and Walker, P.J., 2002. Vertical transmission of gill-associated virus (GAV) in the black tiger prawn *Penaeus monodon*. *Diseases of Aquatic*

- Organisms, 50 (2), 95-104.
- Cowley, J.A., Walker, P.J., Flegel, T.W., Lightner, D.V., Bonami, J.R., Snider, E.J., and Groot, R.J., 2012. Roniviridae. *In: Virus Taxonomy*. Elsevier, 829–834.
- Cruz-Flores, R., Mai, H.N., Kanrar, S., Aranguren Caro, L.F., and Dhar, A.K., 2020. Genome reconstruction of white spot syndrome virus (WSSV) from archival Davidson's-fixed paraffin embedded shrimp (*Penaeus vannamei*) tissue. Scientific Reports, 10 (1), 13425.
- 36. Cruz-Flores, R., Mai, H. N., Noble, B. L., Schofield, P. N., & Dhar, A. K. (2019). Detection of Enterocytozoon hepatopenaei using an invasive but non-lethal sampling method in shrimp (Penaeus vannamei). Journal of Microbiological Methods, 162, 38–41.
- Dey, B.K., Dugassa, G.H., Hinzano, S.M., and Bossier, P., 2019. Causative agent, diagnosis and management of white spot disease in shrimp: A review. Reviews in Aquaculture, 1–44.
- 38. De La Pena L.D., Cabillon N.A.R., Catedral D.D., Amar E.C., Usero R.C., Monotilla W.D., Calpe A.T., Fernandez D.D. & Saloma C.P. (2015). Acute hepatopancreatic necrosis disease (AHPND) outbreaks in Penaeus vannamei and P. monodon cultured in the Philippines. *Dis. Aquat.* Org., 116, 251–254.
- 39. Dhar, A.K., Cruz-Flores, R., Caro, L.F.A., Siewiora, H.M., and Jory, D., 2019. Diversity of single-stranded DNA containing viruses in shrimp. *Virus Disease*, 30 (1), 43–57.
- 40. Dhar, A.K., Robles-Sikisaka, R., Saksmerprome, V., and Lakshman, D.K., 2014. Biology, Genome Organization, and Evolution of Parvoviruses in Marine Shrimp. *In: Advances in Virus Research*. Elsevier Inc., 85–139.
- 41. Dhar, A. K. & Pantoja-Morales, Carlos R. (24 Sep 2024): Reestablishing Histopathology as an Essential Component of Health Assessment for Farmed Shrimp in the Era of Molecular Diagnostics, Reviews in Fisheries Science & Aquaculture, 1-9.
- Dong, X., Hu, T., Liu, Q., Li, C., Sun, Y., Wang, Y., Shi, W., Zhao, Q., and Huang, J., 2020. A Novel Hepe-Like Virus from Farmed Giant Freshwater Prawn Macrobrachium rosenbergii. Viruses, 12 (3).
- 43. Durand, S., Lightner, D. V., Redman, R.M., and Bonami, J.R., 1997. Ultrastructure and morphogenesis of White Spot Syndrome Baculovirus (WSSV). Disease of Aquatic Organisms, 29 (3),

- 205-211.
- 44. Escobedo-Bonilla, C.M., Alday-Sanz, V., Wille, M., Sorgeloos, P., Pensaert, M.B., and Nauwynck, H.J., 2008. A review on the morphology, molecular characterization, morphogenesis and pathogenesis of white spot syndrome virus. *Journal of Fish Diseases*, 31 (1), 1–18.
- 45. Flegel, T.W., 2006. Detection of major penaeid shrimp viruses in Asia, a historical perspective with emphasis on Thailand. *Aquaculture*, 258 (1–4), 1–33.
- 46. Flegel, T.W., 2012. Historic emergence, impact and current status of shrimp pathogens in Asia. *Journal of Invertebrate Pathology*, 110 (2), 166–173.
- 47. Flegel, T.W., 2019. A future vision for disease control in shrimp aquaculture. *Journal of the World Aquaculture Society*, 50 (2), 249–266.
- 48. Flegel, T.W., Lightner, D. V, Lo, C.H.U.F., and Owens, L., 2008. Shrimp Disease Control: Past, Present and Future. *Diseases in Asian Aquaculture VI*, 355–378.
- 49. Frelier P. F., R. F. Sis, T. A. Bell, And D. H. Lewis. Microscopic and Ultrastructural Studies of Necrotizing Hepatopancreatitis in Pacific White Shrimp (*Penaeus vannamei*) Cultured in Texas. Vet Pathol. 29: 269-211, 1992.
- Gangnonngiw, W., Bunnontae, M., Phiwsaiya, K., Senapin, S., and Dhar, A.K., 2020. In experimental challenge with infectious clones of Macrobrachium rosenbergii nodavirus (MrNV) and extra small virus (XSV), MrNV alone can cause mortality in freshwater prawn (*Macrobrachium rosenbergii*). Virology, 540 (November 2019), 30–37.
- 51. Geetha, R., Avunje, S., Solanki, H. G., Priyadharshini, R., Vinoth, S., Anand, P. R., ... & Patil, P. K. (2022). Farm-level economic cost of Enterocytozoon hepatopenaei (EHP) to Indian Penaeus vannamei shrimp farming. *Aquaculture*, 548, 737685. ISSN 0044-8486, https://doi. org/10.1016/j.aquaculture.2021.737685.
- 52. Ghandran, A.; Priya, P. S.; Meenatchi, R.; Vaishnavi, S.; Pavithra, V.; Ajith Kumar, T. T.; Arockiaraj, J. Insights into molecular aspects of pathogenesis and disease management in acute hepatopancreatic necrosis disease (AHPND): An updated review. Fish & Shellfish Immunology, v. 142, p.
- 53. Hasson, K.W., Lightner, D. V., Poulos, B.T., Redman, R.M., White, B.L., Brock, J.A., and

- Bonami, J.R., 1995. Taura syndrome in *Penaeus vannamei*: Demonstration of a viral etiology. *Diseases of Aquatic Organisms*, 23 (2), 115–126.
- 54. Hong X.P., Xu D., Zhuo Y., Liu H.Q. & Lu L.Q. (2016). Identification and pathogenicity of Vibrio parahaemolyticus isolates and immune responses of Penaeus (Litopenaues) vannamei (Boone). *J. Fish Dis.*, 39, 1085–1097.
- 55. ICTV, 2020a. Genus: Decapodiridovirus [online]. International Committee on Taxonomy of Viruses. Available from: https://talk.ictvonline. org/ictv-reports/ictv_online_report/dsdna--viruses/w/iridoviridae/1301/genus-decapodiri dovirus#:~:text=Biology,appeared major targets for infection. [Accessed 10 Sep 2020].
- 56. ICTV, 2020b. Totiviridae Family: Totiviridae Virion properties Morphology [online]. Family: Totiviridae. Available from: https://talk.ictvonline.org/ictv-reports/ictv_9th_report/dsrna-viruses-2011/w/dsrna_viruses/191/totiviridae.
- 57. Jagadeesan, V., Praveena, P.E., Otta, S.K., and Jithendran, K.P., 2019. Classical Runt Deformity Syndrome Cases in Farmed *Penaeus vannamei* Along the East Coast of India. *Journal of Coastal Research*, 86 (sp1), 107.
- 58. Jariyapong, P., Pudgerd, A., Weerachatyanukul, W., and Hirono, I., 2018. Construction of an infectious Macrobrachium rosenbergii nodavirus from cDNA clones in Sf9 cells and improved recovery of viral RNA with AZT treatment. Aquaculture, 483 (September 2017), 111–119.
- 59. Kalagayan, H., Godin, D., Kanna, R., Hagino, G., Sweeney, J., Wyban, J., and Brock, J., 1991. IHHN Virus as an Etiological Factor in Runt-Deformity Syndrome (RDS) of Juvenile Penaeus vannamei Cultured in Hawaii. Journal of the World Aquaculture Society, 22 (4), 235–243.
- Lightner D.V. (1996). A handbook of pathology and diagnostic procedures for diseases of penaeid shrimp. World Aquaculture Society, Baton Rouge, LA, USA.
- 61. Lightner D.V. et al. Historic emergence, impact and current status of shrimp pathogens in the Americas. *Journal of Invertebrate Pathology* 110 (2012) 174–183, 2012.
- 62. Lightner D.V.; Redman R. M. An epizootic of necrotizing hepatocreantitis in cultured penaeid shrimp (Crustacea: Decapoda) in northwestern Peru. Aquacuture 122, 8-18. Diseases of Aquatic Organisms. v. 67: 163–169. 1994.

- 63. Lightner, D. V, Redman, R.M., Bell, T.., and Brock, J.., 1983. Detection of IHHN virus in *Penaeus stylirostris* and *P. vannamei* imported into Hawaii. *Journal of World Mariculture Society*, 225 (14), 212–225.
- 64. Lightner, D.V., Pantoja, C.R., Poulos, B.T., Tang, K.F.J., Redman, R.M., Pasos-de-Andrade, T., & Bonami, J.R. (2004). Infectious myonecrosis: New disease in Pacific white shrimp. Global Seafood Alliance. Recuperado de https://www.globalseafood.org/advocate/infectious-myonecrosis-new-disease-in-pacific-white-shrimp/
- 65. Lightner, D.V., Redman, R.M., and Bell, T.A., 1983. Observations on the geographic distribution, pathogenesis and morphology of the baculovirus from *Penaeus monodon* Fabricius. *Aquaculture*, 32 (3–4), 209–233.
- 66. Lightner, D.V., Redman, R.M., Pantoja, C.R., Tang, K.F.J., Noble, B.L., Schofield, P., Mohney, L.L., Nunan, L.M., and Navarro, S.A., 2012. Historic emergence, impact and current status of shrimp pathogens in the Americas. *Journal of Invertebrate Pathology*, 110 (2), 174–183.
- 67. Liu, S., Wang, X., Xu, T.T., Li, X., Du, L., and Zhang, Q., 2018. Vectors and reservoir hosts of covert mortality nodavirus (CMNV) in shrimp ponds. *Journal of Invertebrate Pathology*, 154 (September 2017), 29–36.
- 68. Lo C.-F., Leu J.-H., Ho C.-H., Chen C.-H., Peng S.-E., Chen Y.-T., Chou C.-M., Yeh P.-Y., Huang C.-J., Chou H.-Y., Wang C.-H. & Kou G.-H. (1996). Detection of baculovirus associated with white spot syndrome (WSBV) in penaeid shrimps using polymerase chain reaction. *Dis. Aquat. Org.*, 25, 133–141.
- 69. Lo, C.F., Ho, C.H., Peng, S.E., Chen, C.H., Hsu, H.C., Chiu, Y.L., Chang, C.F., Liu, K.F., Su, M. Sen, Wang, C.H., and Kou, G.H., 1996. White spot syndrome baculovirus (WSBV) detected in cultured and captured shrimp, crabs and other arthropods. *Disease of Aquatic Organisms*, 27 (3), 215–225.
- 70. López-Carvallo, J. A., Cruz-Flores, R., & Dhar, A. K. (2022). The emerging pathogen Enterocytozoon hepatopenaei drives a degenerative cyclic pattern in the hepatopancreas microbiome of the shrimp (Penaeus vannamei). Scientific Reports, 12, 14766.
- Mai, H.N., Hanggono, B., Caro, L.F.A., Komaruddin, U., Nur'aini, Y.L., and Dhar, A.K., 2019. Novel infectious myonecrosis vi-

- rus (IMNV) genotypes associated with disease outbreaks on *Penaeus vannamei* shrimp farms in Indonesia. *Archives of Virology*, 164 (12), 3051–3057.
- 72. Mari, J., Bonami, J., Poulos, B., and Lightner, D., 1993. Preliminary characterization and partial cloning of the genome of a baculovirus from *Penaeus monodon* (PmSNPV = MBV). *Disease of Aquatic Organisms*, 16, 207–215.
- 73. Minardi, D., Bateman, K.S., Kuzdzal, A., Stone, M., Avant, J., Condliffe, R., Brotherton, P., Laverick, M., Sritunyalucksana, K., Itsathitphaisarn, O., Baoprasertkul, P., and Stentiford, G.D., 2019. Testing of a pond-side molecular diagnostic tool for the detection of white spot syndrome virus in shrimp aquaculture. Journal of the World Aquaculture Society, 50 (1), 18–33.
- 74. Moss, J., Butler, M.J., Behringer, D.C., and Shields, J.D., 2011. Genetic diversity of the Caribbean spiny lobster virus, Panulirus argus virus 1 (PaV1), and the discovery of PaV1 in lobster postlarvae. Aquatic Biology, 14 (3), 223–232.
- 75. Moss, S.M., Moss, D.R., Arce, S.M., Lightner, D. V, and Lotz, J.M., 2012. The role of selective breeding and biosecurity in the prevention of disease in penaeid shrimp aquaculture. *Journal of Invertebrate Pathology*, 110 (2), 247–250.
- Munro, J. and Owens, L., 2007. Yellow head-like viruses affecting the penaeid aquaculture industry. Aquaculture Research, 38 (9), 893–908.
- 77. NACA (2014). Acute hepatopancreatic necrosis disease card (updated June 2014). Published by the Network of Aquaculture Centres in Asia-Pacific, Bangkok, Thailand.
- Nunan L., Lightner D., Pantoja C. & Gomez-Jimenez S. (2014). Detection of acute hepatopancreatic necrosis disease (AHPND) in Mexico. *Dis. Aquat. Org.*, 111, 81–86.
- Oakey, H.J. and Smith, C.S., 2018. Complete genome sequence of a white spot syndrome virus associated with a disease incursion in Australia. Aquaculture, 484 (November 2017), 152–159.
- 80. Oakey, J., Smith, C., Underwood, D., Afsharnasab, M., Alday-Sanz, V., Dhar, A., Sivakumar, S., Sahul Hameed, A.S., Beattie, K., and Crook, A., 2019. Global distribution of white spot syndrome virus genotypes determined using a novel genotyping assay. Archives of Virology, 164 (8), 2061–2082.
- 81. Oidtmann, B. and Stentiford, G.D., 2011. White Spot Syndrome Virus (WSSV) concentrations in crustacean tissues - a review of data relevant

- to assess the risk associated with commodity trade. *Transboundary and Emerging Diseases*, 58 (6), 469–482.
- 82. OMSA, 2007a. Hepatopancreatic parvovirus disease. *OMSA Aquatic Animal Disease cards*, (2007), 1-4.
- 83. OMSA, 2007b. Mourilyan virus. *OMSA Aquatic Animal Disease Cards*, 4–5.
- 84. OMSA, 2009a. Yellow Head Disease. *In: Manual of Diagnostic Tests for Aquatic Animals*. Paris, France: OMSA, 20–23.
- 85. OMSA, 2009b. Infectious myonecrosis. *In: Manual of Diagnostic Tests for Aquatic Animals.* Paris, France, 138–147.
- 86. OMSA, 2017. Infection with Infectious Hypodermal and Haematopoetic Necrosis Virus. *In: Manual of Diagnostic Tests for Aquatic Animals*. Paris, France: OFFICE INTERNATIONAL DES EPIZOOTIES, 1–18.
- 87. OMSA, 2018. INFECTION WITH TAURA SYNDROME VIRUS. *In: Manual of Diagnostic Tests for Aquatic Animals*. Paris, France: OFFICE INTERNATIONAL DES EPIZOOTIES, 1–18.
- 88. OMSA, 2019. Infection with white spot syndrome virus. *In*: O.I. DES EPIZOOTIES, ed. *Manual of Diagnostic Tests for Aquatic Animals*. Paris, France, 1–16.
- 89. OMSA, 2022. Infection with Enterocytozoon hepatopenaei, updated on 18/09/2022.
- 90. OMSA, 2023. Acute hepatopancreatic necrosis disease. Manual of Diagnostic Tests for Aquatic Animals, eleventh edition 2024, edição online. Paris, France.
- OMSA, 2023. Infection with Hepatobacter penaei (Necrotizing hepatopancreatitis). Manual of Diagnostic Tests for Aquatic Animals, eleventh edition 2024, edição online. Paris, France.
- OMSA, 2023. Report of the Meeting of the WOAH Aquatic Animal Health Standards Commission / September 2023.
- 93. Poulos, B.T., Tang, K.F.J., Pantoja, C.R., Bonami, J.R., and Lightner, D. V., 2006. Purification and characterization of infectious myonecrosis virus of penaeid shrimp. *Journal of General Virology*, 87 (4), 987–996.
- 94. Qian, D., Shi, Z., Zhang, S., Cao, Z., Liu, W., Li, L., Xie, Y., Cambournac, I., and Bonami, J.R., 2003. Extra small virus-like particles (XSV) and nodavirus associated with whitish muscle disease in the giant freshwater prawn, *Macrobrachium rosenber*-

- gii. Journal of Fish Diseases, 26 (9), 521-527.
- 95. Qiu, L., Chen, M., Wan, X., Li, C., and Zhang, Q., 2017. Characterization of a new member of Iridoviridae, Shrimp hemocyte iridescent virus (SHIV), found in white leg shrimp (*Litopenaeus vannamei*). Scientific Reports, (April), 1–13.
- 96. Qiu, L., Chen, M.M., Wan, X.Y., Zhang, Q.L., Li, C., Dong, X., Yang, B., and Huang, J., 2018. Detection and quantification of shrimp hemocyte iridescent virus by TaqMan probe based real-time PCR. Journal of Invertebrate Pathology, 154 (106), 95–101.
- 97. Qiu, L., Chen, M.M., Wang, R.Y., Yuan, X., Chen, W., Qing, L., Zhang, L., and Dong, X., 2018. Complete genome sequence of shrimp hemocyte iridescent virus (SHIV) isolated from white leg shrimp, Litopenaeus vannamei. Archives of Virology, 163 (3), 781–785.
- 98. Qiu, L., Chen, X., Guo, X.-M., Gao, W., Zhao, R.-H., Zhang, Q.-L., Yang, B., and Huang, J., 2020. A TaqMan probe based real-time PCR for the detection of Decapod iridescent virus 1. *Journal* of *Invertebrate Pathology*, 173 (December 2019), 107367.
- Qiu, L., Chen, X., Zhao, R., Li, C., Gao, W., Zhang, Q., and Huang, J., 2019. Description of a Natural Infection with Decapod Iridescent Virus 1 in Farmed Giant Freshwater Prawn, Macrobrachium rosenbergii. Viruses, 11 (4), 354.
- 100. Rajan, P.R., Ramasamy, P., Purushothaman, V., and Brennan, G.P., 2000. White spot baculovirus syndrome in the Indian shrimp *Penaeus monodon* and *P. indicus. Aquaculture*, 184 (1–2), 31–44.
- 101. Ravi, M., Nazeer Basha, A., Sarathi, M., Rosa Idalia, H.H., Sri Widada, J., Bonami, J.R., and Sahul Hameed, A.S., 2009. Studies on the occurrence of white tail disease (WTD) caused by MrNV and XSV in hatchery-reared post-larvae of *Penaeus indicus* and *P. monodon. Aquaculture*, 292 (1–2), 117–120.
- 102. Sánchez-Paz, A., 2010. White spot syndrome virus: An overview on an emergent concern. *Veterinary Research*, 41 (6).
- 103. Sellars, M.J., Cowley, J.A., Musson, D., Rao, M., Menzies, M.L., Coman, G.J., and Murphy, B.S., 2019. Reduced growth performance of Black Tiger shrimp (*Penaeus monodon*) infected with infectious hypodermal and hematopOMSAtic necrosis virus. *Aquaculture*, 499, 160–166.
- 104. Senapin, S., Jaengsanong, C., Phiwsaiya, K.,

- Prasertsri, S., Laisutisan, K., Chuchird, N., Limsuwan, C., and Flegel, T.W., 2012. Infections of MrNV (Macrobrachium rosenbergii nodavirus) in cultivated whiteleg shrimp *Penaeus vannamei* in Asia. *Aquaculture*, 338–341, 41–46.
- 105. Shinn, A.P., Pratoomyot, J., Griffiths, D., Trong, T.Q., Vu, N.T., Jiravanichpaisal, P., and Briggs, M., 2018. Asian shrimp production and the economic costs of disease. *Asian Fisheries Science*, 31 (Special Acute Hepatopancreatic Necrosis Disease (AHPND)), 29–58.
- 106. Soto-Rodriguez, S. A., Gomez-Gil, B., Lozano-Olvera, R., Betancourt-Lozano, M., & Morales-Covarrubias, M. S. (2015). Field and experimental evidence of Vibrio parahaemolyticus as the causative agent of acute hepatopancreatic necrosis disease of cultured shrimp (Litopenaeus vannamei) in Northwestern Mexico. Applied and environmental microbiology, 81(5), 1689-1699.
- 107. Stentiford, G.D., Bonami, J.R., and Alday-Sanz, V., 2009. A critical review of susceptibility of crustaceans to Taura syndrome, Yellowhead disease and White Spot Disease and implications of inclusion of these diseases in European legislation. Aquaculture, 291 (1–2), 1–17.
- 108. Stentiford, G.D., Neil, D.M., Peeler, E.J., Shields, J.D., Small, H.J., Flegel, T.W., Vlak, J.M., Jones, B., Morado, F., Moss, S., Lotz, J., Bartholomay, L., Behringer, D.C., Hauton, C., and Lightner, D. V, 2012. Disease will limit future food supply from the global crustacean fishery and aquaculture sectors. *Journal of Invertebrate Pathology*, 110 (2), 141–157.
- 109. Sudhakaran, R., Syed Musthaq, S., Haribabu, P., Mukherjee, S.C., Gopal, C., and Sahul Hameed, A.S., 2006. Experimental transmission of Macrobrachium rosenbergii nodavirus (MrNV) and extra small virus (XSV) in three species of marine shrimp (Penaeus indicus, Penaeus japonicus and Penaeus monodon). Aquaculture, 257 (1–4), 136–141.
- 110. Sullivan, T.J., Dhar, A.K., Cruz-Flores, R., and Bodnar, A.G., 2019. Rapid, CRISPR-Based, Field-Deployable Detection Of White Spot Syndrome Virus In Shrimp. Scientific Reports, 9 (1), 1–7.
- 111. Tang, K.F.J., Navarro, S.A., Pantoja, C.R., Aranguren, F.L., and Lightner, D. V., 2012. New genotypes of white spot syndrome virus (WSSV) and Taura syndrome virus (TSV) from the Kingdom of Saudi Arabia. Diseases of

- Aquatic Organisms, 99 (3), 179-185.
- 112. Tang, K.F.J., Pantoja, C.R., Redman, R.M., and Lightner, D. V., 2007. Development of *in situ* hybridization and RT-PCR assay for the detection of a nodavirus (PvNV) that causes muscle necrosis in *Penaeus vannamei*. *Diseases of Aquatic Organisms*, 75 (3), 183–190.
- 113. Tang, K.F.J., Pantoja, C.R., Redman, R.M., Navarro, S.A., and Lightner, D. V., 2011. Ultrastructural and sequence characterization of *Penaeus vannamei* nodavirus (PvNV) from Belize. *Diseases of Aquatic Organisms*, 94 (3), 179–187.
- 114. Thamizhvanan S, Sivakumar S, Santhosh Kumar S, et al. Multiple infections caused by white spot syndrome virus and Enterocytozoon hepatopenaei in pond-reared Penaeus vannamei in India and multiplex PCR for their simultaneous detection. *Journal of Fish Diseases*, 2019; 42: 447–454. https://doi.org/10.1111/jfd.12956.
- 115. Tourtip, S., Wongtripop, S., Stentiford, G.D., Bateman, K.S., Sriurairatana, S., Chavadej, J., Sritunyalucksana, K., Withyachumnarnkul, B., 2009. Enterocytozoon hepatopenaei sp. nov. (Microsporida: Enterocytozoonidae), a parasite of the black tiger shrimp Penaeus monodon (Decapoda: Penaeidae): Fine structure and phylogenetic relationships. *Journal of Invertebrate Pathology*, 102, 21-29. 10.1016/j. jip.2009.06.004.
- 116. Tran, L., Nunan, L., Redman, R. M., Mohney, L. L., Pantoja, C. R., Fitzsimmons, K., & Lightner, D. V. (2013). Determination of the infectious nature of the agent of acute hepatopancreatic necrosis syndrome affecting penaeid shrimp. Diseases of aquatic organisms, 105(1), 45-55.
- 117. Tran, L. H., Fitzsimmons, K., & Lightner, D. V. (2014). AHPND/EMS: from the academic science perspective to the production point of view.
- 118. Valles, S.M., Chen, Y., Firth, A.E., Guérin, D.M.A., Hashimoto, Y., Herrero, S., de Miranda, J.R., and Ryabov, E., 2017. ICTV virus taxonomy profile: Dicistroviridae. *Journal of General Virology*, 98 (3), 355–356.
- Van Etten, J.L., Lane, L.C., and Dunigan, D.D.,
 2010. DNA Viruses: The Really Big Ones (Giruses). Annual Review of Microbiology, 64 (1), 83–99.
- 120. Van Hulten, M.C.W., Witteveldt, J., Peters, S., Kloosterboer, N., Tarchini, R., Fiers, M.,

- Sandbrink, H., Lankhorst, R.K., and Vlak, J.M., 2001. The white spot syndrome virus DNA genome sequence. *Virology*, 286 (1), 7–22.
- 121. Walker, P.J. and Sittidilokratna, N., 2008. Yellow Head Virus. *Encyclopedia of Virology*, 476–483.
- 122. Wang, A., Ran, C., Wang, Y., Zhang, Z., Ding, Q., Yang, Y., Erik, R., Ringø, E., Bindelle, J., and Zhou, Z., 2019. Use of probiotics in aquaculture of China — a review of the past decade. Fish and Shellfish Immunology, 86 (September 2018), 734–755.
- 123. Wang, C., Liu, S., Li, X., Hao, J., Tang, K.F.J., and Zhang, Q., 2019. Infection of covert mortality nodavirus in japanese flounder reveals host jump of the emerging alphanodavirus. *Journal of General Virology*, 100 (2), 166–175.
- 124. Wang, H.C., Hirono, I., Maningas, M.B.B., Somboonwiwat, K., and Stentiford, G., 2019. ICTV virus taxonomy profile: Nimaviridae. Journal of General Virology, 100 (7), 1053–1054.
- 125. Wang, Q., Nunan, L.M., and Lightner, D. V., 2000. Identification of genomic variations among geographic isolates of white spot syndrome virus using restriction analysis and Southern blot hybridization. *Diseases of Aquatic Organisms*, 43 (3), 175–181.
- 126. Wertheim, J.O., Tang, K.F.J., Navarro, S.A., and Lightner, D. V., 2009. A quick fuse and the emergence of Taura syndrome virus. *Virology*, 390 (2), 324–329.
- 127. Xu, L., Wang, T., Li, F., and Yang, F., 2016. Isolation and preliminary characterization of a new pathogenic iridovirus from redclaw crayfish *Cherax quadricarinatus*. *Diseases of Aquatic Organisms*, 120 (1), 17–26.
- 128. Zhang, Q., Liu, Q., Liu, S., Yang, H., Liu, S., Zhu, L., Yang, B., Jin, J., Ding, L., Wang, X., Liang, Y., Wang, Q., and Huang, J., 2014. A new nodavirus is associated with covert mortality disease of shrimp. *Journal of General Virology*, 95, 2700–2709.
- 129. Zhang, Q., Xu, T., Wan, X., Liu, S., Wang, X., Li, X., Dong, X., Yang, B., and Huang, J., 2017. Prevalence and distribution of covert mortality nodavirus (CMNV) in cultured crustacean. *Virus Research*, 233 (March), 113–119.



niyahay com

Luana Cardoso dos Santos¹ Caio Henrique do Nascimento Ferreira ² Eduardo Luis Cupertino Ballester ³

1. Introdução

A aquicultura tem se consolidado como uma das atividades de produção de alimentos que mais cresce globalmente (FAO, 2024). Entre as várias espécies cultivadas, os camarões têm grande relevância, sendo uma *commodity* de destaque no mercado mundial de pescados (FAO, 2024). A

A produção global de camarões dulcícolas apresentou um crescimento constante entre 2018 e 2022, passando de 533 mil toneladas em 2018 para 600 mil toneladas em 2022 (FAO, 2024). A rápida disseminação de patógenos expõe o setor ao risco de surtos e perdas econômicas expressivas.

produção global de camarões dulcícolas apresentou um crescimento constante entre 2018 e 2022, passando de 533 mil toneladas em 2018 para 600 mil toneladas em 2022 (FAO, 2024). Macrobrachium rosenbergii se destaca como a principal espécie cultivada, sendo amplamente produzido na Ásia, América Latina e outras regiões tropicais devido

Laboratório de Carcinicultura, Programa de Pós-Graduação em Aquicultura e Desenvolvimento Sustentável, Núcleo de Pesquisa e Desenvolvimento em Aquicultura Sustentável, Universidade Federal do Paraná, Maripá 85950-000, Paraná, Brasil

²Programa de Pós-Graduação em Aquicultura, Faculdade de Ciências Agrárias e Veterinárias, Universidade Estadual Paulista Júlio de Mesquita Filho, Jaboticabal 14884-900, São Paulo, Brasil

<u>*luanaecsantos@gmail.com</u>

ao seu rápido crescimento e adaptabilidade a diferentes sistemas de cultivo. Além dele, *Macrobrachium amazonicum*, nativo da Bacia Amazônica, apresenta grande importância econômica no Brasil, enquanto *Macrobrachium nipponense* é uma das espécies mais cultivadas na China, contribuindo significativamente para a produção aquícola global. Como *M*.

rosenbergii representa a maior parcela da produção mundial de camarões dulcícolas, a maioria das doenças relatadas na literatura científica está associada a essa espécie.

No entanto, essa intensificação produtiva tem acarretado desafios

significativos relacionados à sanidade e ao controle de doenças (Bondad-Reantaso et al., 2005). A rápida disseminação de patógenos expõe o setor a surtos e perdas econômicas expressivas (de Araújo Neves e Martins, 2021). Tais enfermidades afetam consideravelmente o desempenho produtivo dos animais, provocando mortalidade em massa e/ou alterações na aparência física dos camarões e, consequentemente, na qualidade do produto (Stentiford et al., 2017). Os camarões de água-doce podem ser afetados por uma ampla variedade de patógenos, incluindo bactérias, vírus, fungos e parasitas, comprometendo diretamente a produtividade e a sustentabilidade da carcinicultura (Hooper et al., 2023).

2. Enfermidades virais

As doenças virais representam um desafio ainda mais complexo devido à ausência de tratamentos eficazes e ao alto potencial de transmissão dos agentes virais em ambientes de cultivo (Sahul Hameed *et al.*, 2019). Elas são reconhecidas como uma das principais ameaças à carcinicultura por sua alta

mortalidade e impacto econômico significativo (Bonami e Widada, 2011). Estudos revelam que a especificidade dos hospedeiros virais não se restringe a ambientes de água-doce ou salgada, uma vez que tais

hospedeiros afetam camarões peneídeos e de água-doce (Bonami e Widada, 2011).

2.1. Doença da cauda branca

A doença da cauda branca (White Tail Disease – WTD) é uma infecção viral altamente patogênica que acomete *M. rosenbergii* (Sahul Hameed e Bonami, 2012). Essa enfermidade resulta da coinfecção entre o *M. rosenbergii nodavirus* (MrNV) e o vírus extra pequeno (XSV), ambos amplamente estudados devido ao seu impacto na aquicultura (Vijayan *et al.*, 2005). O MrNV pertence à família Nodaviridae e é um vírus de RNA de cadeia simples, caracterizado por sua rápida replicação em tecidos musculares (Vijayan *et al.*,

A doença da cauda

branca (White Tail

Disease – WTD) é

uma infecção viral

altamente patogênica

que acomete M.

rosenbergii.

2005). Já o XSV é classificado como um vírus satélite, não possuindo autonomia para completar seu ciclo replicativo sem a presença do MrNV, porém aumentando substancialmente sua virulência (Sri Widada et al., 2004). Desde o primeiro relato da WTD, ocorrido em 1994, nas Antilhas

Os camarões afetados pela doença da cauda branca (WTD) apresentam sinais clínicos característicos. incluindo opacidade esbranquiçada nos músculos abdominais e caudais, além de letargia e redução da ingestão alimentar.

do patógeno para novos sistemas de cultivo, dificultando o controle da doença (Sahul Hameed e Bonami, 2012). Os camarões afetados pela doença da

1996). A transmissão

vertical é particularmen-

facilita a disseminação

pois

preocupante,

cos característicos, incluindo opacidade

cauda branca (WTD) apresentam sinais clíni-

Hameed et al., 2019). A epidemiologia da WTD indica que sua incidência aumenta em períodos de temperaturas mais baixas, condição que compromete o sistema imunológico dos camarões e os torna mais vulneráveis à infecção (Bonami et al., 2005). Além disso, fatores como densidade populacional elevada, transporte inadequado de reprodutores e qualidade deficiente da água estão diretamente relacionados à propagação do patógeno (Ravi e Sahul Hameed, 2014). A transmissão da WTD ocorre tanto por via horizontal, quando há contato com água contaminada, resíduos orgânicos infectados ou superfícies mal higienizadas, quanto por via vertical, na qual reprodutores infectados transferem o vírus para ovos e larvas (Lightner,

Francesas, a doença tem sido ampla-

mente estudada, sobretudo em países da Ásia, como Índia, Vietnã e Tailândia,

onde a carcinicultura de M. rosenbergii é

largamente difundida e intensiva (Sahul

esbranquiçada nos músculos abdominais e caudais, além de letargia e redução da ingestão alimentar (Bonami e Widada, 2011). Nos estágios mais avançados da enfermidade, ocorre necrose muscular progressiva, que compromete funções vitais e pode resultar em morte súbita, principalmente em larvas e pós-larvas, com taxas de mortalidade que podem chegar a 100% em um período de quatro a cinco dias (Sri Widada et al., 2004). Pesquisas recentes demonstraram que o MrNV é capaz de induzir mortalidade relacionada à WTD sem a necessidade de coinfecção com o vírus extra pequeno (XSV), enquanto o XSV, isoladamente, não provoca lesões ou óbitos (Gangnonngiw et al., 2020). No entanto, sua presença potencializa a ação patogênica do MrNV, agravando os danos teciduais e amplificando a infecção no hospedeiro (Sahul Hameed et al., 2019). A gravidade da WTD está diretamente

associada à capacidade do MrNV de se replicar nos tecidos musculares, resultando em lesões extensas e disfunções sistêmicas (Bonami e Widada, 2011).

A identificação da WTD pode ser realizada por meio de exames histopatológicos e técnicas moleculares, permitindo um diagnóstico preciso da infecção (Hooper et al., 2022; Sahul Hameed e Bonami, 2012). Do ponto de vista histopatológico, os principais achados incluem necrose das fibras musculares, edema moderado, infiltração de hemócitos e fibrose nos tecidos musculares (Hooper et al., 2022). Além disso, observam-se inclusões intracitoplasmáticas, que podem variar de pálidas a basofilicas

escuras, nos músculos e nas células do tecido conjuntivo do hepatopâncreas (Hooper et al., 2022). Dentre as metodologias moleculares utilizadas no diagnóstico, destacam--se a RT-PCR (Reverse Transcription PCR) e a qRT-PCR (PCR em tempo real com transcrição reversa), ambas amplamente empregadas devido à sua elevada sensibilidade e especificidade na detecção do RNA viral (Sahul Hameed e

Bonami, 2012). A hibridização *in situ* também tem sido aplicada para visualizar diretamente a presença de partículas virais nos tecidos infectados, contribuindo para um

diagnóstico mais detalhado da infecção (Jiravanichpaisal *et al.*, 2004).

2.2. Síndrome de mortalidade encoberta causada pelo nodavírus

O nodavírus da mortalidade encoberta (CMNV) é o agente causador da síndrome de mortalidade encoberta (SME), uma infecção viral que afeta diferentes espécies de camarão. Esse vírus apresenta uma estrutura icosaédrica com cerca de 32 nm de diâmetro (Hooper *et al.*, 2022). Inicialmente identificado em *Penaeus vannamei*, o CMNV posteriormente demonstrou sua capacidade de infectar um espectro mais

amplo de hospedeiros, incluindo espécies de águadoce, como *M. rosenbergii* (Poulos *et al.*, 2006; Tang *et al.*, 2007; Flegel, 2012). Estudos epidemiológicos indicam que diversos invertebrados coabitantes podem atuar como vetores, aumentando o risco de disseminação da doença entre espécies distintas (Hooper *et al.*, 2022).

Os sinais clínicos provocados por esse vírus são semelhantes aos observados em infecções

pelo *Macrobrachium rosenbergii nodavirus* (MrNV), incluindo hepatopâncreas pálido, necrose muscular, casca mole e crescimento reduzido. Durante surtos da doença, a mortalidade ocorre de forma

Nodavírus da
mortalidade encoberta
[CMNV] Os sinais
clínicos provocados
por esse vírus são
semelhantes aos
observados em
infecções pelo
Macrobrachium
rosenbergii nodavirus
(MrNV), incluindo
hepatopâncreas pálido,
necrose muscular, casca
mole e crescimento
reduzido.

progressiva e discreta, sem a manifestação evidente de sinais clínicos nos estágios iniciais, o que dificulta sua detecção precoce. Essa característica peculiar justifica a denominação da doença (Zhang et al., 2014). Do ponto de vista histopatológico, os achados incluem fragmentação das fibras musculares, miólise e mionecrose, especialmente em áreas esbranquiçadas dos músculos. Além disso, observam-se inclusões eosinofílicas no epitélio tubular do hepatopâncreas, bem como vacuolização das células hepáticas, indicando danos es-

truturais significativos nos tecidos afetados (Hooper *et al.*, 2022).

Embora o CMNV seja um dos principais agentes associados à SME, outros fatores podem estar envolvidos na progressão dessa síndrome. Entre eles, destacam-se

infecções bacterianas secundárias, particularmente causadas por *Vibrio* spp., estresse ambiental crônico, resultante de baixa qualidade da água, hipóxia e temperaturas elevadas (Sahul Hameed e Bonami, 2012), além de deficiências nutricionais (Brock, 1993) e exposição a toxinas e contaminantes químicos presentes no ambiente.

2.3. Parvovirose hepatopancreática (HPV)

O parvovírus hepatopancreático (HPV) foi o primeiro vírus identificado em *M. rosenbergii* (Anderson *et al.*,

1990). Esse patógeno pertence à família Parvoviridae e é caracterizado por um genoma de DNA de fita simples, com partículas virais que variam entre 25 e 30 nm de diâmetro (Hooper et al., 2023). Inicialmente, acreditava-se que o HPV encontrado nessa espécie era idêntico ao vírus que infectava o camarão marinho coreano *Penaeus (Fenneropenaeus) chinensis* (Hooper et al., 2023). No entanto, diferenças no tamanho das partículas virais e nas características histopatológicas das células infectadas

levaram à sua classificação como uma espécie distinta (Lightner et al., 1994). A infecção pelo HPV compromete diretamente o tecido hepatopancreático, afetando principalmente pós-larvas (Hooper et al., 2022). Esse órgão

desempenha um papel fundamental na digestão e no metabolismo, e sua atrofia pode impactar funções vitais, resultando em redução do apetite, menor eficiência alimentar e aumento da mortalidade em juvenis (Flegel *et al.*, 1999).

Além disso, o HPV é altamente resistente no ambiente aquático, tornando sua eliminação um grande desafio para os sistemas de cultivo (Kibenge *et al.*, 2024). A transmissão ocorre predominantemente por via horizontal, por meio da exposição à água contaminada ou da ingestão de alimentos infectados. Esse

[HPV] A

transmissão ocorre predominantemente por via horizontal, através da exposição à água contaminada ou da ingestão de alimentos infectados. risco de disseminação é agravado em ambientes onde há acúmulo de matéria orgânica, criando condições favoráveis para a persistência do vírus e facilitando a ocorrência de surtos em sistemas de manejo inadequado (Jiravanichpaisal *et al.*, 2004).

O diagnóstico do HPV é realizado por meio de técnicas histológicas e moleculares, destacando-se testes de PCR convencional ou PCR em tempo real (qPCR) para a detecção do DNA viral (Sukhumsirichart *et al.*,1999). Em análises histológicas, observam-se vacuolização, inclusões intranucleares basofílicas nas células epiteliais dos túbulos e necrose das células epiteliais do hepatopâncreas (Sukhumsirichart

et al.,1999). Essas análises são fundamentais para a confirmação da infecção e diferenciação em relação a outros patógenos com manifestações semelhantes (Sukhumsirichart et al.,1999). Desde sua identificação, os registros de infecção por

HPV em *M. rosenbergii* são limitados, o que pode estar relacionado à ausência de mortalidade expressiva nos casos documentados (Hooper *et al.*, 2022). No entanto, é relevante destacar que esse vírus tem sido associado a surtos de mortalidade em camarões peneídeos, evidenciando sua importância

como agente patogênico em cultivos aquícolas (Hooper *et al.*, 2022). Diante disso, o monitoramento contínuo se torna fundamental para prevenir surtos e mitigar possíveis impactos sanitários e produtivos.

2.4. Necrose infecciosa hipodérmica e hematopoiética

A necrose infecciosa hipodérmica e hematopoiética (IHHNV) é uma enfermidade viral causada pelo *Penaeus stylirostris penstyldensovirus* 1 (PstDV1), um parvovírus de grande relevância na aquicultura (Cotmore *et al.*, 1994). Também conhecido como vírus da necrose in-

fecciosa hipodérmica e hematopoiética, esse agente viral possui um tamanho estimado entre 20 e 22 nm e se destaca por sua elevada estabilidade no ambiente, o que possibilita sua persistência tanto na água quanto em resíduos orgânicos (Lightner e Redman,

1998; Lightner, 1996).

A transmissão do IHHNV ocorre por vias horizontal e vertical. A disseminação horizontal acontece pelo contato direto entre indivíduos infectados ou pela exposição a água e alimentos contaminados (Lightner e Redman, 1998). A transmissão vertical, de reprodutores infectados para ovos e larvas, contribui

A necrose infecciosa hipodermica e hematopoietica (IHHNV) e uma enfermidade viral causada pelo Penaeus stylirostris penstyldensovirus 1 (PstDV1) ...

para a manutenção do vírus nas linhagens subsequentes, tornando-se um fator crítico para sua persistência nos cultivos (Lightner e Redman, 1998).

Esse vírus é amplamente conhecido por afetar **camarões marinhos**, como *P. vannamei* e *Penaeus monodon* (Hazreen Nita *et al.*, 2012). No entanto, registros indicam que o IHHNV também pode infectar *M. rosenbergii*, sendo associado a surtos de mortalidade em pós-larvas e juvenis (Hazreen Nita *et al.*, 2012). Os camarões acometidos manifestam sinais clínicos como atrofia muscular, coloração avermelhada e deformidades na cutícula, evidenciando o potencial desse vírus de impactar também espécies de água-doce (Hooper *et al.*, 2022; Hazreen Nita *et al.*, 2012).

Os sinais clínicos característicos da infecção pelo IHHNV podem incluir

deformidades na carapaça, opacidade na musculatura abdominal, curvatura excessiva do abdômen e redução na taxa de crescimento (Hooper *et al.*, 2022). Em quadros crônicos, a doença pode evoluir para a síndrome da deformidade e do nanismo (Runt-Deformity Syndrome – RDS), ca-

racterizada por crescimento irregular e deformações estruturais irreversíveis na carapaça, geralmente associadas a problemas na calcificação. Esse quadro compromete a qualidade do produto final e reduz significativamente seu valor comercial (Lightner, 1996). A detecção do IHHNV é realizada, principalmente, por técnicas moleculares, como PCR convencional e PCR em tempo real (qPCR), que apresentam alta sensibilidade e especificidade (Hazreen Nita et al., 2012). Além disso, exames histológicos podem ser empregados para auxiliar no diagnóstico, sendo característicos achados como inclusões eosinofílicas intranucleares do tipo Cowdry A e B em células epiteliais do hepatopâncreas (Hooper et al., 2022).

2.5. Síndrome da mancha branca

O vírus da síndrome da mancha branca (WSSV) pertence à família

Nimaviridae e é um agente viral com genoma de DNA dupla fita, apresentando tropismo por tecidos epiteliais e conjuntivos (Hameed e Charles, 2000). Embora esse vírus seja altamente patogênico para camarões peneídeos, sendo responsável por surtos de grande impacto na carcinicultura

marinha (Takahashi *et al.*, 1994), sua relação com *M. rosenbergii* ainda gera discussões. Evidências indicam que sua

Os sinais clínicos característicos da infecção pelo IHHNV podem incluir deformidades na carapaça, opacidade na musculatura abdominal, curvatura excessiva do abdômen e redução na taxa de crescimento.

ocorrência nessa espécie está mais associada a sistemas de cultivo mistos ou à exposição a ambientes contaminados (Jiravanichpaisal *et al.*, 2004).

Apesar disso, estudos sugerem que *M. rosenbergii* possui capacidade de eliminar o WSSV em poucos dias, o que denota menor suscetibilidade ao vírus em comparação com outros crustáceos

(Sahul Hameed *et al.*, 2000). A transmissão ocorre de forma horizontal, principalmente por meio da água contaminada, ingestão de alimentos infectados e contato direto entre indivíduos (Sahul Hameed *et al.*, 2000). As condições ambien-

tais adversas, como oscilações bruscas de temperatura, podem tornar os camarões mais vulneráveis à infecção (Sahul Hameed *et al.*, 2000).

Pesquisas que avaliaram a suscetibilidade de camarões de água-doce (*Macrobrachium* spp.) e marinhos (*Penaeus* spp.) ao WSSV demonstraram que os camarões dulcícolas apresentam maior resistência ao patógeno (Charles e Anilkumar, 2000). Os experimentos indicaram que *Macrobrachium lamarrei* e *Macrobrachium idella* apresentaram taxas de mortalidade de 43,3% e 53,3%, respectivamente, quando expostos ao vírus por imersão. Esses valores aumentaram para 53,3% e 66,7%

quando a infecção ocorreu por via oral (Charles e Anilkumar, 2000). Por outro lado, a administração intramuscular do vírus resultou em 100% de mortalidade em *Penaeus indicus, P. monodon, M. lamarrei e M. idella*, em períodos que variaram entre 48 horas e oito dias (Charles e Anilkumar, 2000). Em contraste, *M. rosenbergii* não apresentou

nenhuma mortalidade, in dependentemente do método de infecção testado, exibindo apenas letargia leve e recuperação total dentro de 24 horas (Charles e Anilkumar, 2000). Esses achados reforçam a elevada resistência de *M. rosenber*-

gii ao WSSV, mesmo após múltiplas exposições ao vírus.

Os sinais clínicos associados ao WSSV incluem letargia, redução do apetite, coloração avermelhada nos apêndices e presença de manchas brancas na região cefalotorácica (Hameed et al., 2019). Foram observadas também alterações no comportamento, como diminuição da atividade de natação e episódios de desorientação (Hameed et al., 2019). No entanto, a maioria dos camarões da espécie M. rosenbergii infectados pelo WSSV não desenvolve sinais severos, apresentando apenas letargia temporária e recuperação espontânea (Hameed et al., 2019).

A prevenção da infecção pelo WSSV

Os experimentos

indicaram que

Macrobrachium lamarrei

e Macrobrachium idella

apresentaram taxas de

mortalidade de 43,3% e

53,3%, respectivamente,

quando expostos ao vírus

por imersão [WSSV].

em cultivos de camarões de água-doce requer a adoção de medidas rigorosas de biosseguridade, como filtragem e desinfecção da água, remoção de resíduos orgânicos e isolamento de lotes em caso de surtos (Hameed *et al.*, 2019). Além disso, pesquisas recentes têm explorado

[MtTV] Os camarões infectados apresentam sinais clínicos característicos, incluindo opacidade muscular, coloração avermelhada, redução na motilidade e resposta diminuída a estímulos.

o potencial de compostos antivirais naturais, incluindo extratos vegetais, para inibir a replicação do vírus, embora essas abordagens ainda estejam em fase experimental (Hameed *et al.*, 2019).

2.6. Macrobrachium rosenbergii Taihu Virus (MrTV)

O Macrobrachium rosenbergii Virus (MrTV) é um patógeno emergente, identificado pela primeira vez na China, em 2009, sendo associado a surtos de alta mortalidade em larvas e juvenis de M. rosenbergii (Sahul Hameed et al., 2019). Esse vírus pertence ao grupo dos RNA-vírus de fita simples e apresenta partículas não envelopadas, com estrutura hexagonal e dimensões variando entre 25 e 29 nm (Pan et al., 2016). Estudos indicam que o MrTV possui alta capacidade de disseminação, sendo transmitido por vias horizontal e vertical (Pan et al., 2016). A transmissão horizontal ocorre por meio do contato com água contaminada e resíduos orgânicos infectados, enquanto a transmissão vertical, de reprodutores para larvas, contribui para a manutenção do vírus nos sistemas de cultivo (Pan et al., 2016).

Os camarões infectados apresentam sinais clínicos característicos, incluindo opacidade muscular, coloração

avermelhada, redução na motilidade e resposta diminuída a estímulos. Além disso, observam-se dificuldades na alimentação e no processo de muda, sinais que frequentemente precedem mortalidade súbita, principalmente em larvas e pós-larvas (Sahul Hameed et al., 2019). A detecção do MrTV é realizada por métodos moleculares, como RT-PCR, que oferecem alta sensibilidade e especificidade na identificação do RNA viral (Pan et al., 2016). Exames histopatológicos também podem revelar lesões musculares associadas à infecção, incluindo necrose e degradação das fibras musculares (Pan et al., 2016).

2.7. Vírus iridescente de decápodes 1 (DIV1)

O vírus iridescente de decápodes 1 (DIV1) é um patógeno emergente que tem gerado impactos significativos na carcinicultura, incluindo camarões, lagostins e caranguejos (Xu *et al.*, 2016; Li *et al.*, 2017). Inicialmente identifi-

cado na China, o vírus pertence à família Iridoviridae e ao gênero *Decapodiridovirus* (Xu *et al.*, 2016; Li *et al.*, 2017). Sua alta taxa de mortalidade em cultivos representa uma ameaça crescente para a sustentabilidade e a via-

Em M. rosenbergii,
um dos sinais clínicos
característicos é o
aparecimento de
manchas brancas
triangulares no
rostro, visíveis sob o
exoesqueleto ...

bilidade econômica da produção aquícola (Xu *et al.*, 2016; Li *et al.*, 2017). Dependendo do tecido infectado e do mecanismo de liberação viral (que pode ocorrer por brotamento ou lise celular),

o vírus pode ser encontrado tanto na forma envelopada quanto não envelopada (Xu *et al.*, 2016; Li et *al.*, 2017).

Em *M. rosenbergii,* um dos sinais clínicos característicos é o aparecimento de manchas brancas triangulares

no rostro, visíveis sob o exoesqueleto (Figura 1; Li *et al.*, 2017; Qiu *et al.*, 2019). Devido a essa manifestação, a infecção por DIV1 é popularmente conhecida como "doença da cabeça bran-



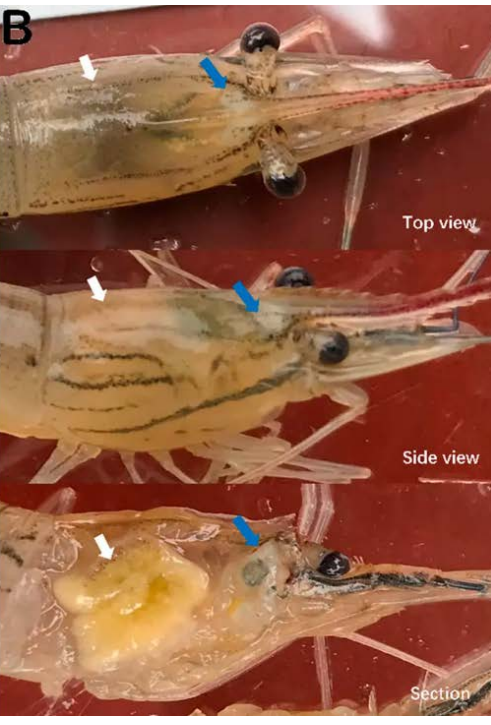


Figura 1 - Sinais clínicos de camarão tailandês infectado com DIV1. Aspecto geral do camarão doente na água (A); cefalotórax de *M. rosenbergii*. A seta azul indica a área esbranquiçada na base do corno frontal dentro do cefalotórax; a seta branca indica o hepatopâncreas atrófico, pálido e amarelado. FONTE: Qiu, L. *et al.* (2019).

ca", sendo responsável por altas taxas de mortalidade em cultivos dessa espécie (Qiu et al., 2019). Os camarões infectados pelo DIV1 podem também apresentar hepatopâncreas atrofiado e descolorido, trato digestivo vazio (estômago e intestino), coloração avermelhada no corpo, letargia e redução do apetite (Li et al., 2017). Além disso, o vírus pode afetar diversos tecidos do hospedeiro, incluindo tecidos hematopoiéticos e órgãos linfáticos (Hooper et al., 2022).

A manifestação da infecção pode ser latente ou aguda, dependendo das condições ambientais e do estado fisiológico do animal (Hooper et al., 2022). Fatores como variações na temperatura da água e qualidade ambiental inadequada podem desencadear a progressão para a fase aguda da doença, favorecendo uma replicação viral intensa e aumento da mortalidade (Hooper et al., 2022). A resposta imunológica do hospedeiro inclui a ativação de hemócitos e a produção de moléculas antimicrobianas (Hooper et al., 2022). No entanto, essas defesas muitas vezes não são suficientes para conter a infecção, principalmente em cultivos intensivos, nos quais o estresse ambiental é um fator agravante comum.

A severidade dos surtos causados pelo DIV1 pode ser exemplificada pelos casos documentados na China, onde a infecção foi associada a mortalidades acumuladas superiores a 80% (Hooper et al., 2022). Em um dos episódios re-

latados, surtos ocorreram em viveiros onde *M.rosenbergii* era cultivado junto ao lagostim *Procambarus clarkii*, além de estar próximo a tanques de *P. vannamei*, que também registraram altas taxas de mortalidade associadas ao vírus (Hooper *et al.*, 2022). Devido à sua rápida disseminação e elevada letalidade, o DIV1 representa uma ameaça global para a aquicultura, sendo classificado pela Organização Mundial de Saúde Animal (WOAH) como um patógeno de notificação obrigatória (Jing-Yi Xing *et al.*, 2024; OIE, 2025).

Com o avanço das pesquisas, diferentes metodologias têm sido desenvolvidas para garantir a detecção rápida e precisa do DIV1 (Hooper et al., 2022). Entre os métodos laboratoriais mais utilizados, destacam-se PCR convencional e PCR em tempo real (qPCR), amplamente aplicados para identificação do material genético viral (Hooper et al., 2022). Além dessas técnicas, abordagens mais ágeis e portáteis vêm sendo implementadas para permitir diagnósticos diretamente no campo. Métodos como amplificação isotérmica mediada por recombinase (RPA) e amplificação isotérmica mediada por loop (LAMP) surgem como alternativas eficientes para análises rápidas em locais de produção (Hooper et al., 2022). Recentemente, aprimoramentos na visualização dos resultados, incluindo o uso de corantes fluorescentes, têm facilitado a interpretação dos testes sem a necessidade

de equipamentos laboratoriais sofisticados. Essas inovações tornam os diagnósticos mais acessíveis e práticos, favorecendo um monitoramento eficaz da presença do DIV1 em sistemas de cultivo (Hooper et al., 2022).

2.8. Controle e prevenção das enfermidades virais

Atualmente, não existem tratamentos específicos disponíveis para as enfermidades

virais. No entanto, estratégias de manejo preventivo têm demonstrado eficácia na contenção das doenças (Pillai

Bonami. 2012). Recomenda-se a adoção de boas práticas de manejo e biosseguridade, implementando--se medidas rigorosas para evitar a introdução e disseminação de patógenos (Hooper et al., 2022). A utilização de alimentos vivos de origem certificada, o povoamento com animais testados negativos via técnicas de PCR ou livres de patógenos

Recomenda-se ... A utilização de alimentos vivos de origem certificada, o povoamento com animais testados negativos via técnicas de PCR ou livres de patógenos específicos (SPF) e a realização de vazio sanitário. incluindo secagem completa dos viveiros e aplicação de cal virgem e iodo, são essenciais para minimizar os riscos.

e a destinação adequada da de animais doentes (CNA, 2018). O monitoramento contínuo dos parâmetros ambientais, como pH, temperatura e oxigênio, aliado ao ajuste da densidade de estocagem

aliado ao ajuste da densidade de estocagem e manejo alimentar, contribui para reduzir a incidência e o impacto das enfermidades virais nos cultivos (CNA, 2018).

específicos (SPF) e a

realização de vazio sa-

nitário, incluindo se-

cagem completa dos

viveiros e aplicação de

cal virgem e iodo, são

essenciais para mini-

mizar os riscos (CNA,

2018). Além disso, é

fundamental evitar a

estocagem na estação

fria, pois as baixas tem-

peraturas favorecem a

manifestação viral, bem

como garantir o cor-

reto descarte de águas

de viveiros infectados

As doenças bacterianas em camarões de águadoce representam um dos principais desafios sanitários na carcinicultura, sendo frequentemente causadas por

microrganismos oportunistas, como Vibrio spp., Aeromonas spp., Photobacterium damselae e Pseudomonas

spp.

3. Doenças bacterianas

As doenças bacterianas em camarões de água-doce representam um dos principais desa-

fios sanitários na carcinicultura, sendo frequentemente causadas por microrganismos oportunistas, como Vibrio spp., Aeromonas spp., Photobacterium damselae e Pseudomonas spp. (Saurabh e Sahoo, 2008). Esses patógenos são naturalmente encontrados em ambientes aquáticos e se tornam infecciosos em situações de estresse ou imunossupressão dos camarões, especialmente em cultivos intensivos, nos quais fatores como alta densidade populacional e acúmulo de matéria orgânica favorecem sua proliferação (Saurabh e Sahoo, 2008; Kumaresan et al., 2017). Além disso, variações nos parâmetros da água, como oscilações de pH, hipóxia e aumento dos níveis de amônia e nitrito, intensificam a patogenicidade desses microrganismos, desencadeando a produção de toxinas e enzimas extracelulares capazes de comprometer os tecidos dos animais e causar septicemia (Kumaresan et al., 2017).

O exoesqueleto dos camarões atua como uma importante barreira física e química contra agentes infecciosos (Barracco et al., 2014). No entanto, lesões decorrentes do processo de muda ou danos mecânicos podem permitir a invasão de patógenos, uma vez que esses crustáceos possuem um sistema circulatório aberto, facilitando a disseminação de infecções (Bachere et al., 2000; Morales-Covarrubias e Gómez-Gil, 2014; Barracco et al., 2014). Em resposta à invasão de microrganis-

mos, as células da hemolinfa, conhecidas como hemócitos, desencadeiam mecanismos imunológicos que incluem fagocitose, encapsulamento e ativação do sistema profenoloxidase (proPO), um sistema enzimático que culmina na produção de melanina, promovendo a melanização das áreas afetadas como parte do processo de defesa (Söderhäll e Cerenius, 1992; Jiravanichpaisal et al., 2006; Barracco et al., 2008).

As lesões mais características em iuvenis e adultos incluem manchas melanizadas e necróticas no exoesqueleto, principalmente nos apêndices, que podem comprometer a qualidade comercial dos camarões, mesmo quando a mortalidade não é imediata (Figura 2; Hooper et al., 2022). A melanização, resultante da ativação do sistema proPO, ocorre como resposta imune a danos nos tecidos e invasão bacteriana, sendo um indicativo da progressão da infecção. Vibrio spp. produzem toxinas termo e citotóxicas associadas à necrose hemocítica, enquanto P. damselae libera toxinas dermonecróticas que levam a severas lesões musculares (Hooper et al., 2022). Já Aeromonas spp. e Pseudomonas spp. contribuem para degradação tecidual e formação de úlceras, agravando as taxas de morbidade e mortalidade nos cultivos (Hooper et al., 2022). Além disso, o acúmulo de matéria orgânica, como restos de ração e exoesqueletos,

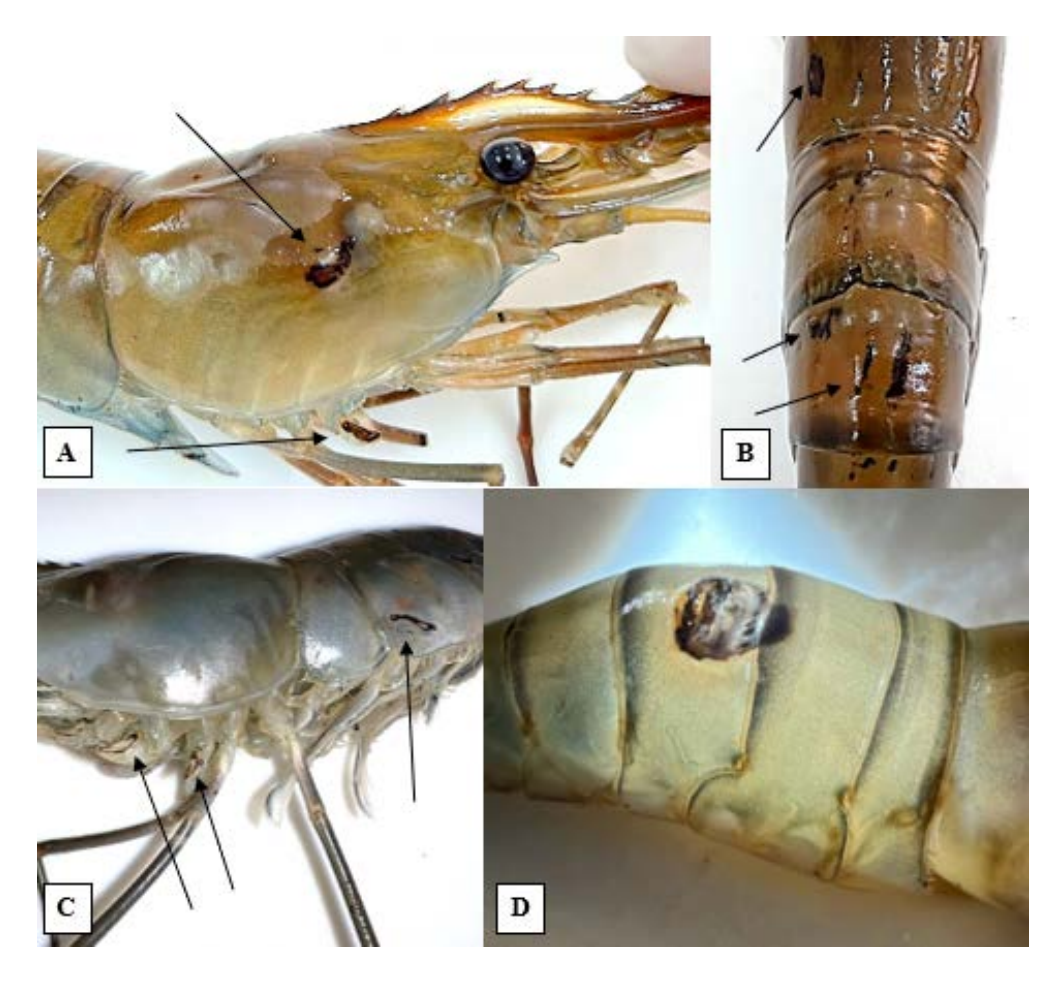


Figura 2 - Lesões cuticulares em *M. rosenbergii*. Lesão melanizada na carapaça do cefalotórax e pereópodes, com ausência de um pereópode (A); lesões melanizadas no cefalotórax e no abdômen (B); lesões melanizadas nos pereópodes, com ausência de pereópodes e na carapaça do abdômen (C); ulceração extensa com exposição do tecido muscular, indicativa de necrose (D).

FONTE: O autor (2025).

favorece a formação de biofilmes bacterianos, que aumentam a resistência dos patógenos a desinfetantes e potencializam sua virulência.

3.1. Vibriose

As bactérias do gênero Vibrio são naturais de ambientes aquáticos e amplamente distribuídas em sistemas de produção aquícola, integrando os biofilmes que se desenvolvem em superfícies submersas. Muitas espécies não são patogênicas e integram a microbiota de animais aquáticos saudáveis (Kennedy et al., 2006; Castex et al., 2014; Gao et al., 2019). No entanto, algumas espécies causam vibrioses, que incluem infecções localizadas e septicemias generalizadas (Valente e Wan, 2021). Essas infecções representam uma ameaça à segurança alimentar e à produção aquícola, especialmente

em crustáceos como camarões, lagostas caranguejos. As fases iniciais de desenvolvimento, como larvas e pós-larvas, são as mais devido suscetíveis imaturidade do sistema imunológico e à instabilidade da microbiota intestinal (Gollas-

Galvan et al., 2017; Angthong et al., 2020). Algumas cepas virulentas produzem exotoxinas, como cisteína protease e hemolisinas, que danificam as células epiteliais intestinais, facilitando a infiltração de bactérias oportunistas responsáveis por infecções secundárias (Valente e Wan, 2021).

Diversas espécies oportunistas do gênero Vibrio têm sido associadas a surtos de vibriose, impactando diferentes estágios de vida dos hospedeiros. Essas infecções têm sido documentadas em ambientes de larvicultura, berçários, tanques de engorda e estudos experimentais em laboratório (Valente e Wan, 2021; Hooper, 2022). Vibrio alginolyticus tem sido relatado como causador de altas taxas de mortalidade em larvas e pós-larvas, enquanto em adultos pode provocar alterações no hepatopâncreas, que se torna amolecido e adquire coloração marrom-escura. A infecção pode levar à perda de apêndices e ao comprometimento da musculatura, que assume um aspecto opaco, sendo comum a

presença de infiltração

de hemócitos e bactérias no hepatopâncreas, músculo e tecido branquial (Valente e Wan, 2021; Hooper, 2022). Outras espécies, como Vibrio anguillarum, Vibrio campbellii e Vibrio carchariae, foram relacionadas a surtos de

mortalidade em diferentes estágios, incluindo juvenis, larvas e pós-larvas, embora seus sinais histopatológicos ainda não estejam bem descritos (Valente e Wan, 2021). Vibrio cholerae tem sido associado a sinais como anorexia e descoloração avermelhada em juvenis e adultos, frequentemente acompanhados por necrose severa, dilatação dos túbulos hepatopancreáticos e desorganização das vilosidades intestinais nos animais acometidos (Valente e Wan, 2021).

Adicionalmente, uma espécie de destaque dentro do gênero é Vibrio harveyi, responsável pela síndrome das larvas luminescentes, que se manifesta em larvas por meio de um brilho característico em organismos mortos ou em estado terminal. Em juvenis, essa bactéria pode causar deformações no hepatopâncreas, frequentemente acompanhadas por manchas esbranquiçadas

[Vibrio spp.] Essas

infecções representam

uma ameaça à

segurança alimentar e

à produção aquícola,

especialmente em

crustáceos como

camarões, lagostas e

caranguejos.

(Soto-Rodriguez et al., 2012). Já Vibrio parahaemolyticus (cepas não associadas ao AHPND) está relacionado a sinais como coloração avermelhada, aparecimento de manchas escuras na carapaça, fragilidade do exoesqueleto e necrose em juvenis e adultos. Do ponto de vista histológico, observa-se dilatação dos túbulos hepatopancreáticos e vacuolização dos hepatócitos nos animais

infectados (Khuntia et al., 2008; Hooper et al., 2022). Por outro lado, cepas de V. parahaemolyticus ligadas ao AHPND (Acute Hepatopancreatic Necrosis Disease) são altamente letais para larvas e adultos, causando lesões no tecido hematopoiético (Hooper

et al., 2022). Em contraste, as pós-larvas parecem apresentar maior resistência à infecção, embora possam atuar como vetores assintomáticos, transmitindo o patógeno para espécies cultivadas conjuntamente ou em proximidade (Hooper et al., 2022).

Vibrio vulnificus tem sido relatado como agente causador de necrose nos apêndices e de lesões focais marrom-escuras em juvenis e adultos, além de levar à destruição dos túbulos hepatopancreáticos e à formação de nódulos hemocíticos bacterianos. Em estágios mais avançados, pode haver erosão do

exoesqueleto, especialmente em camarões adultos (Hooper et al., 2022). A severidade das infecções causadas por Vibrio spp. depende diretamente da espécie envolvida e do estágio de desenvolvimento dos camarões, resultando em impactos substanciais na saúde e na sobrevivência dos organismos afetados (Austin e Zhang, 2006). Entretanto, surtos de mortalidade em larvicultura fre-

quentemente envolvem coinfecções, combinando diferentes espécies de *Vibrio* spp. e outros patógenos oportunistas (Austin e Zhang, 2006; Hooper *et al.*, 2022).

Entre as enfermidades mais frequentemente associadas a bactérias do gênero *Vibrio*, destaca-se a síndrome clás-

sica da doença da carapaça, também conhecida como "mancha marrom" ou "mancha preta" (Lightner, 1996). Essa patologia ocorre devido a danos químicos ou mecânicos na cutícula do exoesqueleto, os quais facilitam a invasão por microrganismos oportunistas (Radhakrishnan e Kizhakudan, 2019). Algumas espécies de Vibrio spp. possuem atividade quitinolítica, permitindo-lhes colonizar e degradar a cutícula comprometida, desencadeando a produção de fatores de virulência que resultam em erosão tecidual, cavitações, inflamação e necrose progressiva

Entre as enfermidades mais frequentemente associadas a bactérias do gênero *Vibrio*, destaca-se a síndrome clássica da doença da carapaça, também conhecida como "mancha marrom" ou "mancha preta".

(Abdel-Latif *et al.*, 2022). Inicialmente, as lesões são pequenas, mas podem se expandir para áreas mais extensas conforme a infecção progride.

Sob condições de estresse ambiental, a enfermidade pode evoluir para quadros mais severos, levando à septicemia e, consequentemente, à rápida mortalidade dos camarões (Lightner, 1996; Tran *et al.*, 2013). No entanto, investiga-

ções sobre manchas escuras observadas em *M. rosenbergii* indicam que, além de *Vibrio* spp., bactérias pertencentes aos gêneros *Pseudomonas* e *Aeromonas* também estão envolvidas na patogênese dessa condição (Pillai *et al.*, 2010). Embora camarões em diferentes fases do ciclo de vida possam ser

afetados, os sinais são mais comuns em juvenis e adultos. Nos estágios larvais, a alta frequência de mudas minimiza a manifestação clínica da doença, dificultando a detecção de sinais evidentes (Pillai *et al.*, 2010).

3.2. Aeromoniose

As bactérias do gênero *Aeromonas* são reconhecidas como um dos patógenos mais comuns na aquicultura de água-doce, sendo responsáveis por consideráveis prejuízos econômicos no setor aquícola (Gao *et al.*, 2020). A ca-

pacidade adaptativa desses patógenos permite que eles prosperem em uma ampla gama de condições ambientais (Gao et al., 2020). São mais prevalentes em regiões tropicais e subtropicais, com temperatura ideal de crescimento entre 22°C e 37°C (Gao et al., 2020). Além disso, essas bactérias podem sobreviver em diferentes níveis de salinidade e pH, mas são mais frequentemente encontra-

das em águas doces. De forma geral, a infecção resulta de lesões mecânicas no exoesqueleto, que atuam como portas de entrada para o patógeno (Gao et al., 2020). Uma vez no interior do hospedeiro, as bactérias produzem enzimas proteolíticas e exotoxinas que destroem tecidos, causando ulcerações,

necrose progressiva, comprometimento sistêmico e, em casos graves, falência de órgãos (Gao *et al.*, 2020).

Entre as espécies do gênero Aeromonas associadas a enfermidades em camarões de água-doce, destaca-se Aeromonas hydrophila, agente etiológico da doença conhecida como "Black Spot" em juvenis e adultos (Jiravanichpaisal et al., 2009; Gonçalves et al., 2016). Essa enfermidade é caracterizada pela presença de lesões necróticas escuras no exoesqueleto e nos apêndices, que frequentemente resultam em morta-

lidade. Do ponto de vista histopatológico, essas lesões apresentam uma densa colonização bacteriana, envolta por uma substância gelatinosa desorganizada (Jiravanichpaisal *et al.*, 2009; Gonçalves *et al.*, 2016).

Estudos envolvendo *M. rosenbergii* infectado por *Aeromonas dhakensis* demonstraram alterações histopatológicas severas (Hooper *et al.*, 2022; Peng *et al.*, 2023). O hepatopâncreas revelou um quadro inflamatório progressivo,

acompanhado por vacuolização celular, deformações no lúmen dos túbulos e degradação tecidual avançada (Hooper et al., 2022; Peng et al., 2023). As brânquias também foram severamente afetadas, apresentando inflamações de diferentes intensidades e, nos estágios mais avançados, atrofia e desprendimento dos filamentos branquiais (Hooper et al., 2022; Peng et al., 2023).

No geral, as bactérias do gênero Aeromonas são patógenos oportunistas altamente adaptáveis, cuja capacidade de causar doença depende de múltiplos fatores de virulência (Hooper et al., 2022; Peng et al., 2023). Além dos impactos negativos na aquicultura, algu-

Infecção por Lactococcus garvieae Os sinais clínicos observados em camarões infectados incluem anorexia, redução da taxa de crescimento. diminuição da atividade e aspecto opaco e esbranquiçado na musculatura dos segmentos cefalotorácico e abdominal, frequentemente culminando em mortalidade elevada.

espécies, mas como A. hydrophila e Vibrio parahaemolyticus, grande relevância na segurança alimentar, pois estão associadas a doencas transmitidas alimentos (DTA) em frutos do mar, incluindo camarões (Kinanti et al., 2025). A produção de toxinas e de outros compostos virulentos por essas bactérias pode levar a gastroenterites e danos ao trato gastrointestinal humano (Kinanti et al., 2025). Para mitigar os riscos de contaminação, o moni-

toramento ao longo da cadeia produtiva, aliado a práticas higiênico-sanitárias rigorosas, é essencial para garantir a segurança dos produtos derivados de pescados e crustáceos.

3.3. Infecção por *Lactococcus garvieae*

Considerada um patógeno de relevância na aquicultura, *Lactococcus garvieae* é uma bactéria Gram-positiva amplamente conhecida por causar septicemia em diversas espécies de peixes, como trutas e tilápias (Collins *et al.*, 1983). Embora sua ocorrência seja mais frequente nesses organismos, registros também apontam sua presença

em crustáceos, incluindo camarões de água-doce (Ringo et al., 2021). Casos de infecção em M. rosenbergii são pouco documentados, mas há indícios de que essa bactéria possa representar uma ameaça emergente em sistemas intensivos de criação (Ringo et al., 2021). O impacto da infecção tem sido relatado tanto em juvenis quanto em adultos mantidos em tanques de engorda e em condições experimentais, resultando em comprometimentos significativos para a sanidade dos camarões (Wang et al., 2008; Hooper, 2022). Caracteriza-se por uma estrutura geralmente disposta em cadeias ou pares, e possui alta capacidade de adaptação a oscilações ambientais, como variações de temperatura e salinidade, favorecen-

do seu estabelecimento como um patógeno oportunista (Hooper, 2022).

Os sinais clínicos observados em camarões infectados incluem anorexia, redução da taxa de crescimento, diminuição da atividade e aspecto opaco e esbranquiçado na musculatura dos segmentos cefalotorácico e abdominal, frequentemente culminando em mortalidade elevada (Wang et al., 2008; Hooper, 2022).

Diversas espécies bacterianas têm sido associadas a surtos de mortalidade em M. rosenbergii, especialmente em pós-larvas ... Entre essas, Enterococcus casseliflavus, Exiguobacterium profundum e Klebsiella pneumoniae foram identificadas como potenciais agentes patogênicos nessas fases iniciais de desenvolvimento.

Do ponto de vista histopatológico, a presença de diplococos ovais no hepatopâncreas e na musculatura está associada a extensas áreas de necrose nos túbulos hepatopancreáticos, comprometendo suas funções digestivas e metabólicas (Cheng e Chen, 1998; Hooper, 2022). Como resposta imune do hospedeiro, granulomas melanizados e encapsulados são frequentemente detectados no tecido conjuntivo dos seios hemais (Cheng e Chen, 1998; Hooper, 2022). Essas estruturas são compostas por hemócitos e depósitos de melanina, cuja função é restringir a proliferação da bactéria e evitar sua disseminação sistêmica. Além disso, a musculatura necrosada apresenta infiltração significativa de hemócitos, indicando uma resposta infla-

matória exacerbada, que visa conter a infecção e reparar os danos teciduais resultantes (Cheng e Chen, 1998; Hooper, 2022).

3.4. Outras bactérias relevantes

Diversas espécies bacterianas têm sido associadas a surtos de mortalidade em *M. rosenbergii*, especialmente em pós-larvas mantidas em sistemas de larvicultura e sob condições experimentais em la-

boratório. Entre essas, Enterococcus casseliflavus, Exiguobacterium profundum e Klebsiella pneumoniae foram identificadas como potenciais agentes patogênicos nessas fases iniciais de desen-

volvimento (Hooper et al., 2022). Em estágios mais avançados, Pseudomonas aeruginosa tem sido frequentemente reportada como causadora de infecções em juvenis e adultos mantidos em tanques de engorda e ambientes laboratoriais. Os principais sinais clínicos incluem musculatura esbranqui-

çada e opaca nos segmentos cefalotorácico e abdominal, muitas vezes culminando em alta mortalidade (Hooper et al., 2022). Exames histopatológicos revelam lesões musculares com presença bacteriana, desorganização das miofibrilas e acúmulo de hemócitos nas regiões de tecido necrosado (Hooper et al., 2022). Além disso, granulomas hemocíticos melanizados são comumente detectados ao redor dos seios hemais do sistema circulatório, acompanhados por áreas de melanização nos túbulos hepatopancreáticos, nódulos hemocíticos e cavitações luminais irregulares no hepatopâncreas (Hooper et al., 2022).

Outra bactéria de relevância é Spiroplasma eriocheiris, que tem sido relatada como agente patogênico em juvenis e adultos de M. rosenbergii mantidos tanto em sistemas de engorda quanto em ambientes naturais. Os sinais clínicos incluem fraqueza generalizada, tendência dos camarões a se agruparem

> nas laterais dos tanques e mortalidade significativa (Liang et al., 2011). Do ponto de vista histopatológico, são observadas inclusões intracelulares basofílicas ou mistas (basofílicas/ eosinofílicas), mais evidentes no hepatopântambém mas creas. presentes nos músculos esquelético, cardíaco

e no tecido conjuntivo (Srisala et al., 2018). A alta concentração dessas bactérias dentro das inclusões em hemócitos e tecidos conjuntivos destaca a gravidade da infecção (Liang et al., 2011).

Embora Photobacterium damselae seja tradicionalmente associada a organismos marinhos, relatos mais recentes apontam sua presença em sistemas de cultivo de camarões de água-doce, nos quais tem sido identificada como um patógeno emergente (Labella et al., 2011). Integrante da família Vibrionaceae, essa bactéria está implicada em casos de septicemia e necrose em tecidos moles, frequentemente resultando em alta mortalidade durante surtos graves (Osorio et al., 2018). Entre os principais sinais clínicos, destacam-se letargia e alterações

Photobacterium

damselae (...) um

patógeno emergente (...)

da família Vibrionaceae,

(...) está implicada em

casos de septicemia

e necrose em tecidos

moles, frequentemente

resultando em alta

mortalidade durante

surtos graves.

na coloração corporal.

Enterobacter cloacae tem sido relatada como agente de surtos de mortalidade significativa durante o estágio zoea de M. rosenbergii em sistemas de larvicultura na China, com perdas superiores a 50%

(Gao et al., 2019). Larvas acometidas apresentaram crescimento reduzido e elevada taxa de mortalidade logo após a manipulação com redes (Gao et al., 2019). Em estudos mais recentes, essa bactéria também foi associada à "síndrome do crescimento lento" (Li et al., 2023).

Ensaios experimentais demons-

traram que camarões infectados apresentavam tamanho consideravelmente menor quando comparados a indivíduos não infectados (Li et al., 2023). No entanto, além de afetar larvas, E. cloacae também impacta outros estágios de desenvolvimento, incluindo pós-larvas e

juvenis, causando sinais clínicos como fraqueza, redução da ingestão alimentar e mortalidade (Li *et al.*, 2023). Em juvenis, a infecção compromete a estrutura do hepatopâncreas e do tecido

Enterobacter cloacae tem sido relatada como agente de surtos de mortalidade significativa durante o estágio zoea de M. rosenbergii em sistemas de larvicultura na China, com perdas superiores a 50%.

muscular, resultando em vacuolização das células colunares, degeneração parcial das vilosidades intestinais e fibras musculares compactadas (Li et al., 2023).

Citrobacter freundii, inicialmente conside-

rada uma bactéria sem potencial patogênico para juvenis de *M. rosenbergii*, passou a ser associada a surtos de mortalidade em cultivos intensivos, especialmente em tanques de engorda (Lalitha *et al.*, 2010; Zhao *et al.*, 2022). Essa espécie tem sido relacionada à "doença da bolha de água" (Water Bubble Disease – WBD), caracteriza-

da pela formação de uma bolha aquosa sob a carapaça, conforme mostra a Figura 3, acompanhada por sinais clínicos como redução do apetite, perda de peso e inatividade (Zhao *et al.*, 2022).

Citrobacter freundii (...)

"doença da bolha de
água" (...) caracterizada
pela formação de
uma bolha aquosa
sob a carapaça (...)
acompanhada por
sinais clínicos como
redução do apetite,
perda de peso e
inatividade.

3.5. Controle e prevenção

A prevenção e o manejo de infecções

bacterianas em *M. rosenbergii* requerem uma abordagem integrada, que combine boas práticas de manejo ambiental, uso de aditivos funcionais e estratégias terapêuticas direcionadas



Figura 3 – *M. rosenbergii* infectado com *Citrobacter freundii*, apresentando sinais típicos de WBD sob a carapaça (seta vermelha). FONTE: (Zhao *et al.*, 2022).

(ABCCAM, 2017). A manutenção da qualidade da água desempenha um papel essencial na redução do estresse dos camarões e na consequente diminuição da predisposição a doenças, sendo fundamental o monitoramento regular de

A suplementação com probióticos, como Bacillus subtilis e outras espécies do gênero Bacillus, tem demonstrado efeitos positivos na promoção do crescimento e na melhoria das taxas de sobrevivência de juvenis.

parâmetros como pH, temperatura e níveis de oxigenação (ABCCAM, 2017). Estratégias de manejo incluem a limpeza periódica dos tanques, a remoção de resíduos orgânicos, o controle da densidade populacional e a adoção de práticas rigorosas de biosseguridade, como a desinfecção de viveiros antes do repovoamento e o uso de barreiras físicas para minimizar a contaminação externa (ABCCAM, 2017).

A suplementação probióticos, com como Bacillus subtilis e outras espécies do gênero Bacillus, tem demonstrado efeitos positivos na promoção do crescimento e na melhoria das taxas de sobrevivência de juvenis (Abdel-Latif et al., 2022). Esses microrganismos néficos atuam na exclusão competitiva de patógenos intestinais,

além de fortalecerem a imunidade dos camarões e otimizarem a conversão alimentar, resultando em maior eficiência na absorção dos nutrientes e aumento da taxa específica de crescimento (Abdel-Latif *et al.*, 2022). O uso de imunomoduladores, como β-glucanos, tem sido investigado como alternativa para fortalecer a resposta imunológica dos camarões,

estimulando a ativação dos hemócitos e do sistema profenoloxidase (proPO; Regitano *et al.*, 2010).

O uso de antibióticos e anticoccidianos deve ser realizado somente quando estritamente necessário e sob supervisão técnica, garantindo que seu emprego seja direcionado

ao controle de infecções bacterianas sem favorecer o surgimento de resistência antimicrobiana (Regitano et al., 2010). Estudos demonstram que tratamentos adequados são eficazes na mitigação de surtos, porém seu uso deve ser equilibrado com alternativas mais sustentáveis, como probióticos e imunomoduladores, para reduzir impactos ambientais e garantir a segurança dos cultivos (Regitano et al., 2010). A adoção de protocolos preventivos e terapêuticos eficazes pode minimizar significativamente os impactos sanitários e

econômicos das infecções, promovendo maior sustentabilidade na carcinicultura de água-doce (Regitano *et al.*, 2010).

4. Enfermidades fúngicas

Os fungos foram os primeiros patógenos associados à criação de *M. ro*senbergii (Burns et al., 1979; Hsu et al., 1994). As infecções fúngicas em camarões de água-doce são menos agressivas

do que as infecções bacterianas e virais, mas, ainda assim, representam uma ameaça significativa à carcinicultura (Burns et al., 1979; Hsu et al., 1994; Saurabh et al., 2012; Farook et al., 2019). Os surtos de doenças fúngicas ocorreram frequentemente nas estações frias, pre-

dominantemente durante o inverno (Lu et al., 1998). O índice de infecção é maior nos camarões adultos e menor em juvenis e pós-larvas (Lu et al., 1998). Essas doenças ocorrem principalmente em sistemas de cultivo intensivo, pois o aumento da densidade potencializa a degradação da água e dificulta o manejo sanitário (Farook et al., 2019; Hooper et al., 2023). Elas se originam principalmente de infecções secundárias associadas a lesões no exoesqueleto, estresse ou condições ambientais adversas (Burns et al., 1979).

Doença da mancha

preta

4.1. Doença da mancha preta

A doença da mancha preta foi identificada pela primeira vez em 1977 (Hooper et al., 2023). Os fungos do gênero Fusarium são os agentes causadores dessa doença (Burns et al., 1979). O fungo Fusarium pertence ao filo Ascomycota, e as espécies que causam danos aos camarões de água-doce são Fusarium solani e Fusarium oxys-

porum (Burns et al., 1979). Essa doença aproveita lesões já existentes no exoesqueleto e nos apêndices dos camarões para se alojar no local, criando uma melanização na lesão (Burns et al., 1979). A principal causa dessa doença é a falta de manejo adequado, uma vez que esse fungo se prolifera em ambientes com acúmulo de matéria orgânica (Burns et al., 1979; Hooper et al., 2023).

4.2. Doença das leveduras

As leveduras foram identificadas como causadoras de doenças em *M. rosenbergii* em 1998, em Taiwan (Lu *et al.*, 1998; Su *et al.*, 2005; Hooper *et al.*, 2023). As leveduras identificadas como patogênicas para *M. rosenbergii* são *Candida saque I* e *II, Pichia anoma, Endomyces fibuliger* e *Candida famata* (Lu *et al.*, 1998). Os principais sinais clínicos dessa doença incluem

A doença da
descoloração (...)
[por] Batrachochytrium
dendrobatidis [tem]
sinais que incluem
coloração brancoacinzentada, quelas
com aparência
"aveludada" devido à
presença de filamentos
acinzentados, e
dificuldades com
alimentação, muda,
movimento e
respiração.

mudanças comportamentais, como natação lenta, letargia e anorexia, acompanhadas de descoloração amarelo-acastanhada, olhos brancos e opacos, e inchaço na região entre o cefalotórax e o abdômen (Hooper et al., 2023). Também pode-se observar, na hemolinfa, uma coloração esbranquiçada e turva, o hepatopâncreas de coloração amarelo-clara e musculatura opaca e esbranquiçada (Lu et al.,

1998). Essa doença pode causar 100% de mortalidade dos camarões infectados (Lu *et al.*, 1998).

4.3. Doença da descoloração

A doença da descoloração apresentou surtos no período de 2007 a 2011. Ela é causada pelo fungo *Batrachochytrium dendrobatidis* (Paulraj *et al.*, 2016). Os sinais dessa doença incluem coloração brancoacinzentada, quelas com aparência "aveludada" devido à presença de filamentos acinzentados, e dificuldades com alimentação, muda, movimento e respiração (Paulraj *et al.*, 2016). Essa doença apresenta uma taxa de mortalidade de 90% (Paulraj *et al.*, 2016). Embora grande parte dos casos relatados envolvam camarões peneídeos, também há registros em *M. rosenbergii* (Paulraj *et al.*, 2016; Hooper *et al.*, 2023).

4.4. Microsporidiose

Infecções por microsporídios devem ser consideradas um potencial ameaça à criação de M. rosenbergii (Tourtip et al., 2009; Tangprasittipap et al., 2013). Atualmente, existem poucos relatos dessa doença nessa espécie. Um estudo de 2018 mostrou que M. rosenbergii cultivado no mesmo tanque que P. vannamei testou positivo para doenças causadas por microsporídios. Em camarões peneídeos, essa doença causa crescimento lento (Tourtip et al., 2009; Tangprasittipap et al., 2013) e síndrome das fezes brancas (HA et al., 2010).

4.5. Lagenidiose

Essa doença pelo causada gênero Lagenidium, que pode afetar tanto crustáceos marinhos quanto água-doce (Krishnika e Ramasamy, 2014). Ela afeta a fase larval e a fase de pós-larvas em M. rosenbergii, cauUm estudo de 2018 mostrou que *M. rosenbergii* cultivado no mesmo tanque que *P. vannamei* testou positivo para doenças causadas por microsporídios. Em camarões peneídeos, essa doença causa crescimento lento.

[Lagenidiose] (...) afeta a fase larval e a fase de pós-larvas em *M.* rosenbergii, causando pontos brancos e hifas que invadem e substituem quase todos os tecidos das larvas.

Saprolegnia (...) afeta principalmente peixes de água-doce. Seus alvos preferidos são peixes em condições de estresse, que vivem em ambientes eutrofizados, com ferimentos ou outras enfermidades.

Sua proliferação ocorre em ambientes com presença de matéria orgânica em decomposição.

sando pontos brancos, e hifas que invadem e substituem quase todos os tecidos das larvas (Krishnika e Ramasamy, 2014). A presença desse fungo em larviculturas ou sistemas de bercários pode causar altas taxas de mortalidade (Krishnika e Ramasamy, 2014). A temperatura ideal para a proliferação de Lagenidium sp. é de 30°C, e o fungo pode tolerar variações de salinidade, crescendo em concentrações de NaCl entre 1% e 5%. Para solucionar esse problema, é necessário realizar práticas como desinfecção adequada dos tanques, controle da qualidade da água e uso de larvas livres de patógenos específicos, que são essenciais para prevenir surtos.

4.6. Saprolegniose

Essa infecção fúngica é provocada por fungos do gênero Saprolegnia e afeta principalmente peixes de água-doce. Seus alvos preferidos são peixes em condições de estresse, que vivem em ambientes eutrofizados, com ferimentos ou outras enfermidades. Sua proliferação ocor-

re em ambientes com matéria presenca de orgânica em decomposição. Embora a saprolegniose seja mais comumente associada a peixes, há registros de que camarões de água--doce também podem ser afetados por fungos desse gênero (Saurabh e Sahoo, 2008). Esses fungos são oportunistas e tendem a infectar tecidos lesionados ou comprometidos, especialmente em condi-

ções de estresse ambiental (Saurabh e Sahoo, 2008). Eles produzem hifas não septadas que invadem os tecidos moles dos hospedeiros, levando a lesões que se assemelham a tufos de algodão branco ou marrom na superfície do corpo (Saurabh e Sahoo, 2008). Camarões infectados podem apresentar letargia, redução na atividade e perda de apetite.

4.7. Controle e prevenção

As infecções fúngicas são oportunistas, mas podem causar prejuízos econômicos substanciais na carcinicultura de camarões de água-doce (Saurabh e Sahoo, 2008; Paulraj *et al.*, 2016; Hooper

et al., 2023). A resistência emergente a antifúngicos comerciais e o impacto ambiental de tratamentos químicos destacam a necessidade de abordagens

> alternativas (Hektoen et al., 1995; Sørum, 2005). Estratégias futuras incluem desenvolvimento de probióticos com antifúngica atividade (Monzón-atienza et al., 2023), uso de compostos naturais, como extratos de plantas e óleos essenciais, aliados boas práticas de manejo (Srivastava, 2014), e monitoramento contínuo para diagnóstico precoce, a fim de minimizar o impacto de sur-

tos. Práticas de manejo, como separação de lotes infectados, desinfecção rigorosa, controle e manutenção da qualidade da água e remoção de resíduos orgânicos, também são essenciais para prevenir surtos.

5. Doenças parasitárias

5.1. Protozoários

As doenças parasitárias estão diretamente relacionadas à qualidade da água, à densidade populacional e ao manejo inadequado do ambiente de cultivo (Gutiérrez-Salazar *et al.*, 2011; Madsen e Stauffer, 2024). Protozoários ciliados

As infecções fúngicas

são oportunistas,

mas podem causar

prejuízos econômicos

substanciais na

carcinicultura de

camarões de água-doce.

A resistência emergente

a antifúngicos

comerciais e o

impacto ambiental de

tratamentos químicos

destacam a necessidade

de abordagens

alternativas.

são frequentemente encontrados em viveiros de *M. rosenbergii*, principalmente em indivíduos maiores que realizam mudas com menor frequência, favorecendo a proliferação desses organismos na superfície corporal e na branquial

(Figura 4; New e Valenti, 2000). Entre os ciliados mais prevalentes, destacam-se *Zoothamnium* spp., *Vorticella* spp. e *Epistylis* spp., os quais podem atuar como parasitas oportunistas ou facultativos (Mandal *et al.*, 2015; Jayasree *et al.*, 2001). Estudos sobre a presença de parasitas eucariontes em populações selvagens de *M. rosenbergii* indicam que

Entre os ciliados mais prevalentes, destacam-se Zoothamnium spp., Vorticella spp. e Epistylis spp., os quais podem atuar como parasitas oportunistas ou facultativos.

essa espécie dulcícola pode abrigar uma ampla diversidade de epibiontes, ectoparasitas e endoparasitas (Mandal *et al.*, 2015; Jayasree *et al.*, 2001). Entre os organismos detectados, *Epistylis* spp. e *Vorticella* spp. foram encontrados tanto

na superfície externa dos camarões quanto no trato digestivo (Mandal *et al.*, 2015; Jayasree *et al.*, 2001).

Pesquisas também identificaram a presença de gregarinas no intestino em diferentes populações de *M. rosenbergii* (Jayasree *et al.*, 2001). As gregarinas são protozoários apicomplexos que colonizam o trato digestivo dos camarões,

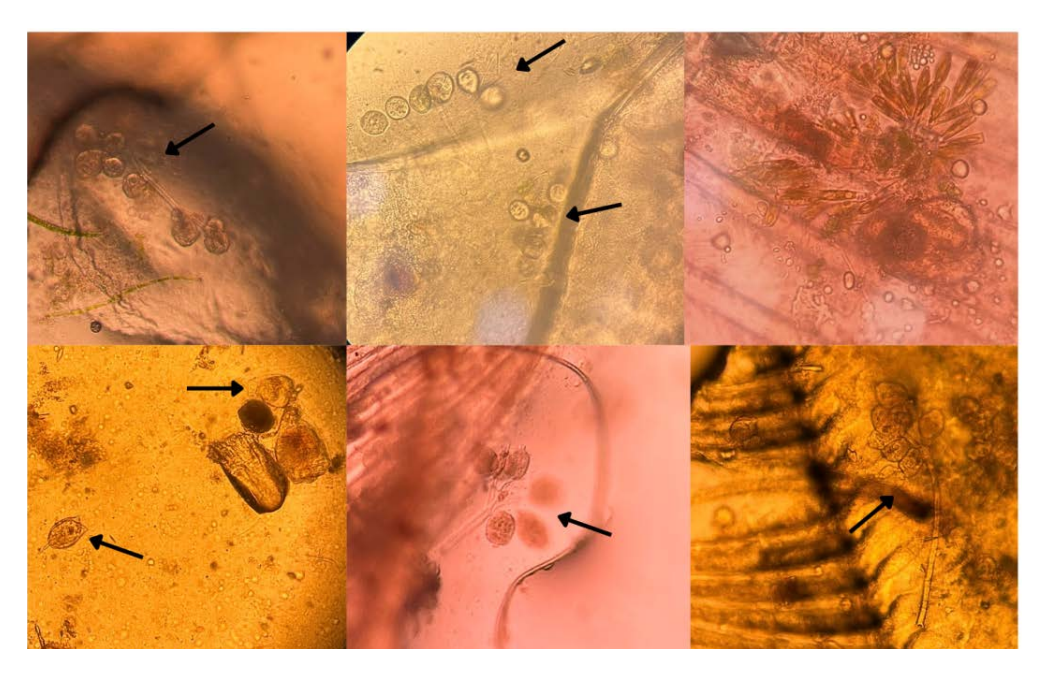


Figura 4 — Protozoários encontrados nas lamelas branquiais e apêndices natatórios de *M. rosenbergii.* FONTE: O autor (2025).

aderindo à mucosa intestinal e podendo comprometer a digestão e a absorção de nutrientes em razão da descamação do epitélio intestinal (Lightner, 1996; Brock e Main, 1994). Embora muitas infecções sejam subclínicas, infestações intensas podem resultar em inflamação, disfunção digestiva e redução na taxa de crescimento (Lightner, 1996; Brock e Main, 1994). Além disso, a presença de gregarinas pode predispor os camarões a infecções secundárias, uma vez que o dano à mucosa intestinal facilita a invasão de patógenos oportunistas, como Vibrio spp. (Lightner e Redman, 1998; Zakariah et al., 2022). A transmissão ocorre pela ingestão de oocistos eliminados nas fezes de indivíduos infectados, tornando sua disseminação um fator de risco em sistemas de cultivo intensivo (Madsen e Stauffer, 2024). Dessa forma, o monitoramento desses parasitas é essencial para minimizar prejuízos à saúde dos animais e à produtividade aquícola (Jiménez, 1991; Guzmán-Sáenz et al., 2014).

Infecções parasitárias crônicas podem causar impactos significativos em diferentes estágios do ciclo de vida dos camarões (Jiménez, 1991; Guzmán-Sáenz et al., 2014). Ciliados aderidos às lamelas branquiais estão associados a infecções severas ou persistentes, podendo resultar em melanização nos pontos de fixação e conferindo às brânquias uma coloração avermelhada ou marrom (Figura 5; Farook et al., 2019). Além disso, fêmeas ovadas podem atuar

como vetores na introdução de epibiontes em sistemas de larvicultura, afetando diretamente larvas e pós-larvas (New e Valenti, 2000). A adesão desses organismos pode comprometer a locomoção e a alimentação, obstruindo os apêndices bucais e dificultando a captura e a ingestão de alimentos (Lightner, 1985; Felix *et al.*, 1994; Jayasree *et al.*, 2001). Como consequência, larvas e pós-larvas severamente infestadas frequentemente desenvolvem desnutrição, levando à mortalidade.

A presença de protozoários em camarões de água-doce está frequentemente associada a ambientes de alta densidade e baixa qualidade da água, onde a carga parasitária elevada pode comprometer o bem-estar dos animais. Esses organismos podem aderir às brânquias, aos apêndices e à cutícula dos camarões, e, embora muitas vezes não causem danos diretos, infestações severas podem interferir em funções fisiológicas essenciais, como a troca gasosa, a osmorregulação e a excreção de amônia, levando à hipóxia e ao comprometimento do metabolismo dos animais (Henry et al., 2012; Kautsky et al., 2000; Morales-Covarrubias, 2010). A aderência em grande quantidade nas lamelas branquiais pode reduzir significativamente a capacidade respiratória dos camarões, resultando em letargia, dificuldades na muda e menor taxa de crescimento (Jiravanichpaisal et al., 2006; Pazir et al., 2022). Além disso, a presença desses protozoários cria condições favoráveis para a colonização por bactérias oportunistas, como *Aeromonas* spp. e *Vibrio* spp., aumentando o risco de infecções secundárias e contribuindo para surtos de doenças em cultivos intensivos (Cuéllar-Anjel, 2008; Madsen e Stauffer, 2024).

Ambientes com acúmulo de matéria orgânica e baixa renovação da água favorecem a multiplicação desses protozoários, especialmente em cultivos com manejo inadequado da alimentação e excesso de nutrientes dissolvidos. Em condições de infestação severa, o impacto pode se estender para além da função

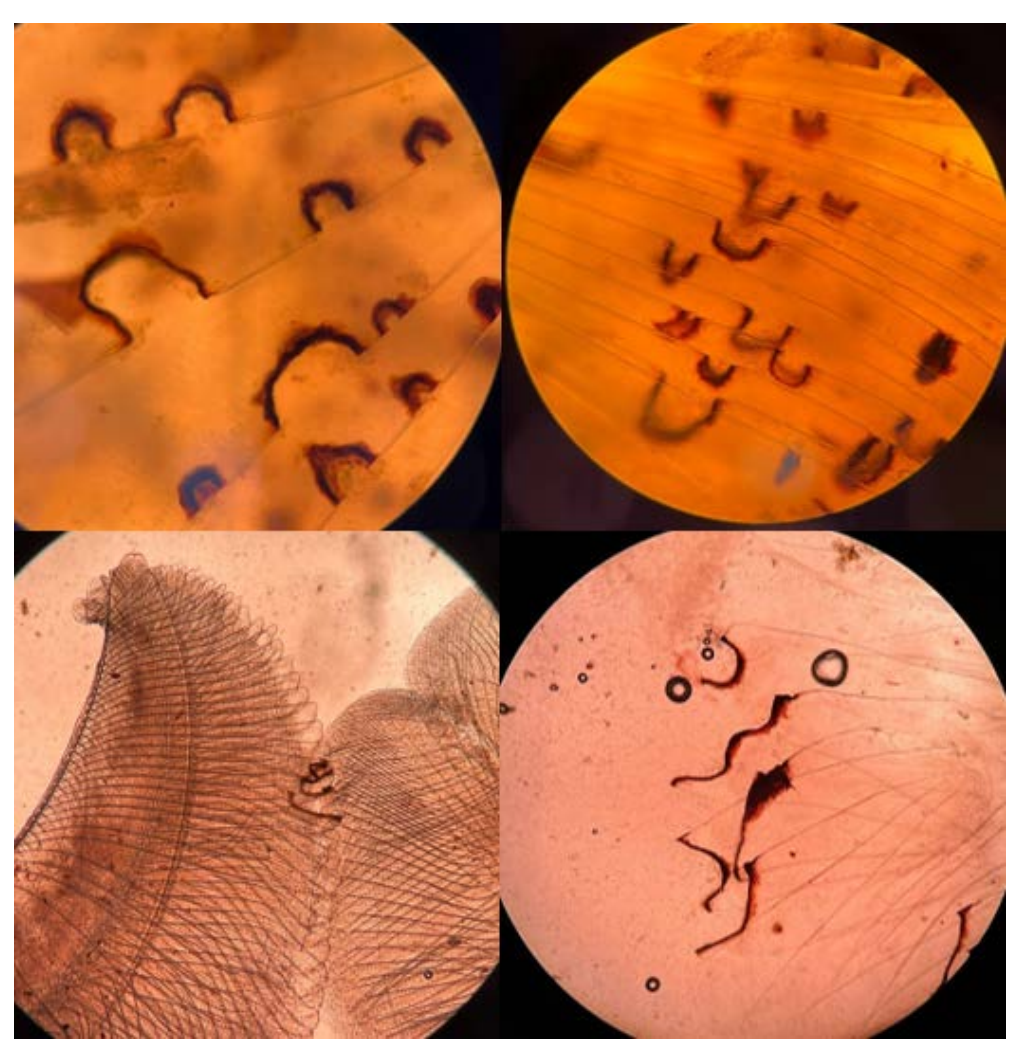


Figura 05 - Lesões melanizadas nas lamelas branquiais de *M. rosenbergii*. Processo de melanização resultante da ativação do sistema profenoloxidase (proPO), mecanismo de defesa inato responsável pela deposição de melanina em resposta a estímulos imunológicos (JIRAVANICHPAISAL et al., 2006). FONTE: O autor (2025).

respiratória, comprometendo a apreensão e o consumo de alimento. além de induzir alterações comportamentais, como natação errática e redução do crescimento (Madsen e Stauffer, 2024). Algumas espécies podem atuar como vetores mecânicos, transportando microrganismos patogênicos em sua superfície e contribuindo para a disseminação de infecções no ambiente de cultivo (Madsen e Stauffer, 2024).

Embora a mortalidade direta por protozoários seja pouco documentada em *M. rosenbergii*, surtos associados ao ciliado *Metanophrys sinensis* já foram relatados na fase larval, resultando em perdas significativas na Índia (Sahoo

et al., 2018). Os camarões afetados apresentaram sinais clínicos como natação errática, letargia e mudanças na coloração antes do óbito, enquanto análises microscópicas confirmaram alta concentração desses protozoários no celoma dos indivíduos infectados (Sahoo et al., 2018). De maneira similar, infesta(...) infestações massivas de gregarinas, com prevalência de até 65%, também foram associadas a aumentos nas taxas de mortalidade em cultivos comerciais (...).

(...) infestações massivas de gregarinas, com prevalência de até 65%, também foram associadas a aumentos nas taxas de mortalidade em cultivos comerciais (...).

ções massivas de gregarinas, com prevalência de até 65%, também foram associadas a aumentos nas taxas de mortalidade em cultivos comerciais (Jiménez, 1991).

Processo de melanização resultante da ativação do sistema profenoloxidase (proPO), mecanismo de defesa inato responsável pela deposição de melanina em resposta a estímulos imunológicos (JI-RAVANICHPAISAL et al., 2006).

5.2. Microsporídios

Os microsporídios são patógenos intracelulares obrigatórios de grande relevância na carcinicultura, sendo capazes de causar doenças crônicas associadas a

retardo no crescimento, bem como redução da taxa de conversão alimentar (Tourtip et al., 2009; Tangprasittipap et al., 2013). O principal microsporídio identificado em *M. rosenbergii* é Enterocytozoon hepatopenaei (EHP) (Sonthi e Kasikidpongpan, 2018). Esse patógeno tem sido amplamente estudado

Microsporídio
Esse patógeno tem
sido amplamente
estudado em camarões
peneídeos (P. monodon
e P. vannamei), mas
sua recente detecção
em M. rosenbergii
levanta preocupações
sobre sua capacidade
de adaptação a novos
hospedeiros.

em camarões peneídeos (*P. monodon* e *P. vanna-mei*), mas sua recente detecção em *M. rosenber-gii* levanta preocupações sobre sua capacidade de adaptação a novos hospedeiros (Sonthi e Kasikidpongpan, 2018). Tal alerta se dá, pois estudos recentes identifi-

O monitoramento sanitário contínuo permite a detecção precoce de infecções e a implementação de ações corretivas antes que surtos comprometam a produção.

caram uma cepa distinta de EHP em *M. rosenbergii*, geneticamente diferenciada da variante encontrada em peneídeos (Sonthi e Kasikidpongpan, 2018). Essa descoberta sugere que o EHP pode estar sofrendo mutações que lhe permitem expandir seu espectro de infecção para crustáceos de água-doce.

Embora o impacto direto desse parasita em M. rosenbergii ainda não esteja totalmente elucidado, sua associação com retardo de crescimento e alterações histológicas no hepatopâncreas justifica a necessidade de monitoramento rigoroso e desenvolvimento de estratégias de controle (Tourtip et al., 2009; Tangprasittipap et al., 2013). A infecção leva à invasão e destruição das células epiteliais hepatopancreáticas, resultando em degeneração, vacuolização e, em estágios avançados, necrose tecidual (Chaijarasphonga et al., 2021). Essas lesões afetam diretamente a funcionalidade do órgão, essencial para a digestão e absorção de nutrientes, comprometendo o metabolismo energético (Stentiford et al., 2019; Chaijarasphonga et al., 2021). Além disso, a resposta inflamatória induzida pelo EHP agrava os danos estruturais e aumenta o gasto metabólico do camarão, desviando energia que normalmente seria utilizada para o

crescimento (Stentiford et al., 2019; (Chaijarasphonga et al., 2021). Assim, a disfunção do hepatopâncreas leva a uma digestão ineficiente e absorção reduzida de nutrientes, resultando em atraso no desenvolvimento e impactos negativos na produtividade aquícola.

5.3. Controle e prevenção

O controle e a prevenção de doenças parasitárias em camarões exigem estratégias integradas de biossegurança, monitoramento constante e manejo ambiental adequado (ABCC, 2017). A qualidade da água é um fator crítico, pois parâmetros instáveis, como variações na temperatura, salinidade e pH, podem favorecer a proliferação de protozoários ciliados e de outros parasitas oportunistas (ABCC, 2017). A adoção de sistemas de fluxo contínuo ou de trocas regulares de água ajuda a remover matéria orgânica e reduzir a presença de substratos propícios ao desenvolvimento desses patógenos (ABCCAM, 2017).

O monitoramento sanitário contí-

nuo permite a detecção precoce de infecções e a implementação de ações corretivas antes que surtos comprometam a produção (ABCCAM, 2012). Métodos diagnósticos clínicos, histopatológicos e moleculares auxiliam na identificacão dos parasitas e na definição de estratégias de controle (Chaijarasphong, 2021). Práticas como quarentena de novos lotes, desinfecção de equipamentos e controle do trânsito de animais são essenciais para minimizar a disseminação de agentes infecciosos (ABCCAM, 2017). O manejo alimentar também desempenha um papel importante na resistência dos camarões a infecções (Dotta e Piazza, 2012). Rações de alta digestibilidade reduzem a carga orgâni-

ca nos viveiros, minimizando condições favoráveis à proliferação de parasitas (Dotta e Piazza, 2012). Além disso, dietas enriquecidas com probiótico fortalecem a imunidade dos camarões, tornando-os menos suscetíveis a infecções (ABCCAM, 2017).

Quando a prevenção não é suficiente e surtos parasitários

ocorrem, medidas de controle devem ser adotadas. A remoção de substratos orgânicos e a renovação da água são estratégias primárias para reduzir a carga parasitária no ambiente (ABCCAM, 2012; ABCCAM, 2017). Em situações mais graves, a aplicação controlada de agentes químicos, como formalina e peróxido de hidrogênio, pode ser necessária, devendo ser realizada com cautela para minimizar impactos ambientais e preservar a microbiota benéfica do sistema (ABCCAM, 2012).

6. Conclusão

Diante da complexidade dos agentes infecciosos e dos desafios inerentes ao seu controle, a implementação de protocolos rigorosos de biosseguridade e de manejo sanitário, aliada à capacitação contínua dos profissionais de saúde

animal, é fundamental para a identificação precoce, a mitigação eficaz e a prevenção da disseminação de patógenos nos cultivos (Austin e Austin, 2007). A adoção de medidas integradas, como o controle de qualidade da água, o monitoramento epidemiológico, a quarentena de novos lotes, a seleção genética para resistência a doenças e o uso criterioso de terapias antimicrobianas, desempenha

um papel essencial na redução da carga patogênica e na promoção da saúde dos camarões. Além disso, a pesquisa e o desenvolvimento de novas tecnologias,

(...) a implementação de protocolos rigorosos de biosseguridade e de manejo sanitário, aliada à capacitação contínua dos profissionais de saúde animal, é fundamental para a identificação precoce, a mitigação eficaz e a prevenção da disseminação de patógenos nos cultivos.

incluindo vacinas, probióticos e estratégias de biorremediação, vêm se consolidando como alternativas promissoras (Araújo *et al.*, 2024). A colaboração entre produtores, pesquisadores e órgãos reguladores é indispensável para a formulação de políticas sanitárias eficazes e para a disseminação de boas práticas de manejo em larga escala.

7. Referências

- 1. ABDEL-LATIF, Hany M. R.; YILMAZ, Ebru; DAWOOD, Mahmoud A. O.; et al. Shrimp vibriosis and possible control measures using probiotics, postbiotics, prebiotics, and synbiotics: a review. Aquaculture, v. 551, p. 737951, 30 mar. 2022. DOI: 10.1016/j.aquaculture.2022.737951.
- AHMMED, Mirja Kaizer; BHOWMIK, Shuva; AHMMED, Fatema; et al. Utilisation of probiotics for disease management in giant freshwater prawn (Macrobrachium rosenbergii): administration methods, antagonistic effects, and immune response. Journal of Fish Diseases, v. 46, n. 12, p. 1321-1336, 2023. DOI: 10.1111/jfd.13850.
- ANDERSON, I. G. et al. A parvo-like virus in the giant freshwater prawn, Macrobrachium rosenbergii. 1990. DOI:10.1016/0022-2011(90)90093-L.
- 4. ARAÚJO, J.; SAMPAIO, A.; CRISPIM, M. C.; SILVA, G. R. Efeito da biorremediação na saúde e crescimento do camarão *Litopenaeus vannamei* Boone, 1931, em berçários de carcinicultura. *Revista de Gestão Social e Ambiental*, v. 18, n. 10, p. 277-304, 2024. DOI: 10.21438/rbgas (2024)112719.
- 5. ASSOCIAÇÃO BRASILEIRA DE CRIADORES DE CAMARÃO (ABCC).

 Apostila Técnicas de Manejo e Qualidade da Água com Ênfase no seu Balanço Iônico. Natal:

 ABCC, 2017. Disponível em: https://abc-cam.com.br/wp-content/uploads/2017/07/APOSTILA-T%C3%89CNICAS-DE-MANEJO-E-QUALIDADE-DA-%C3%81GUA-COM-%C3%87O-I%C3%94NICO.pdf. Acesso em: 02/2025.
- 6. ASSOCIAÇÃO BRASILEIRA DE CRIADORES DE CAMARÃO (ABCCAM).

- Procedimentos de boas práticas de manejo e medidas de biossegurança para a carcinicultura brasileira. Natal, RN: ABCCAM, 02 jul. 2012.].
- AURÓ, A.; OCAMPO, L. C. El libro del camarón.
 Distrito Federal, México: Editorial Universidad Nacional Autónoma de México, 2006.
- AUSTIN, Brian; ZHANG, X.-H. Vibrio harveyi: a significant pathogen of marine vertebrates and invertebrates. Letters in applied microbiology, v. 43, n. 2, p. 119-124, 2006. DOI: https://doi.org/10.1111/j.1472-765X.2006.01989.x.
- 9. BONAMI, Jean-Robert; WIDADA, Joannes Sri. Viral diseases of the giant freshwater prawn Macrobrachium rosenbergii: A review. Journal of Invertebrate Pathology, v. 106, p. 131–142, 2011. DOI: 10.1016/j.jip.2010.09.003.
- 10.BONDAD-REANTASO, Melba G.; SUBASINGHE, Rohana P.; ARTHUR, J. Richard; OGAWA, Kazuo; CHINABUT, Supranee; ADLARD, Robert; TAN, Zilong; SHARIFF, Mohamed. Disease and health management in Asian aquaculture. Veterinary Parasitology, v. 132, p. 249–272, 2005. DOI: 10.1016/j.vetpar.2005.07.005.
- 11.BROCK, J. A.; MAIN, K. L. A guide to the common problems and diseases of cultured Penaeus vannamei. Baton Rouge, LA: World Aquaculture Society; Honolulu, HI: Oceanic Institute, 1994.
- **12.BROCK, James A. A** synopsis of pathology, diseases, and production problems of cultured Macrobrachium, with an emphasis on experiences in Hawaiian prawn farming. **CRC handbook of mariculture**, v. 1, p. 361e391, 1993.
- **13.BURNS, Cary D.; BERRIGAN, Mark E.; HENDERSON, George** E. Fusarium sp. in fections in the freshwater prawn *Macrobrachium rosenbergii* (De Man). **Aquaculture**, v. 16, n. 3, p. 193-198, 1979. DOI: 10.1016/0044-8486(79)90107-8.
- 14. CHAIJARASPHONG, T.;
 MUNKONGWONGSIRI, N.; STENTIFORD,
 G. D.; ALDAMA-CANO, D. J.; THANS, K.;
 FLEGEL, T. W.; SRITUNYALUCKSANA, K.;
 ITSATHITPHAISARN, O. The shrimp microsporidian Enterocytozoon hepatopenaei (EHP): biology, pathology, diagnostics and control. Journal of Invertebrate Pathology, v. 186, nov. 2021.
- 15. CHEN, Ken Fong; TAN, Wen Siang; ONG, Lin Kooi; ABIDIN, Syafiq Asnawi Zainal; OTHMAN, Iekhsan; TEY, Beng Ti; LEE, Ronald Fook Seng. The Macrobrachium rosenber-

- gii nodavirus: a detailed review of structure, infectivity, host immunity, diagnosis and prevention. Reviews in Aquaculture, v. 13, n. 4, p. 2117-2141, set. 2021.
- 16. CHEN, Xiaochun; HUANG, Xiaoquan; TANG, Yiwen; ZHANG, Lei; LIN, Feng. A suplementação dietética de nucleotídeos melhora o crescimento, a resposta imunológica e a resistência a doenças do camarão gigante de água-doce juvenil, Macrobrachium rosenbergii. Aquicultura Internacional, v. 30, p. 1755–1768, 2022.
- 17. CHENG, W.; CHEN, J-C. Isolation and characterization of an Enterococcus-like bacterium causing muscle necrosis and mortality in Macrobrachium rosenbergii in Taiwan. Diseases of Aquatic Organisms, 1998.
- 18. COLLINS, M. D. et al. Streptococcus garvieae sp. nov. and Streptococcus plantarum sp. nov. Microbiology, v. 129, n. 11, p. 3427-3431, 1983. DOI: https://doi.org/10.1099/00221287-129-11-3427.
- 19. CONFEDERAÇÃO DA AGRICULTURA E PECUÁRIA DO BRASIL (CNA). Doenças de animais aquáticos de importância para o Brasil: Manual de identificação no campo. Curitiba, PR: CNA, 2018. Disponível em: https://proedu.rnp.br/bitstream/handle/123456789/1398/Manejo%20e%20Sanidade%20no%20Cultivo.pdf?sequence=1. Acesso em: 23 fev. 2025.
- **20. COTMORE SF, AGBANDJE-MCKENNA M, CANUTI M,** *et al.* ICTV virus tax-onomy profile: Parvoviridae. J Gen Virol. 2019; 100(3):367-368. DOI:10.1099/jgv.0.001212.
- 21. CUÉLLAR-ANJEL, Jorge; CORTEEL, Mathias; GALLI, Leonardo; ALDAY-SANZ, Victoria; HASSON, Kenneth W. Principal shrimp infectious diseases, diagnosis, and management. In: THE SHRIMP BOOK, p. 517-622.
- 22.DOTTA, Geovana; PIAZZA, Rômi Sharon. Manejo e sanidade no cultivo. Curitiba, PR: Instituto Federal do Paraná, Biblioteca IFPR, 2012.
- FAROOK, M. A. et al. Giant freshwater prawn, Macrobrachium rosenbergii (De Man 1879): A review. International Journal of Research and Analytical Reviews, v. 6, n. 1, p. 571-584, 2019.
- 24.FAROOK, M. A.; MOHAMED, H. S. M.; MOHAMMED TARIQ, N. P. M.; SHARIQ, K. M.; AHMED, I. A. Giant freshwater prawn,

- Macrobrachium rosenbergii (De Man 1879): a review. IJRAR International Journal of Research and Analytical Reviews, v. 6, n. 1, 2019.
- **25.FELIX, S.; RACHEL, I.; SUNDARARAJ, V.**Wide prevalence of ciliate infestation in shrimp aquaculture systems in Tamil Nadu. *Sea Food Export Journal*, v. 25, p. 31-34, 1994.
- 26. FLEGEL, T. W. et al. Statistical correlation between severity of hepatopancreatic parvovirus infection and stunting of farmed black tiger shrimp (*Penaeus monodon*). Aquaculture, v. 174, n. 3-4, p. 197-206, 1999. DOI: https://doi.org/10.1016/S0044-8486(98)00507-9.
- 27. GANGNONNGIW, Warachin; BUNNONTAE, Malinee; PHIWSAIYA, Kornsunee; SENAPIN, Saengchan; DHAR, Arun K. In experimental challenge with infectious clones of *Macrobrachium rosenbergii* nodavirus (MrNV) and extra small virus (XSV), MrNV alone can cause mortality in freshwater prawn (*Macrobrachium rosenbergii*). Virology, v. 540, p. 30–37, 2020.
- **28.GAO, Xiaojian** *et al.* Enterobacter cloacae associated with mass mortality in zoea of giant freshwater prawns *Macrobrachium rosenbergii* and control with specific chicken egg yolk immunoglobulins (IgY). **Aquaculture**, v. 501, p. 331-337, 2019. DOI: https://doi.org/10.1016/j.aquaculture.2018.11.050.
- 29. GAO, Xiaojian; TONG, Shuaiqi; ZHANG, Shuangming; et al. Aeromonas veronii associated with red gill disease and its induced immune response in Macrobrachium nipponense. Aquaculture Research, 2020. DOI: 10.1002/aqr.12345.
- 30. GONÇALVES, Alex Augusto; DE OLIVEIRA, Adriene Rosceli Menezes. Melanosis in crustaceans: A review. LWT-Food Science and Technology, v. 65, p. 791-799, 2016.
- 31. GUTIÉRREZ-SALAZAR, G. J.; MOLINA-GARZA, Z. J.; HERNÁNDEZ-ACOSTA, M.; GARCÍA-SALAS, J. A.; MERCADO-HERNÁNDEZ, R.; GALAVIZ-SILVA, L. Pathogens in Pacific white shrimp (*Litopenaeus vannamei* Boone, 1931) and their relationship with physicochemical parameters in three different culture systems in Tamaulipas, Mexico. Aquaculture, v. 321, n. 1-2, p. 34-40, 2011.
- 32. GUZMÁN-SÁENZ, F. M.; PÉREZ-CASTAÑEDA, R.; GUTIÉRREZ-SALAZAR, G.; GONZÁLEZ-ALANÍS, P.; HERNÁNDEZ-ACOSTA, M.; SÁNCHEZ-MARTÍNEZ,

- **G. J.** Impacto de la parasitosis por Gregarinas (*Nematopsis* sp) en el cultivo de camarón. *Ra Ximhai*, v. 10, n. 6, p. 1-8, 2014.
- 33.HA, N. et al. Enterocytozoon hepatopenaei has been detected parasitizing tiger shrimp (*Penaeus monodon*) cultured in Vietnam and showing white feces syndrome. Agric Rural Dev Sci Technol, v. 12, p. 45-50, 2010.
- 34.HAMEED, A. S. Sahul; CHARLES, M. Xavier; ANILKUMAR, M. Tolerance of *Macrobrachium rosenbergii* to white spot syndrome virus. *Aquaculture*, v. 183, n. 3-4, p. 207-213, 15 mar. 2000. DOI: 10.1016/S0044-8486(99)00297-6.
- **35.HAZREEN NITA, M. K.** *et al.* Detection and genetic profiling of infectious hypodermal and haematopoietic necrosis virus (IHHNV) infections in wild berried freshwater prawn, *Macrobrachium rosenbergii* collected for hatchery production. **Molecular biology reports**, v. 39, p. 3785-3790, 2012.
- **36. Health, W.O.f.A.** Aquataic Animal Health Code, Chapter 9 Infection with Decapod Iridescent Virus 1, 2021.
- **37.HEKTOEN, Halvor** *et al.* Persistence of antibacterial agents in marine sediments. **Aquaculture**, v. 133, n. 3-4, p. 175-184, 1995. DOI: https://doi.org/10.1016/0044-8486(94)00310.
- 38.HOOPER, Chantelle; DEBNATH, Partho P.; BISWAS, Sukumar; VAN AERLE, Ronny; BATEMAN, Kelly S.; BASAK, Siddhawartha K.; RAHMAN, Muhammad M.; MOHAN, Chadag V.; ISLAM, H. M. Rakibul; ROSS, Stuart; STENTIFORD, Grant D.; CURRIE, David; BASS, David. A novel RNA virus, Macrobrachium rosenbergii Golda Virus (MrGV), linked to mass mortalities of the larval giant freshwater prawn in Bangladesh. Viruses, v. 12, p. 1120, 2020. DOI: 10.3390/v12101120.
- 39. HOOPER, Chantelle; DEBNATH, Partho P.; STENTIFORD, Grant D.; BATEMAN, Kelly S.; SALIN, Krishna R.; BASS, David. Diseases of the giant river prawn *Macrobrachium rosenbergii*: A review for a growing industry. *Reviews in Aquaculture*, v. 15, n. 2, p. 738-758, 05 nov. 2022. DOI: 10.1111/raq.12754.
- 40.HSU, J. P.; LIU, C. I. Studies on yeast infection in cultured giant freshwater prawn (*Macrobrachium rosenbergii*). Fish Disease Research, v. 15, p. 55-0.68, 1994.
- 41. JAYASREE, L. Sr.; JANAKIRAM, P.;

- **MADHAVI, R.** Epibionts and parasites of *Macrobrachium rosenbergii* and *Metapenaeus dobsoni* from Gosthani estuary. *Journal of Natural History*, v. 35, n. 2, p. 157-167, 2001. DOI: 10.1080/00222930150215297.
- **42. JIMÉNEZ, R.** Análisis de gregarinas asociadas al detenimiento de crecimiento en camarones *Penaeus vannamei. Acuacultura de Ecuador,* v. 16, p. 38-44, 1991.
- **43. JIRAVANICHPAISAL, P.; LEE, B. L.; SÖDERHÄLL, K.** Cell-mediated immunity in arthropods: hematopoiesis, coagulation, melanization and opsonization. Immunobiology, v. 211, n. 4, p. 213-236, 2006.
- 44. JIRAVANICHPAISAL, P.; LIU, H.; CERENIUS, L.; LEE, B. L.; SÖDERHÄLL, K. Phenoloxidase is an important component of the defense against *Aeromonas hydrophila* infection in a crustacean, *Pacifastacus leniusculus. Journal of Biological Chemistry*, v. 282, n. 46, p. 33593-33601, 2007.
- **45. JIRAVANICHPAISAL, P.; ROOS, S.; EDSMAN, L.; LIU, H.; SÖDERHÄLL, K.** A highly virulent pathogen, *Aeromonas hydrophila*, from the freshwater crayfish *Pacifastacus leniusculus. Journal of Invertebrate Pathology*, v. 101, n. 1, p. 56-66, 2009. DOI: 10.1016/j.jip.2009.02.002.
- 46.KEAWTHONG, Chalinda; BUNNOY, Anurak; CHUCHIRD, Niti; SRISAPOOME, Prapansak. Immune responses and histopathological analyses of giant river prawn (Macrobrachium rosenbergii, De Man 1879) challenged with a sub-lethal dose of decapod iridescent virus 1 (DIV1) and chemical control investigation. Fish & Shellfish Immunology, v. 137, p. 108792, jun. 2023.
- **47.KEYSAMI,** Mehran Avakh; MOHAMMADPOUR, Masoumeh. Effect of Bacillus subtilis on Aeromonas hydrophila infection resistance in juvenile freshwater prawn, Macrobrachium rosenbergii (de Man). Aquaculture International, v. 21, p. 553–562, 2013.
- **48.KHUNTIA**, et al. Characterization and pathogenicity studies of *Vibrio parahaemolyticus* isolated from diseased freshwater prawn, *Macrobrachium rosenbergii* (de Man). Aquaculture Research, v. 39, n. 3, p. 301-310, jan. 2008.
- **49. KINANTI, Ananda Sekar; PRIHANTO, Asep Awaludin; JATMIKO, Yoga Dwi.** Host range of lytic bacteriophages as biocontrol agents for pathogenic bacteria causing foodborne illnesses in the *Litopenaeus vannamei* shrimp. *Egyptian*

- Journal of Aquatic Biology & Fisheries, v. 29, n. 1, p. 1393–1407, 2025.
- **50.KRISHNIKA,** A.; RAMASAMY, P. Lagenidium sp. infection in the larval stages of the freshwater prawn *Macrobrachium rosenbergii* (DeMan). **Indian Journal of Fisheries**, v. 61, n. 2, p. 90-96, 2014.
- **51.KUA, B. C.; CHOONG, F. C.; HAZREEN NITA, M. K.;** *et al.* Screening of parasitic and IHHNV infections in wild giant freshwater prawn *Macrobrachium rosenbergii* from Rejang River at Kuching, Sarawak. *Tropical Biomedicine*, v. 28, n. 1, p. 85-89, 2011.
- 52.KUMARESAN, Venkatesh; PALANISAMY, Rajesh; PASUPULETI, Mukesh; AROCKIARAJ, Jesu. Impacts of environmental and biological stressors on the immune system of *Macrobrachium rosenbergii. Reviews in Aquaculture*, v. 9, n. 3, p. 283-307, set. 2017. DOI: 10.1111/raq.12145.
- **53.LABELLA, A.** *et al.* Photobacterium damselae subsp. damselae, an emerging pathogen affecting new cultured marine fish species in southern Spain. **Recent advances in fish farms**, v. 9, p. 135-152, 2011.
- **54.LALITHA, K. V.; SURENDRAN, P. K.; THAMPURAN,** Nirmala. Intestinal bacterial flora of *Macrobrachium rosenbergii* (De Man, 1879) from freshwater farms in Kerala, India. **Fishery Technology**, v. 47, n. 1, p. 65, 2010.
- 55.LI, Fang; XU, Limei; YANG, Feng. Genomic characterization of a novel iridovirus from redclaw crayfish Cherax quadricarinatus: Evidence for a new genus within the family Iridoviridae. Journal of General Virology, v. 98, n. 10, p. 2589-2595, 2017. DOI: https://doi.org/10.1099/jgv.0.000904.
- 56.LI, Xi-Lian et al. Metabonomic Analysis of Macrobrachium rosenbergii with Iron Prawn Syndrome (IPS). Fishes, v. 8, n. 4, p. 196, 2023. DOI: https://doi.org/10.3390/fishes8040196.
- 57.LIANG, T.; LI, X.; DU, J.; et al. Identification and isolation of a Spiroplasma pathogen from diseased freshwater prawns, Macrobrachium rosenbergii, in China: a new freshwater crustacean host. Aquaculture, v. 318, n. 1, p. 1-6, jul. 2011.
- **58.LIGHTNER DV, REDMAN RM, BELL TA.** Infectious hypodermal and hema-topoietic necrosis, a newly recognized virus disease of penaei-

- dshrimp. J Invertebr Pathol. 1983;42(1):62-70. DOI:10.1016/0022-2011(83)90202-1.
- **59.LIGHTNER, D. V. A** handbook of shrimp pathology and diagnostic procedures for diseases of cultured penaeid shrimp. **World Aquaculture Society Baton Rouge**, 1996.
- **60.LIGHTNER, D. V.** A review of the diseases of cultured penaeid shrimps and prawns with emphasis on recent discoveries and developments. In: **PROCEEDINGS OF THE FIRST INTERNATIONAL CONFERENCE ON THE CULTURE OF PENAEID PRAWNS/SHRIMPS**, 1984, Iloilo City, Philippines. SEAFDEC Aquaculture Department, 1985.
- **61.LIGHTNER**, **D. V.** *et al.* Distinction of HPV-type viruses in Penaeus chinensis and *Macrobrachium rosenbergii* using a DNA probe. **Asian Fish. Sci**, v. 7, n. 4, p. 267-272, 1994.
- **62.LIGHTNER, D. V.; REDMAN, R. M.** Shrimp diseases and current diagnostic methods. *Aquaculture*, v. 164, p. 201-220, 1998.
- 63.LOW, Chen-Fei; CHONG, Chou-Min; LOH, Jiun-Yan. Feasibility of vaccination against Macrobrachium rosenbergii nodavirus infection in giant freshwater prawn. Fish & Shellfish Immunology, v. 104, p. 431-438, set. 2020. DOI: 10.1016/j.fsi.2020.06.062.
- **64.LU, C. C.; TANG, K. F. J.; CHEN, S. N.** Identification and genetic characterization of yeasts isolated from freshwater prawns, *Macrobrachium rosenbergii* de Man, in Taiwan. **Journal of fish diseases**, v. 21, n. 3, p. 185-192, 1998. DOI: https://doi.org/10.1046/j.1365-2761.1998.00094.x.
- **65.MADSEN, Henry; STAUFFER Jr., Jay Richard.** Aquaculture of animal species: their eukaryotic parasites and the control of parasitic infections. *Biology*, v. 13, n. 1, p. 41, 2024.
- **66.MANDAL, B.; DUBEY, S.; GHOSH, A.; DASH, G.** Parasitic occurrence in the giant freshwater prawn *Macrobrachium rosenbergii* from coastal West Bengal, India. *Journal of Parasitology and Vector Biology,* v. 7, n. 6, p. 115-119, 2015. DOI: 10.5897/JPVB2015.0197140.
- **67.MONZÓN-ATIENZA, Luis** *et al.* Current status of probiotics in European sea bass aquaculture as one important Mediterranean and Atlantic commercial species: A review. **Animals**, v. 13, n. 14, p. 2369, 2023. DOI: https://doi.org/10.3390/ani13142369

- 68. NAKANO, Heiji et al. Mass mortalities of cultured kuruma shrimp, Penaeus japonicus, in Japan in 1993: epizootiological survey and infection trials. Fish Pathology, v. 29, n. 2, p. 135-139, 1994.
- 69.NEW, M. B.; VALENTI, W. C. Freshwater prawn culture: the farming of Macrobrachium rosenbergii. Oxford: Wiley-Blackwell, 2000.
- 70. OANH, Dang Thi Hoang; HOA, Tran Thi Tuyet; PHUONG, Nguyen Thanh. Characterization and pathogenicity studies on *Vibrio* bacteria isolated from freshwater prawn (*Macrobrachium rosenbergii*) hatcheries. *Aquaculture and Fisheries Sciences Institute*, College of Agriculture, Can Tho University, Vietnã, 2014.
- **71.PAN, Xiaoyi** *et al.* Isolation and characterization of a novel dicistrovirus associated with moralities of the great freshwater prawn, *Macrobrachium rosenbergii*. International journal of molecular sciences, v. 17, n. 2, p. 204, 2016. DOI: https://doi.org/10.3390/ijms17020204.
- **72.PAULRAJ, Ambrose** *et al.* Chytrid Batrachochytrium dendrobatidis fungal infection in freshwater prawn, *Macrobrachium rosenbergii* (de Man)-A new report. **Aquaculture**, v. 464, p. 521-528, 2016. DOI: https://doi.org/10.1016/j.aquaculture.2016.07.035.
- 73.PENG, Xin; ZHONG, Zhenxiao; ZHONG, Hua et al. Histopathological observation and comparative transcriptome analysis reveal immune response mechanisms to Aeromonas dhakensis infection in Macrobrachium rosenbergii. Fish & Shellfish Immunology, v. 142, p. 109151, nov. 2023.
- 74.PILLAI, Devika; BONAMI, Jean Robert. A review on the diseases of freshwater prawns with special focus on white tail disease of *Macrobrachium rosenbergii*. Aquaculture Research, v. 43, n. 7, p. 1029-1037, 2012. DOI: https://doi.org/10.1111/j.1365-2109.2011.03061.x.
- 75. QIU, Liang; CHEN, Xing; ZHAO, Ruo-Heng; LI, Chen; GAO, Wen; ZHANG, Qing-Li; HUANG, Jie. Description of a natural infection with *Decapod Iridescent Virus 1* in farmed giant freshwater prawn, *Macrobrachium rosenbergii*. Viruses, v. 11, p. 354, 2019.
- 76. REGITANO, Jussara Borges; LEAL, Rafael Marques Pereira. Comportamento e impacto ambiental de antibióticos usados na produção animal brasileira. Revista Brasileira de Ciência do Solo, v. 34, p. 601-616, 2010.

- 77.RODRIGUES, Adriana Dalpicolli et al. Comparação das técnicas de captura de híbridos e PCR para a detecção de HPV em amostras clínicas. Jornal Brasileiro de Patologia e Medicina Laboratorial, v. 45, p. 457-462, 2009.
- **78. SAHOO, P.; PATTANAYAK, S.; PAUL, A.** *et al.* First record of *Metanophrys sinensis* (Protozoa: Ciliophora: Scuticociliatida) from India causing large-scale mortality in a new host *Macrobrachium rosenbergii* larvae. *Journal of Fish Diseases*, v. 41, n. 8, p. 1303-1307, 2018.
- 79.SAHUL HAMEED, A. S.; BONAMI, Jean-Robert. White tail disease of freshwater prawn, Macrobrachium rosenbergii. Indian Journal of Virology, v. 23, p. 134-140, 2012.
- 80.SAURABH, Shailesh; SAHOO, P. K. Major diseases and the defence mechanism in giant freshwater prawn, Macrobrachium rosenbergii (de Man). Proceedings of the National Academy of Sciences, India, Section B, v. 78, p. 103-121, 2008.
- 81. SAURABH, Shailesh; SAHOO, P. K. Major diseases and the defence mechanism in giant freshwater prawn, Macrobrachium rosenbergii (de Man). Proceedings of the National Academy of Sciences, India Section B: Biological Sciences, v. 78, 2008.
- **82. SHARSHAR, Kh. M.; AZAB, E. A.** Studies on diseased freshwater prawn *Macrobrachium rosenbergii* infected with *Vibrio vulnificus*. Pakistan Journal of Biological Sciences, v. 11, n. 17, p. 2092-2100, 2008.
- 83. SONTHI, M.; KASIKIDPONGPAN, N. Histopathological changes in the hepatopancreas (Macrobrachium rosenbergii) infected with microsporidian (Enterocytozoon hepatopenaei). Journal of Agricultural Research and Extension, v. 35, p. 1015-1020, 2018.
- 84. SØRUM, Henning. Antimicrobial drug resistance in fish pathogens. Antimicrobial resistance in bacteria of animal origin, p. 213-238, 2005. DOI: https://doi.org/10.1128/9781555817534.ch13.
- **85.SOTO-RODRIGUEZ, Sonia A.** *et al.* Virulence of Vibrio harveyi responsible for the "Brightred" Syndrome in the Pacific white shrimp Litopenaeus vannamei. **Journal of invertebrate pathology**, v. 109, n. 3, p. 307-317, 2012. DOI: https://doi.org/10.1016/j.jip.2012.01.006.
- 86. SRISALA, J.; PUKMEE, R.; MCINTOSH, R.

- et al. Distinctive histopathology of Spiroplasma eriocheiris infection in the giant river prawn Macrobrachium rosenbergii. Aquaculture, v. 493, p. 93-99, 1 ago. 2018.
- 87. SRIVASTAVA, Praveen Kumar. Achyranthes aspera: A potent immunostimulating plant for traditional medicine. International journal of pharmaceutical sciences and research, v. 5, n. 5, p. 1601, 2014. DOI: https://doi.org/10.13040/JPSR.0975.
- 88. STENTIFORD, G. D.; BASS, D.; WILLIAMS, B. A. Ultimate opportunists—the emergent Enterocytozoon group microsporidia. PLoS Pathogens, v. 15, n. 5, e1007668, 2019.
- 89.SU, Hung-Yi et al. Upregulation of actinlike gene expression in giant freshwater prawns Macrobrachium rosenbergii infected with Metschnikowia bicuspidata. Diseases of aquatic organisms, v. 66, n. 2, p. 175-180, 2005. DOI: https://doi.org/10.3354/dao066175.
- 90. SUKHUMSIRICHART, Wasana et al. Characterization and PCR detection of hepatopancreatic parvovirus (HPV) from Penaeus monodon in Thailand. Diseases of aquatic organisms, v. 38, n. 1, p. 1-10, 1999. https://doi:10.3354/dao038001.
- **91. TAKAHASHI, Yukinori** *et al.* Electron microscopic evidence of bacilliform virus infection in kuruma shrimp (Penaeus japonicus). **Fish Pathology**, v. 29, n. 2, p. 121-125, 1994.
- 92. TANGPRASITTIPAP, A.; SRISALA, J.; CHOUWDEE, S. et al. The microsporidian Enterocytozoon hepatopenaei is not the cause of white feces syndrome in whiteleg shrimp Penaeus (Litopenaeus) vannamei. BMC Veterinary Research, v. 9, n. 1, p. 1-10, 2013.
- 93. TANGPRASITTIPAP, Amornrat *et al.* The microsporidian Enterocytozoon hepatopenaei is not the cause of white feces syndrome in whiteleg shrimp Penaeus (Litopenaeus) vannamei. **BMC veterinary research**, v. 9, p. 1-10, 2013. DOI: https://doi.org/10.1186/1746-6148-9-139.
- 94. TOURTIP, S.; WONGTRIPOP, S.; STENTIFORD, G. D. et al. Enterocytozoon hepatopenaei sp. nov. (Microsporida: Enterocytozoonidae), a parasite of the black tiger shrimp Penaeus monodon (Decapoda: Penaeidae): fine structure and phylogenetic relationships. Journal of Invertebrate Pathology, v. 102, n. 1, p. 21-29, 2009.

- **95.TOURTIP, Somjintana** *et al.* Enterocytozoon hepatopenaei sp. nov. (Microsporida: Enterocytozoonidae), a parasite of the black tiger shrimp *Penaeus monodon* (Decapoda: Penaeidae): Fine structure and phylogenetic relationships. **Journal of invertebrate pathology**, v. 102, n. 1, p. 21-29, 2009.
- 96. VALENTE, Cecília de Souza; WAN, Alex H. L. Vibrio and major commercially important vibriosis diseases in decapod crustaceans. Journal of Invertebrate Pathology, v. 181, p. 107527, maio 2021.
- 97. VIJAYAN, K. K. et al. Incidence of white muscle disease, a viral like disease associated with mortalities in hatchery-reared postlarvae of the giant freshwater prawn *Macrobrachium rosenbergii* (De Man) from the south-east coast of India. Aquaculture Research, v. 36, n. 3, p. 311-316, 2005.
- 98.WANG, Guohao; GUO, Xiaomeng; ZHOU, Chengyan; LOU, Haoyu; LI, Xuan; YAO, Jiayun; DONG, Xuan; YANG, Guoliang; HUANG, Jie. Coinfection with infectious precocity virus and *Decapod iridescent virus 1* in farmed giant freshwater prawn (*Macrobrachium rosenbergii*). Aquaculture, v. 586, p. 740830, 30 maio 2024.
- 99. WANG, P-C.; LIN, Y-D.; LIAW, L-L.; CHERN, R-S.; CHEN, S-C. Lactococcus lactis subspecies lactis also causes white muscle disease in farmed giant freshwater prawns Macrobrachium rosenbergii. Diseases of Aquatic Organisms, v. 79, 2008.
- 100. WORLD ORGANISATION FOR ANIMAL HEALTH (WOAH). Animal diseases. Disponível em: https://www.woah.org/en/what-we-do/animal-health-and-welfare/animal-diseases/?_paged=4. Acesso em: 23 fev. 2025.
- 101. XING, Jing-Yi; LI, An-Qi; GUO, Xiao-Meng; WANG, Meng; GUAN, Xin; QIU, Liang; ZHANG, Qing-Li; HUANG, Jie. Optimizing the nested PCR method for *Decapod iridescent virus* 1 (DIV1) targeting ATPase gene by reselecting the inner primers. *Journal of Invertebrate Pathology*, v. 207, p. 108212, nov. 2024.
- **102. XU, Limei** *et al.* Isolation and preliminary characterization of a new pathogenic iridovirus from redclaw crayfish Cherax quadricarinatus. **Diseases of Aquatic Organisms**, v. 120, n. 1, p. 17-26, 2016.
- 103. ZAKARIAH, Mohd Ihwan; MOHD DAUD, Hassan Haji; ABDULLAH,

- Mhd. Ikhwanuddin; WAHAB, Wahidah; ABDULLAH, Farizan; MOHAMMED YUSOFF, Nor Asma Husna; DRAMAN, Ahmad Shuhaimi; HASSAN, Marina. [Titulo do artigo]. JIPK (Jurnal Ilmiah Perikanan dan Kelautan), v. 14, n. 1, p. 142–149, 2022.
- 104. ZHANG, Qingli et al. A new nodavirus is associated with covert mortality disease of shrimp. Journal of General Virology, v. 95, n. 12, p. 2700-2709, 2014. DOI: https://doi.org/10.1099/vir.0.070078-0.
- 105. ZHAO, Caiyuan *et al.* A novel disease (water bubble disease) of the giant freshwater prawn *Macrobrachium rosenbergii* caused by Citrobacter freundii: antibiotic treatment and effects on the antioxidant enzyme activity and immune responses. **Antioxidants**, v. 11, n. 8, p. 1491, 2022. DOI: https://doi.org/10.3390/antiox



pixabav.com

Patricia Mirella da Silva^{1*}, Rachel Costa Sabry²,

Ana Clara Fernandes de Moraes³,

Darlânia Santos da Silva¹, Aldevan de Lima Silva²

¹Laboratório de Imunologia e Patologia de Invertebrados Marinhos (LABIPI), Departamento de Biologia Molecular, Universidade Federal da Paraíba, João Pessoa, PB

²Laboratório de Patologia de Organismos Aquáticos, Instituto Federal de Educação, Ciência e Tecnologia do Ceará, Campus Aracati, CE ³Laboratório de Doenças de Animais Aquáticos, Departamento de Medicina Veterinária Preventiva, Escola de Veterinária, Universidade

Federal de Minas Gerais, Belo Horizonte MG

*autor para correspondência: mirella dasilva@hotmail.com

1. Introdução

Os moluscos bivalves, assim como outros animais, podem ser acometidos por infecções e doenças. A seguir, serão abordados os principais parasitas e patologias que afetam bivalves, devido ao Nesta revisão, são discutidas, em uma visão geral, as infecções virais, bacterianas e fúngicas, além das principais técnicas de diagnóstico, como histopatologia, PCR e novas abordagens genômicas. O capítulo também destaca estratégias de biossegurança, medidas preventivas e desafios enfrentado.

seu alto impacto na produção. Algumas publicações recentes revisaram a ocorrência desses parasitas no Brasil (da Silva et al., 2024b; Queiroga et al., 2022; Silva et al., 2022).

2. Neoplasia disseminada

A neoplasia disseminada (ND) é um tipo de câncer que ocorre em alguns bivalves, nos quais células anormais (grandes, arredondadas e anaplásicas) surgem na hemolinfa e nos espaços do sistema circulatório – por isso, suspeita-se que tenha origem nos hemócitos, as células

de defesa –, podendo ocasionar a morte do animal (vide revisão de Carballal et al., 2015). Essa patologia foi relatada em vários bivalves, entre eles Mya arenaria, Cerastoderma edule, Mercenaria mer-

cenaria, Mytilus trossulus, Mytilus edulis e Ostrea edulis, e, para a maioria, já se comprovou que se trata de um câncer transmissível (Hammel et al., 2022; Metzger et al., 2016, 2015; Skazina et al., 2021). No Brasil, a ND ocorre com baixa prevalência em ostras C. rhizophorae da Bahia e C. gasar da Paraíba (Fig. 1A). Na ostra C. gasar, alguns espécimens apresentaram a A neoplasia disseminada
(ND) (...) surge na
hemolinfa e nos espaços
do sistema circulatório
(...), podendo ocasionar a
morte do animal (...) em
vários bivalves, entre eles
Mya arenaria, Cerastoderma
edule, Mercenaria mercenaria,
Mytilus trossulus.,
Mytilus edulis e Ostrea
edulis, e para a maioria já se
comprovou que se trata de
um câncer transmissível.

Destacam-se duas infecções virais associadas à mortalidade em massa e perdas econômicas significativas em populações de ostras: a doença das brânquias [iridovírus] que afetou a ostra portuguesa Crassostrea angulada (...) e [o] herpesvírus 1 da ostra OsHV-1, (...), afetando larvas, sementes e adultos da ostra japonesa Magallana gigas.

doença avançada (*vide* revisão de Queiroga *et al.*, 2022).

3. Vírus

As doenças causadas por vírus são de difícil detecção e caracterização, pois não há culturas celulares de moluscos estabelecidas para sua proliferação e estudo, havendo a necessidade da realizar análises por

técnicas elaboradas e onerosas, como a microscopia eletrônica de transmissão, a reação em cadeia da polimerase e o sequenciamento do genoma (Rosani *et al.*, 2023). Apesar dessa dificuldade, ao longo dos anos, já foram registradas

em moluscos infecções por iridovírus, herpesvírus, papovírus, togavírus, retrovírus, reovírus, birbavírus e picornavírus (vide revisão de Arzul., 2017). Destacam-se duas infecções virais associadas a mortalidade em massa e perdas econômicas significativas em populações de ostras: a doença das brânquias, causada por um iridovírus que afetou a ostra

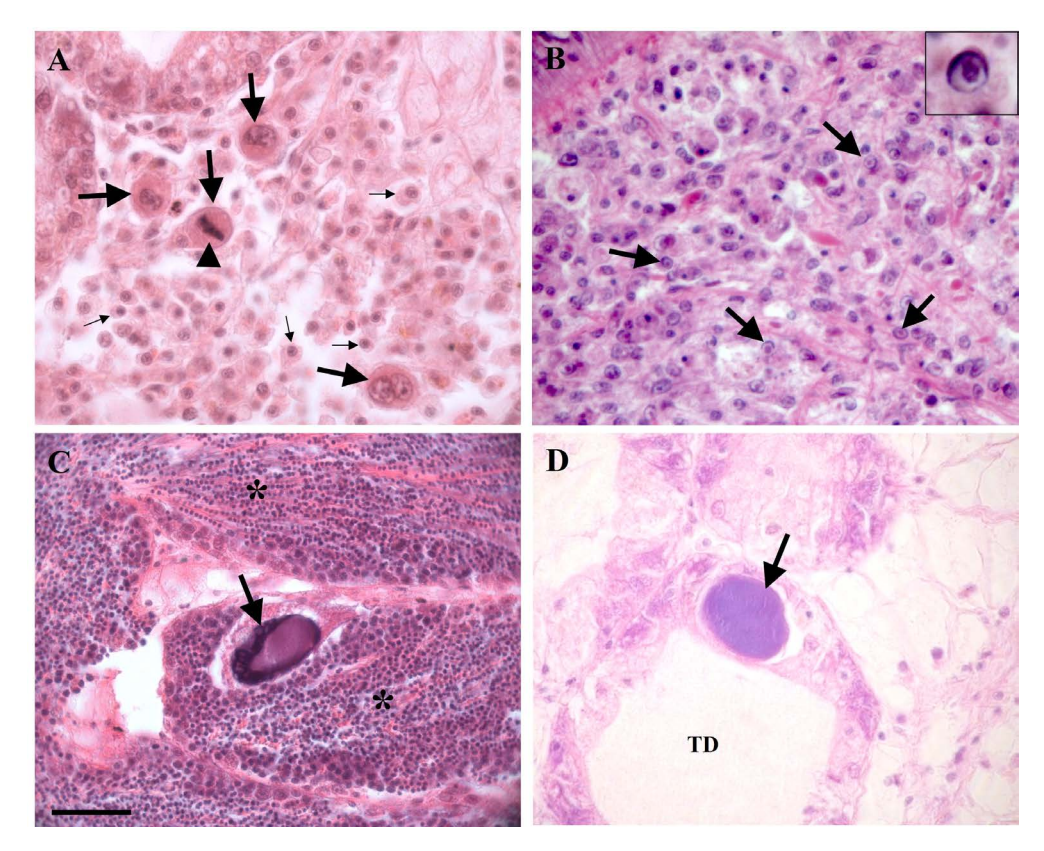


Figura 1. Fotomicrografias de tecidos de bivalves. A. Tecido conjuntivo de uma ostra *C. gasar* com presença de quatro células neoplásicas (setas). Observar a presença de figura mitótica (ponta de seta) denotando proliferação celular, o grande tamanho celular e nuclear dessas células em comparação com o tamanho normal dos hemócitos infiltrados (setas finas). B. Tecido conjuntivo de uma ostra *O. edulis* com abundantes células infectadas por herpesvírus. Na ampliação, detalhe de um núcleo hipertrofiado com a cromatina periférica (basófila) e uma inclusão acidófila. C. Folículos de um indivíduo macho da ostra *C. gasar* mostrando inúmeros gametas em desenvolvimento (*) e uma célula com núcleo hipertrofiado com a cromatina condensada na periferia (seta). D. Célula do epitélio de um túbulo digestivo (TD) contendo uma grande colônia bacteriana do tipo *Ricketssia* (seta). Observar o aspecto granular e a coloração basófila da colônia. Barra = 100 μm. Fotos: Patricia Mirella da Silva.

portuguesa *Crassostrea angulada* cultivada na França, na década de 70 (Comps, 1988), mas sem novos relatos; e a infecção pelo herpesvírus 1 da ostra OsHV-1, que surgiu em 2001, na França, e persiste até hoje, afetando larvas, *sementes* e adultos da ostra japonesa *Magallana gigas*. Em 2008, houve o surgimento

de uma microvariante (µVar), que proliferou rapidamente por diferentes populações de ostras *M. gigas* da Europa, Oceania e Ásia, provocando mortalidade em massa e tornando o OsHV-1 o patógeno mais impactante desta espécie (WOAH, 2019). Investigações recentes concluíram que as mortalidades por herpesvírus foram decorrentes tanto da infecção primária pela μVar do OsHV-1, como da subsequente infecção por espécies de *Vibrio* (Dotto-Maurel *et al.*, 2025; Petton *et al.*,

No Brasil, no caso do vírus OsHV-1 houve apenas o registro do DNA em ostras *M. gigas* e *C. gasar* de Santa Catarina, mas não quaisquer sinais da doença.

rhizophorae no nordeste e no sul do país, também sem comprometimento da saúde (vide revisão de Queiroga et al., 2022).

2021), portanto é considerada uma patologia multifatorial. Apesar das dificuldades em se detectar vírus, as infecções por OsHV-1 podem ser eventualmente diagnosticadas em cortes histológicos, como no caso da ostra plana europeia *O. edulis* (Fig. 1B).

4. Bactérias

Outra enfermidade bastante relatada em diferentes bivalves de vários países, de origem potencialmente viral Existem vários grupos de bactérias que fazem relações parasitárias e patogênicas com os bivalves, como, por exemplo, as dos gêneros *Aliiroseovarius, Rickettsia, Nocardia* e *Vibrio* (*vide* revisão de Travers *et al.*, 2015).

(papilomavírus e poliomavírus) é a que afeta gametas – causando um aumento expressivo do seu tamanho, sendo, por isso, denominada de hipertrofia gametocítica viral (HGV) (Fig. 1C) –, mas que não agrava a saúde do hospedeiro (Arzul *et al.*, 2017).

O ambiente marinho, assim como a microbiota dos bivalves, é abundante em espécies de *Vibrio*. No entanto, existem representantes desse gênero

No Brasil, no caso do vírus OsHV-1, houve

que causam patologias e, consequentemente, eventos de mortalidade em massa, como exemplos: V. tubiashii/V. europaeus, V. ostreicida, V. coralliilyticus, Vibrio aestuarianus e os do clado Splendidus, afetando especialmente larvas produzidas nos laboratórios de produção de sementes de bivalves, além de

apenas o registro do DNA em ostras *M. gigas* e *C. gasar* de Santa Catarina, mas não foram relatados quaisquer sinais da doença (Mello *et al.*, 2018). Já a HGV foi diagnosticada em análises histopatológicas de ostras nativas *C. gasar* e *C.*

indivíduos adultos e juvenis (Cao et al., 2025; Destoumieux-Garzón et al., 2020); por isso, infecções por Vibrio têm grande implicação para o setor produtivo. As bactérias Aliiroseovarius crassostreae causam a doença conhecida

(...) mortalidade
em massa (...) [por]
Vibrio tubiashii/V.
europaeus, V. ostreicida,
V. coralliilyticus, V.
aestuarianus e os do
clado Splendidus,
afetando especialmente
larvas produzidas nos
laboratórios de produção
de sementes de bivalves.

como doença juvenil da ostra ou doença da ostra Roseovarius, que afeta sementes da ostra americana Crassostrea virginica, deformando a concha, reduzindo o crescimento e levando à morte do hospedeiro (Kessner et al., 2016).

Já as bactérias do gênero *Rickettsia* são

parasitas intracelulares obrigatórios, que formam colônias em células do epitélio das brânquias e da glândula digestiva de bivalves, facilmente observadas em cortes histológicos (Fig. 1D). Apesar de serem frequentes, ocorrem com baixa intensidade e em infecções assintomáticas, o que leva a sugerir que sejam endosimbiontes comensais (Del Carmen

Guarneros Martínez *et al.*, 2024), entretanto, em algumas ocasiões, foram associadas a mortalidades (Travers *et al.*, 2015). Recentemente, um estudo evidenciou alterações macroscópicas na concha e no man-

to (presença de *bolhas*) de *M. gigas* associadas a inclusões bacterianas do tipo *Rickettsia* em vários epitélios do animal e com necrose (Carvalho-Saucedo *et al.*, 2019).

A nocardiose é uma infecção por bactérias filamentosas Gram-positivas

Recentemente, um estudo evidenciou alterações macroscópicas na concha e no manto (presença de bolhas) de M. gigas associadas a inclusões bacterianas do tipo Rickettsia em vários epitélios do animal e com necrose.

do gênero *Norcardia*, que afeta alguns bivalves, causando alterações em ocasiões visíveis a olho nu, como a presença de pústulas amareladas no manto, nas brânquias e no músculo adutor. A espécie *Norcardia crassostrea* foi identificada infectando *M. gigas*, e a nocardiose já foi relatada em diferentes bivalves,

geralmente sem ocasionar mortalidades (Carella et al., 2013; Cutarelli et al., 2023; Travers et al., 2015). Em moluscos bivalves da costa brasileira, nenhuma mortalidade por infecções bacterianas foi reportada na literatura. No entanto, houve registro de infecções por *Rickettsia* em diversos bivalves e regiões do país, sempre em baixa intensidade e sem associação

patológica (Queiroga et al., 2022).

Norcardia crassostrea foi identificada infectando M. gigas, e a Nocardiose já foi relatada em diferentes bivalves, geralmente sem ocasionar mortalidades.

5. Protozoários

Os protozoários estão entre os microrganismos parasitas mais impactantes à saúde dos bivalves, especialmente

quando se trata de animais submetidos a condições de cultivo (Lauckner, 1983); alguns podem causar eventos de mortalidade em massa e prejuízos econômicos à ostreicultura. Por essa razão, são considerados de notificação obrigatória à Organização Mundial de Saúde Animal (WOAH). No Código de Saúde Animal Aquática da WOAH, estão listados, para moluscos, os seguintes protozoários: *Marteilia refringens*,

Bonamia ostreae e B. exitiosa, Perkinsus marinus e P. olseni (WOAH, 2025). O protozoário M. refringens afeta a ostra O. edulis, causando a doença da glândula digestiva, pois este é o órgão mais infectado; hoje ela é denominada de marteiliose. O primeiro caso ocorreu em 1968, na França, acarretando mor-

talidade massiva. A doença se espalhou pela Europa e gerou um declínio das populações dessa espécie nativa. A dinâmica de infecção do parasita está associada à presença de hospedeiros intermediários e à temperatura da água; as infec-

ções começam no início da primavera e aumentam no inverno (*vide* revisão de Carrasco *et al.*, 2015).

Os protozoários *B. ostreae* e *B. exitiosa* afetam ostras do gênero *Ostrea,* provocando a doença inicialmente chamada de

doença das microcélulas, devido à presença de microcélulas do parasita no interior da célula infectada; hoje ela é denominada bonamiose (*vide* revisão de Arzul e Carnegie, 2015). O parasita se divide intracelularmente nos hemócitos, propagando-se pela hemolinfa através da qual alcança outros órgãos, causando infiltração hemocitária severa, alterações fisiológicas e a morte

No Código de Saúde Animal Aquática da WOAH estão listados, para moluscos, os seguintes protozoários: Marteilia refringens, Bonamia ostreae e B. exitiosa, Perkinsus marinus e P. olseni. do hospedeiro. O primeiro caso de *B. ostreae* foi registrado na ostra europeia *O. edulis,* em 1979, gerando a segunda onda de mortalidade em massa desta espécie na França, após a marteiliose. Posteriormente, a doença se espalhou

pela Europa e contribuiu para mais uma redução considerável das populações naturais de *O. edulis. B. exitiosa* foi observada pela primeira vez em 1986, na Nova Zelândia, após surtos de mortalidade em massa na ostra *O. chilensis*;

atualmente *B. exitio-sa* já se encontra disseminada também na Europa afetando a ostra europeia. A bonamiose é transmitida durante todo o ano, com altas pre-

valências ocorrendo no inverno e na primavera, e não há forma de erradicá-la (Arzul e Carnegie, 2015).

Os protozoários do gênero *Perkinsus* estão entre os parasitas mais impactantes para bivalves. O gênero inclui sete

B. ostreae e B. exitiosa afetam ostras do gênero Ostrea, provocando a doença das microcélulas (...) denominada Bonamiose..

espécies reconhecidas (P. marinus, P. olseni, P. chesapeaki, P. mediterraneus, P. honshuensis, P. beihaiensis e P. qugwadi), que afetam bivalves e gastrópodes (vide revisão de Villalba et al., 2011). O ciclo de vida de Perkinsus é direto e não inclui hospedeiros

intermediários, o que pode ter contribuído para a ampla distribuição geográfica registrada hoje, ocorrendo em praticamente todos os continentes (Choi e Park, 2010; da Silva *et al.*, 2024b; Ek-Huchim *et al.*, 2017; Gao *et al.*, 2024; Villalba *et al.*, 2011). Nos tecidos, os trofozoítos, células de 5-10 μm, com vacúolo central e núcleo excêntrico

(Fig. 2A) se desenvolvem por proliferação vegetativa (esquizogonia), dando origem a mais trofozoítos, que invadem os tecidos até levar o animal à morte, em hospedeiros suscetí-

veis. No tecido morto, os trofozoítos aumentam significativamente de tamanho, dando origem aos pré-zoosporângios (hipnósporos), que, após a decomposição do animal, são soltos na água do mar, induzindo a zoosporulação e posterior liberação de zoósporos biflagelados, aptos a infectarem um novo hospedeiro. A resposta de defesa do hospedeiro

Perkinsus estão entre os parasitas mais impactantes para bivalves. O gênero inclui sete espécies reconhecidas (P. marinus, P. olseni, P. chesapeaki, P. mediterraneus, P. honshuensis, P. beihaiensis e P. qugwadi), que afetam bivalves e gastrópodes.

No Brasil,

l). Nos tecide 5-10 μm, em 2008, em excêntrico rais do Ceará

No Brasil, a primeira
ocorrência de *Perkinsus* foi da espécie *P. beihaiensis*,

frente a *Perkinsus* spp. é a fagocitose ou o encapsulamento (Soudant *et al.*, 2013). A detecção de *Perkinsus* é feita pelo método de incubação de tecidos em meio de tioglicolato, por alguns dias e no escuro, e posterior coloração com lugol e análise ao

microscópio (Dungan e Bushek, 2015). Nessa preparação, observam-se os hipnósporos, que são as células aumentadas da fase de trofozoíto do parasita encontrado nos tecidos (Fig. 2B).

No Brasil, a primeira ocorrência de *Perkinsus* foi da espécie *P. beihaiensis*, em 2008, em ostras *C. rhizophorae* naturais do Ceará (Sabry *et al.*, 2009, 2013).

Desde então, outras populações de ostras e amêijoas cultivadas e selvagens foram estudadas em oito estados litorâneos e resultaram na detecção de quatro espécies do parasita, *P*.

marinus, P. olseni, P. beihaiensis e P. chesapeaki, as quais infectaram, em sua maioria, espécies de ostras, C. rhizophorae, C. gasar e M. Gigas, e uma amêijoa, Anomalocardia brasiliana (da Silva et al., 2024b). Os índices parasitários (prevalência e intensidade de infecção) registrados nesses estudos variaram entre os locais e as espécies do parasita e hospe-

em 2008, em ostras C.

rhizophorae naturais do

Ceará.

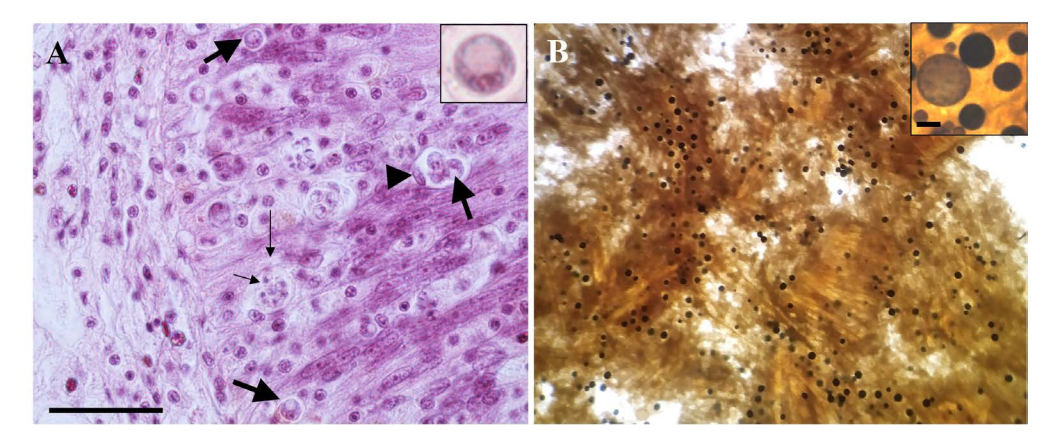


Figura 2. Fotomicrografias de tecidos de bivalves. A. Epitélio do intestino de uma ostra *C. gasar* com presença de inúmeros trofozoítos de *Perkinsus* sp. de tamanhos diferentes (setas). Observar o núcleo da célula fagocítica (ponta de seta). Na ampliação, detalhe de um trofozoíto destacando seu grande vacúolo, núcleo excêntrico e nucléolo evidente. B. Aspecto microscópico das brânquias maceradas e coradas com lugol de uma ostra *C. gasar* moderadamente infectada por *Perkinsus* sp. Na ampliação, detalhes dos hipnósporos do parasita, os quais adquirem coloração que varia de cinza a preto. Barras = 50 μm. Fotos: Patricia Mirella da Silva (A) e Darlânia Santos da Silva (B).

No Brasil, Bonamia spp. e

Marteilia spp. não foram

registradas em bivalves, e

até o momento não houve

registros de mortalidade

em massa ocasionada por

infecções por Perkinsus spp.

deiras, denotando relações parasitárias diferentes (da Silva *et al.*, 2024a). Não houve variações significativas entre as

estações do ano, no entanto cabe ressaltar que os estudos realizados foram na região Nordeste, onde o clima é subtropical e com menos flutuações de temperatura. No litoral norte de Santa Catarina,

estado que concentra a maior produção de ostras *M. gigas* do Brasil, *P. marinus* foi detectado nesta espécie e em *C. gasar*, enquanto *P. beihaiensis* ocorreu somente na ostra *C. gasar* (Luz Cunha *et al.*, 2019).

No Brasil, *Bonamia* spp. e *Marteilia* spp. não foram registradas em bivalves,

e até o momento não houve registros de mortalidade em massa ocasionada por infecções por *Perkinsus* spp. No entanto,

é importante monitorar os índices parasitários de *Perkinsus* spp., pois *P. marinus* foi associado à mortalidade em ostras *M. gigas* no México (Enríquez-Espinoza *et al.*, 2010), apesar de esta espécie ser considerada

bastante resistente a infecções por protozoários em geral.

Outros protozoários de baixo ou nenhum impacto foram relatados em bivalves no Brasil, como *Nematopsis* spp. (Apicomplexa: Porosporidae). Esses são parasitas intracelulares que utilizam moluscos bivalves como hospedeiros intermediários. tendo os crustáceos decápodes como hospedeiros finais. Nos bivalves, oocistos elipsoides, com espessa, membrana contendo um esporozoíto interno (Fig. 3A), são observados frequentemente nas brânquias e no manto de bivalves. Geralmente ocorrem em baixa intensidade e

não causam alterações nos tecidos dos animais infectados. *Nematopsis* sp. já foi relatado em diferentes bivalves de vários continentes (Zainathan *et al.*, 2022), e no Brasil a ocorrência foi relatada em ostras (Mendes *et al.*, 2023; Queiroga *et al.*, 2022), no sururu *Mytella guyanensis* em estuários da Bahia e da Amazônia (Azevedo e Matos, 1999; Camilo *et al.*, 2019; Ceuta e Boehs, 2012), no mexilhão *Perna perna* do Rio de Janeiro (Lima *et al.*, 2001) e na amêijoa *A. brasiliana* da Bahia (Boehs *et al.*, 2010).

Uma alteração do tipo xenoma foi observada, em uma única ocasião, em ostras *C. rhizophorae* da Bahia (Luz e Boehs, 2015), sem grandes danos ao hospedeiro. Nessa condição patológica, microrganismos – no caso de moluscos, são ciliados do gênero *Sphenophrya* – formam complexos xenoparasitários, que são lesões hipertrofiadas intracelulares (Bower e McGladdery, 2006; McGurk *et al.*, 2016). Esses xenomas

Nematopsis sp. já foi relato em diferentes bivalves de vários continentes (Zainathan et al., 2022) e no Brasil ... em ostras, no sururu Mytella guyanensis de estuários da Bahia e da Amazonia, no mexilhão

Perna perna do Rio de

Janeiro e na almeijôa A.

brasiliana da Bahia.

são considerados raros.

6. Metazoários

Os metazoários, eucariotos multicelulares, incluem uma diversa gama de parasitas, sendo os trematódeos digenéticos (*Platyhelminthes*) considerados de maior relevância para bivalves (Mahony *et al.*, 2022), especialmente os da

família Bucephalidae. No entanto, outros metazoários, como cestódeos e poliquetas escavadores, são comuns em bivalves.

Os bivalves são hospedeiros intermediários de bucefalídeos, nos quais larvas miracídios penetram e desenvolvem-se em esporocistos, que darão origem a larvas cercárias. Quando o bivalve é consumido por hospedeiros intermediários (peixes), as cercárias se transformam em metacercárias; e, quando esses peixes são consumidos pelo hospedeiro final, o ciclo de vida se completa, dando origem à forma adulta do parasita. Como os esporocistos se alojam e proliferam no manto, tecido que nos bivalves forma os folículos reprodutivos, os esporocistos causam a castração (Lauckner, 1983).

No Brasil, os bucefalídeos dos gêneros Bucephalus e Prosorhynchoides já foram registrados em bivalves. Os primeiros estudos foram realizados em

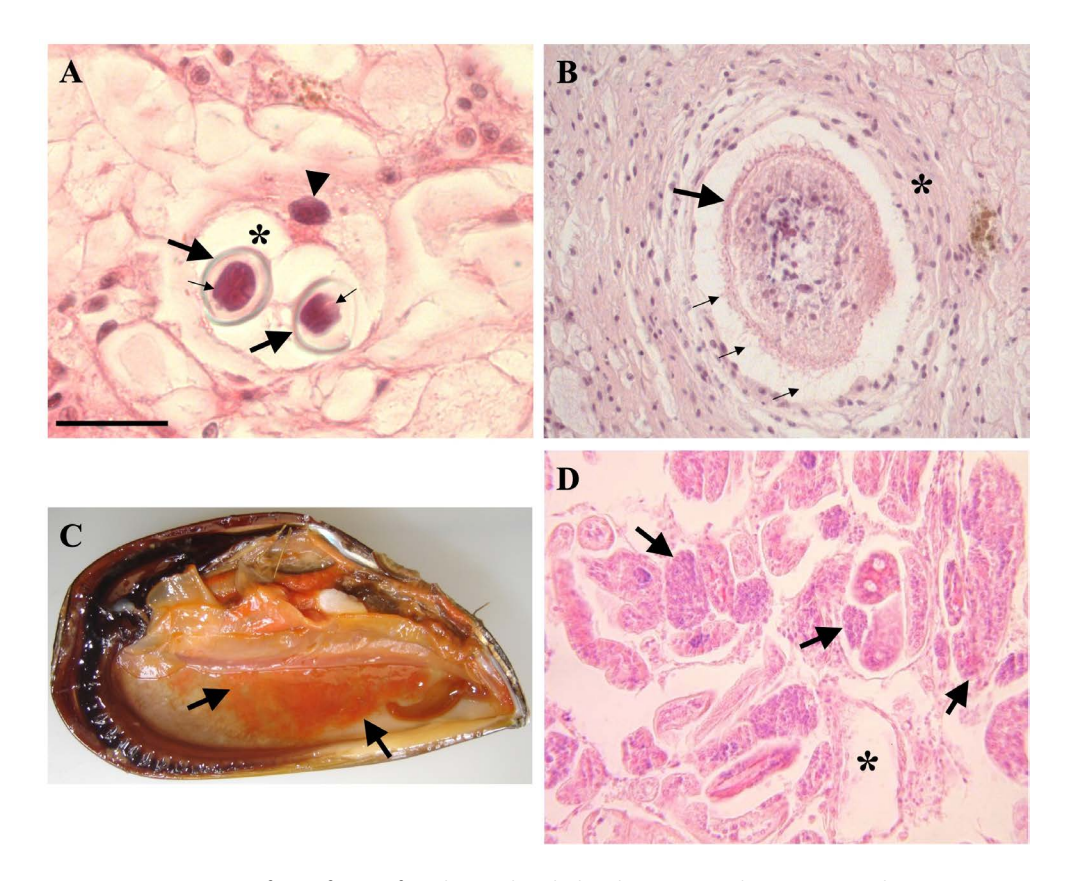


Figura 3. Fotomicrografias e fotografias de tecidos de bivalves. A. Tecido conjuntivo de uma ostra *C. gasar* com presença de *Nematopsis* sp. fagocitado. Observar o núcleo da célula fagocítica (ponta de seta) e dois oocistos com parede espessa refringente (setas) contendo esporozoítos basófilos (setas finas) dentro de um vacúolo parasitóforo (*). B. Larva metacestódeo de *Tylocephalum* sp. (seta) no tecido conjuntivo de uma ostra *C. gasar*. Observar as camadas de hemócitos sobrepostas formando o encapsulamento (*) e a deposição de material fibroso (setas finas) entre a cápsula e a larva (seta). C. Fotografia de um mexilhão *Perna perna* sem uma das valvas, mostrando o manto altamente infectado por esporocistos de *Bucephalus* sp. de coloração alaranjada (setas). D. Manto de um mexilhão *P. perna* com castração parasitária por *Bucephalus* sp.. Observar as massas germinativas e cercárias (setas) dentro dos esporocistos e um folículo inativo, sem desenvolvimento de gametas (*). Barra = 20 μm (A e B), Barra = 100 μm (D). Fotos: Patricia Mirella da Silva (A-B), Carlos Henrique Gomes (C) e Rachel Costa Sabry (D).

mexilhões P. perna em Santa Catarina, elucidado (Marchiori et al., 2010). A

onde Bucephalus sp. foi relatado causando castração do hospedeiro (da Silva et al., 2002), e seu ciclo de vida foi

No Brasil, os bucefalídeos dos gêneros *Bucephalus* e *Prosorhynchoides* já foram registrados em bivalves.

doença afeta tanto machos quanto fêmeas e pode alcançar intensidades altas, com castração total do animal, sem a possibilidade de identificação do sexo. A detecção de bucefalídeos em bivalves é relativamente fácil, pois os esporocistos vistos macroscopicamente têm coloração alaranjada (Fig. 3C). No entanto, é por meio de cortes histológicos que os esporocistos são quantificados, e a intensidade

de infecção determinada, assim como o grau de castração (da Silva et al., 2002) (Fig. 3D). Além da castração do hospedeiro, o parasitismo pode reduzir o crescimento e levar à morte. Recentemente, um diagnóstico molecular foi aplicado pela primeira vez em amostras de P. perna infectadas por bucefalídeos do estado do Rio de Janeiro, que identificou Prosorhynchoides sp. (de Oliveira et al., 2022). Na Europa, o bucefalídeo

B. minimus causou a castração na amêijoa Cerastoderma spp. (Correia et al., 2023; Magalhães et al., 2017)

No Brasil, além de mexilhões, que parecem

ser os hospedeiros intermediários suscetíveis, bucefalídeos foram identificados, de forma esporádica, em ostras *C. Rhizophorae*, na Bahia, e no Ceará (Luz e Boehs, 2015; Romão *et al.*, 2014), no sururu *M. Guyanensis*, na Bahia (Zeidan

No Brasil (...)
hospedeiros
intermediários
suscetíveis [de]
bucefalídeos foram
identificados (...) em
ostras *C. rhizophorae*,
na Bahia e no Ceará, no
sururu *M. guyanensis*,
na Bahia, e na amêijoa *A. brasiliana*, no Ceará.

et al., 2012), e na amêijoa A. Brasiliana, no Ceará, neste último com prevalência moderada (Romão et al., 2014).

O cestódeo Tylocepalum sp. tem como hospedeiros de-

O cestódeo *Tylocepalum* sp. tem como hospedeiros definitivos peixes, sendo os bivalves hospedeiros intermediários em seu ciclo de vida. Larvas

do parasita aparecem encapsuladas no tecido conjuntivo de vários órgãos (manto, brânquia, gônada e glândula digestiva), em decorrência da reação de defesa do hospedeiro frente à invasão (Bower, 2010). No Brasil, larvas (metacestódeos) de *Tylocephalum* sp. foram observadas encapsuladas nos tecidos de bivalves (Fig. 3B), mas com baixa intensidade e prevalência, como em ostras (*vide* revisão de Queiroga *et*

al., 2022), no sururu M. Guyanensis, na Bahia (Ceuta e Boehs, 2012), e na amêijoa Iphigenia brasiliana, na Bahia (Boehs et al., 2010) e com maiores prevalên-

cias em A. Brasiliana, no Ceará (Romão et al., 2014).

Os poliquetas escavadores, especialmente do gênero *Polydora*, causam alterações profundas na concha de bivalves; eles escavam a concha formando *bolhas* e túneis contendo sedimentos deposi-

No Brasil, larvas

(metacestódeos) de

Tylocephalum sp. foram

observadas encapsuladas

nos tecidos de bivalves.

tados pelo animal, e o bivalve se defende recobrindo essas estruturas (Fig. 4A), dispendendo energia que poderia ser utilizada para seu cres-

utilizada para seu crescimento. Em infestações avançadas, a infestação pode atingir as partes moles, como manto e músculo adutor, comprometendo o fechamento da concha e deixando o animal sujeito à predação (Bower, 2010; Martinelli *et al.*, 2024). Os túneis ficam com coloração cinza-escuro, e, ao abri-los, observa-se a presença dos poliquetas, que podem ser identificados em análises por micros-

copia (Radashevsky, 2024). O principal

problema decorrente das infestações é

aspecto e cheiro desagradáveis que con-

Ostracoblabe inplexa
(...) infesta a concha
de ostras, causando a
enfermidade conhecida
como mal-do-pé.

ferem, fator que reduz o valor comercial do produto.

Esses poliquetas escavadores são muito frequentes em ostras

cultivadas, como na ostra O. Edulis, na Europa (Galosi et al., 2024), M. Gigas, nos Estados Unidos (Martinelli et al., 2024), e C. Virginica, no México (Cole et al., 2020). No Brasil, poliquetas escavadores são comumente encontrados em ostras M. gigas, C. gasar e C. rhizophorae, tanto de populações naturais como cultivadas e também de outros bivalves, como mexilhões P. perna, amêijoas A. brasiliana e vieiras, Nodipecten nodosus (da Silva et al., 2015; Romão et al., 2014; Sühnel et al., 2016).



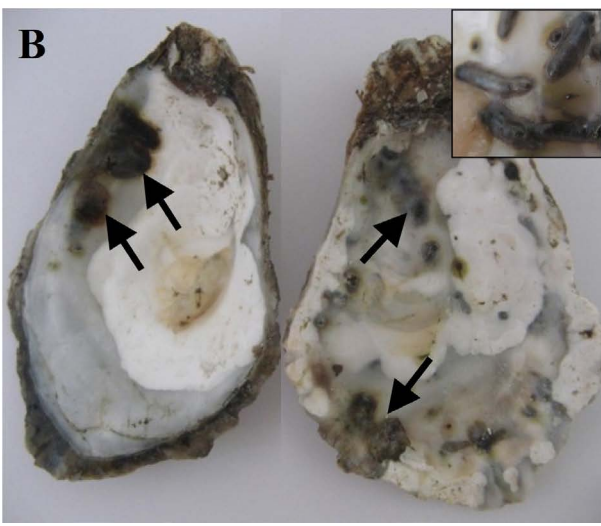


Figura 4. Fotografias de valvas de ostras. **A.** Alteração da concha na região da ligação do musculo adutor (seta) ocasionada por *Ostracoblabe implexa*. Observar a tonalidade creme e o aspecto rugoso da superfície interna da concha na região afetada. **B.** Duas valvas de ostras com infestação por poliquetas escavadores. Observar os túneis e as *bolhas* de coloração escura (setas) ampliadas no detalhe. Fotos: Patricia Mirella da Silva.

7. Fungos

Os fungos, eucariotos unicelulares ou pluricelulares, também podem ocasionar doenca em bivalves, a exemplo, Ostracoblabe inplexa, que infesta a concha de ostras causando a enfermidade conhecida como mal-do-pé. As infecções por este fungo podem alcançar o músculo adutor e prejudicar o fechamento da concha (Bower, 2001), ou ainda alterar o aspecto normal da concha, prejudicando a comercialização (Fig. 4B). No Brasil, O. implexa foi registrado nos bivalves M. gigas, C. rhizophorae e Pteria hirundo, cultivados em Santa Catarina (Sabry e Magalhães, 2005; Sühnel et al., 2016).

8. Referências Bibliográficas

- Arzul, I., Carnegie, R.B., 2015. New perspective on the haplosporidian parasites of molluscs. J Invertebr Pathol 131, 32–42. DOI: https://doi. org/10.1016/j.jip.2015.07.014.
- Arzul, I., Corbeil, S., Morga, B., Renault, T., 2017.
 Viruses infecting marine molluscs. J Invertebr Pathol 147, 118–135. DOI: https://doi.org/10.1016/j.jip.2017.01.009.
- 3. Azevedo, C., Matos, E., 1999. Description of Nematopsis mytella n. sp. (Apicomplexa), parasite of the mussel Mytella guyanensis (Mytelidae) from the Amazon estuary and description of its oocysts. Eur J Protistol 35, 427–433. DOI: https://doi.org/10.1016/S0932-4739(99)80052-2.
- Boehs, G., Villalba, A., Ceuta, L.O., Luz, J.R., 2010. Parasites of three commercially exploited bivalve mollusc species of the estuarine region of the Cachoeira river (Ilhéus, Bahia, Brazil). J Invertebr Pathol 103, 43–47. DOI: https://doi. org/10.1016/j.jip.2009.10.008.
- Bower, S., McGladdery, S., 2006. Synopsis of Infectious Diseases and Parasites of Commercially

- Exploited Shellfish: Haemocytic Neoplasia of Oysters [WWW Document]. URL http://www.dfo-mpo.gc.ca/science/aah-saa/diseases-mala-dies/hnoy-eng.html.
- Bower, S.M., 2010. Synopsis of infectious diseases and parasites of commercially exploited shellfish [WWW Document]. URL https://www.dfo-mpo.gc.ca/science/aah-saa/diseases-maladies/index-eng.html.
- Bower, S.M., 2001. Ostracoblabe implexa (Shell Disease) of Oysters. [WWW Document]. Synopsis of Infectious Diseases and Parasites of Commercially Exploited Shellfish.
- 8. Camilo, V.M.A., Souza, J.D.C., Freitas, F. De, Miranda, F.S. de, Campiolo, S., Boehs, G., 2019. Parasitism by Nematopsis sp. (Apicomplexa: Eugregarinida) in Mytella guyanensis at the Marine Extractive Reserve Baía do Iguape, Bahia, Brazil. Braz J Vet Res Anim Sci 55, e145204. DOI: https://doi.org/10.11606/issn.1678-4456. bjyras.2018.145204.
- Cao, A., Travers, M., Varela, T., Villalba, A., 2025. Infection with Vibrio aestuarianus limits the utility of increasing resistance of Pacific oyster Crassostrea (Magallana) gigas against OsHV-1 μVar. Dis Aquat Organ 161, 55–67. DOI: https:// doi.org/10.3354/dao03838.
- Carballal, M.J., Barber, B.J., Iglesias, D., Villalba, A., 2015. Neoplastic diseases of marine bivalves. J Invertebr Pathol 131, 83–106. DOI: https://doi. org/10.1016/j.jip.2015.06.004.
- Carella, F., Carrasco, N., Andree, K.B., Lacuesta, B., Furones, D., De Vico, G., 2013. Nocardiosis in Mediterranean bivalves: First detection of Nocardia crassostreae in a new host Mytilus galloprovincialis and in Ostrea edulis from the Gulf of Naples (Italy). J Invertebr Pathol 114, 324–328. DOI: https://doi.org/10.1016/j.jip.2013.10.001.
- Carrasco, N., Green, T., Itoh, N., 2015. Marteilia spp. parasites in bivalves: A revision of recent studies. J Invertebr Pathol 131, 43–57. DOI: https:// doi.org/10.1016/j.jip.2015.07.016.
- Carvalho-Saucedo, L., Racotta, I.S., Guerra-Danielsen, C., 2019. Pathological changes by Eosinophilic Rickettsia-like organism in Japanese oyster, Crassostrea gigas. J Invertebr Pathol 167, 107248. DOI: https://doi.org/10.1016/j.jip.2019.107248.
- 14. Ceuta, LO., Boehs, G., 2012. Parasites of the mangrove mussel Mytella guyanensis (Bivalvia:

- Mytilidae) in Camamu Bay, Bahia, Brazil. Brazilian Journal of Biology 72, 421–427. DOI: https://doi.org/10.1590/S1519-69842012000300002.
- 15. Choi, K., Park, K., 2010. Review on the protozoan parasite *Perkinsus olseni* (Lester and Davis 1981) infection in Asian waters. Coastal Environmental and Ecosystem Issues of the East China Sea 269–281.
- Cole, S., Dorgan, K., Walton, W., Dzwonkowski, B., Coogan, J., 2020. Seasonal and spatial patterns of mudblister worm Polydora websteri infestation of farmed oysters in the northern Gulf of Mexico. Aquac Environ Interact 12, 297–314. DOI: https://doi.org/10.3354/aei00365.
- Comps, M., 1988. Epizootic diseases of oysters associated with viral infections. American Fisheries Society, Special Publication 18, 23–37.
- Correia, S., Fernández-Boo, S., Magalhães, L., de Montaudouin, X., Daffe, G., Poulin, R., Vera, M., 2023. Trematode genetic patterns at host individual and population scales provide insights about infection mechanisms. Parasitology 150, 1207–1220. DOI: https://doi.org/10.1017/ S0031182023000987.
- Cutarelli, A., Carella, F., De Falco, F., Cuccaro, B., Di Nocera, F., Nava, D., De Vico, G., Roperto, S., 2023. Detection and Quantification of Nocardia crassostreae, an Emerging Pathogen, in Mytilus galloprovincialis in the Mediterranean Sea Using Droplet Digital PCR. Pathogens 12, 994. DOI: https://doi.org/10.3390/pathogens12080994.
- 20. da Silva, P.M., Farias, N.D., Coutinho, S.L. de O., Medeiros, A.B.P., da Silva, D. dos S., 2024a. Susceptibilidade diferencial das ostras Crassostrea gasar e C. rhizophorae à infecção pelos protozoários Perkinsus marinus e P. beihaiensis, in: da Silva Júnior, C.L., Wahrlich, R., de Menezes, J.T., Diehl, F.L. (Eds.), Anais 20° Congresso Latino-Americano de Ciências Do Mar COLACMAR'2024 e 8° Congresso Brasileiro de Oceanografia CBO'2024. Associação Brasileira de Oceanografia, Itajaí, pp. 193–194.
- 21. da Silva, P.M., Magalhães, A.R.M., Barracco, M.A., 2002. Effects of *Bucephalus* sp. (Trematoda: Bucephalidae) on *Perna perna* mussels from a culture station in Ratones Grande Island, Brazil. J Invertebr Pathol 79, 154–162. DOI: https://doi.org/10.1016/S0022-2011(02)00026-5.
- 22. da Silva, P.M., Ramos Queiroga, F., Dantas Farias, N., Tubino Vianna, R., Costa Sabry, R., 2024b. Perkinsus spp. Occurrence in South America: A

- review. J Invertebr Pathol 204, 108108. DOI: https://doi.org/10.1016/j.jip.2024.108108.
- 23. da Silva, P.M., Scardua, M.P., Vieira, C.B., Alves, A.C., Dungan, C.F., 2015. Survey of Pathologies in *Crassostrea gasar* (Adanson, 1757) Oysters from Cultured and Wild Populations in the São Francisco Estuary, Sergipe, Northeast Brazil. J Shellfish Res 34, 289–296. DOI: https://doi.org/10.2983/035.034.0210.
- 24. de Oliveira, A.G.L., Caldas Menezes, R., Keidel, L., Christina Mello-Silva, C., Portes Santos, C., 2022. Morphological, histopathological and molecular assessments of Prosorhynchoides sp. (Digenea: Bucephalidae) in *Perna perna* (Bivalvia: Mytilidae) mussels sampled off the coast of Rio de Janeiro, southeastern Brazil. J Invertebr Pathol 195, 107832. DOI: https://doi.org/10.1016/j. jip.2022.107832.
- 25. Del Carmen Guarneros Martínez, T., Cáceres-Martínez, J., Cruz-Flores, R., López-Carvallo, J.A., Ángel Del Río-Portilla, M., Guerrero Rentería, Y., 2024. Prevalence and intensity of a Rickettsiales-like organism in cultured pleasure oyster, Crassostrea corteziensis, from Nayarit, Mexico. J Invertebr Pathol 204, 108093. DOI: https://doi.org/10.1016/j.jip.2024.108093.
- 26. Destoumieux-Garzón, D., Canesi, L., Oyanedel, D., Travers, M., Charrière, G.M., Pruzzo, C., Vezzulli, L., 2020. Vibrio –bivalve interactions in health and disease. Environ Microbiol 22, 4323–4341. DOI: https://doi.org/10.1111/1462-2920.15055.
- 27. Dotto-Maurel, A., Pelletier, C., Degremont, L., Heurtebise, S., Arzul, I., Morga, B., Chevignon, G., 2025. Evaluation of long-read sequencing for Ostreid herpesvirus type 1 genome characterization from *Magallana gigas* infected tissues. Microbiol Spectr 13. DOI: https://doi.org/10.1128/spectrum.02082-24.
- 28. Dungan, C.F., Bushek, D., 2015. Development and applications of Ray's fluid thioglycollate media for detection and manipulation of *Perkinsus* spp. pathogens of marine molluscs. J Invertebr Pathol 131, 68–82. DOI: https://doi.org/10.1016/j.jip.2015.05.004.
- 29. Ek-Huchim, J.P., Aguirre-Macedo, M.L., Améndola-Pimenta, M., Vidal-Martínez, V.M., Pérez-Vega, J.A., Simá-Alvarez, R., Jiménez-García, I., Zamora-Bustillos, R., Rodríguez-Canul, R., 2017. Genetic signature analysis of Perkinsus marinus in Mexico suggests possible transloca-

- tion from the Atlantic Ocean to the Pacific coast of Mexico. Parasit Vectors 10, 1–10. DOI: https://doi.org/10.1186/s13071-017-2304-4.
- 30. Enríquez-Espinoza, T., Grijalva-Chon, J., Castro-Longoria, R., Ramos-Paredes, J., 2010. *Perkinsus marinus* in *Crassostrea gigas* in the Gulf of California. Dis Aquat Organ 89, 269–273. DOI: https://doi.org/10.3354/dao02199.
- 31. Galosi, L., Dini, F., Meligrana, M.C.T., Gennari, L., Tamburini, E., Roncarati, A., 2024. Evaluation of Mud Worm (Polydora spp.) Infestation in Cupped (Crassostrea gigas) and Flat Oyster (Ostrea edulis) Broodstocks: Comparison between Magnetic Resonance Imaging and Computed Tomography. Animals 14, 242. DOI: https://doi.org/10.3390/ani14020242.
- 32. Gao, J., Yang, X., Zhai, J., Qi, P., Ren, Z., Zhu, D., Fu, P., 2024. Survey on Perkinsus species in two economic mussels (Mytilus coruscus and M. galloprovincialis) along the coast of the East China Sea and the Yellow Sea. Parasitol Res 123, 265. DOI: https://doi.org/10.1007/s00436-024-08287-x.
- 33. Hammel, M., Simon, A., Arbiol, C., Villalba, A., Burioli, E.A. V., Pépin, J., Lamy, J., Benabdelmouna, A., Bernard, I., Houssin, M., Charrière, G.M., Destoumieux-Garzon, D., Welch, J.J., Metzger, M.J., Bierne, N., 2022. Prevalence and polymorphism of a mussel transmissible cancer in Europe. Mol Ecol 31, 736–751. DOI: https://doi.org/10.1111/mec.16052.
- 34. Kessner, L., Spinard, E., Gomez-Chiarri, M., Rowley, D.C., Nelson, D.R., 2016. Draft Genome Sequence of Aliiroseovarius crassostreae CV919-312, the Causative Agent of Roseovarius Oyster Disease (Formerly Juvenile Oyster Disease). Genome Announc 4. DOI: https://doi.org/10.1128/genomeA.00148-16.
- 35. Lauckner, G.;, 1983. Diseases of Mollusca: Bivalvia diseases of marine animals, in: Kinne, O. (Ed.), Introduction Bivalvia to Scaphopoda. Biologische Anstalt Helgoland, Hamburg, pp. 477–977.
- 36. Lima, F.C., Abreu, M.G., Mesquita, E.F.M., 2001. Monitoramento histopatológico de mexilhão Perna perna da Lagoa de Itaipu, Niterói, RJ. Arq Bras Med Vet Zootec 53, 203–206. DOI: https:// doi.org/10.1590/S0102-09352001000200013.
- 37. Luz Cunha, A.C., Pontinha, V. de A., de Castro, M.A.M., Sühnel, S., Medeiros, S.C., Moura da Luz, Â.M., Harakava, R., Tachibana, L., Mello,

- D.F., Danielli, N.M., Dafre, A.L., Magalhães, A.R.M., P. Mouriño, J.L., 2019. Two epizootic *Perkinsus* spp. events in commercial oyster farms at Santa Catarina, Brazil. J Fish Dis 42, 455–463. DOI: https://doi.org/10.1111/jfd.12958.
- 38. Luz, M. dos S.A., Boehs, G., 2015. Parasites in the oysters *Crassostrea rhizophorae* from farmed and natural stocks in the Bay of Camamu, Bahia, northeastern Brazil. Journal of Parasitology and Vector Biology 7, 120–128. DOI: https://doi.org/10.5897/JPVB2015.0198.
- 39. Magalhães, L., de Montaudouin, X., Freitas, R., Daffe, G., Figueira, E., Gonzalez, P., 2017. Seasonal variation of transcriptomic and biochemical parameters of cockles (Cerastoderma edule) related to their infection by trematode parasites. J Invertebr Pathol 148, 73–80. DOI: https://doi.org/10.1016/j.jip.2017.05.009.
- Mahony, K.E., Lynch, S.A., de Montaudouin, X., Culloty, S.C., 2022. Extrinsic and intrinsic drivers of parasite prevalence and parasite species richness in a marine bivalve. PLoS One 17, e0274474. DOI: https://doi.org/10.1371/journal.pone.0274474.
- 41. Marchiori, N.D.C., Magalhães, A.R.M., Pereira Junior, J., 2010. The life cycle of *Bucephalus margaritae* Ozaki & Samp; Ishibashi, 1934 (Digenea, Bucephalidae) from the coast of Santa Catarina State, Brazil. Acta Sci Biol Sci 32, 71–78. DOI: https://doi.org/10.4025/actascibiolsci. v32i1.5596.
- 42. Martinelli, J.C., Considine, M., Casendino, H.R., Tarpey, C.M., Jiménez-Hidalgo, I., Padilla-Gamiño, J.L., King, T.L., Hauser, L., Rumrill, S., Wood, C.L., 2024. Infestation of cultivated Pacific oysters by shell-boring polychaetes along the US West Coast: Prevalence is associated with season, culture method, and pH. Aquaculture 580, 740290. DOI: https://doi.org/10.1016/j.aquaculture.2023.740290.
- 43. McGurk, E.S., Ford, S., Bushek, D., 2016. Unusually abundant and large ciliate xenomas in oysters, Crassostrea virginica, from Great Bay, New Hampshire, USA. J Invertebr Pathol 137, 23–32. DOI: https://doi.org/10.1016/j. jip.2016.04.001.
- 44. Mello, D.F., Danielli, N.M., Curbani, F., Pontinha, V.A., Suhnel, S., Castro, M.A.M., Medeiros, S.C., Wendt, N.C., Trevisan, R., Magalhães, A.R.M., Dafre, A.L., 2018. First evidence of viral and bacterial oyster pathogens in the Brazilian co-

- ast. J Fish Dis 41, 559–563. DOI: https://doi.org/10.1111/jfd.12755.
- 45. Mendes, D.C.S., Rodrigues, D.T.A., Gomes, H.M., Lenz, T.M., Silva, C.M., Antonio, I.G., 2023. Pathogens and microorganisms in the mangrove oyster Crassostrea gasar cultivated in an estuarine environment in Northeast Brazil. Brazilian Journal of Biology 83. DOI: https://doi.org/10.1590/1519-6984.272789.
- Metzger, M.J., Reinisch, C., Sherry, J., Goff, S.P., 2015. Horizontal Transmission of Clonal Cancer Cells Causes Leukemia in Soft-Shell Clams. Cell 161, 255–263. DOI: https://doi.org/10.1016/j. cell.2015.02.042.
- 47. Metzger, M.J., Villalba, A., Carballal, M.J., Iglesias, D., Sherry, J., Reinisch, C., Muttray, A.F., Baldwin, S.A., Goff, S.P., 2016. Widespread transmission of independent cancer lineages within multiple bivalve species. Nature 534, 705–709. DOI: https://doi.org/10.1038/nature18599.
- 48. Petton, B., Destoumieux-Garzón, D., Pernet, F., Toulza, E., de Lorgeril, J., Degremont, L., Mitta, G., 2021. The Pacific Oyster Mortality Syndrome, a Polymicrobial and Multifactorial Disease: State of Knowledge and Future Directions. Front Immunol 12. DOI: https://doi.org/10.3389/ fimmu.2021.630343.
- Queiroga, F.R., da Silva, P.M., Mendes, A.F., 2022. Patologias de ostras de interesse comercial, Manual de Cultivo de Ostras. EPAGRI, Florianópolis, SC.
- 50. Radashevsky, V.I., 2024. Review of Polydora species from Brazil, with identification key and description of two new species (Annelida: Spionidae). Ocean and Coastal Research 72. DOI: https://doi.org/10.1590/2675-2824072.23149.
- 51. Romão, L. de S., Pinho Ferreira, L., Maggioni, R., Lima Araújo, R., Cristina Vasconcelos Gesteira, T., Mirella da Silva, P., Costa Sabry, R., 2014. Pathogens in two commercially-important bivalve species from the Pacoti River estuary, Ceará State, Brazil. Arquivos de Ciências do Mar 47, 57–63.
- Rosani, U., Gaia, M., Delmont, T.O., Krupovic, M., 2023. Tracing the invertebrate herpesviruses in the global sequence datasets. Front Mar Sci 10. DOI: https://doi.org/10.3389/fmars.2023.1159754.
- 53. Sabry, R., Rosa, R.D.R.R.D., Magalhães, A.R.M.A.A.R.M., Barracco, M.A., Gesteira,

- T.C.V.T., da Silva, P.P.M., 2009. First report of *Perkinsus* sp. infecting mangrove oysters *Crassostrea rhizophorae* from the Brazilian coast. Dis Aquat Organ 88, 13–23. DOI: https://doi.org/10.3354/dao02136.
- 54. Sabry, R.C., Gesteira, T.C.V., Magalhães, A.R.M., Barracco, M.A., Guertler, C., Ferreira, L.P., Vianna, R.T., da Silva, P.M., 2013. Parasitological survey of mangrove oyster, *Crassostrea rhizopho*rae, in the Pacoti River Estuary, Ceará State, Brazil. J Invertebr Pathol 112, 24–32. DOI: https://doi. org/10.1016/j.jip.2012.10.004.
- 55. Sabry, R.C., Magalhães, A.R.M., 2005. Parasitas em ostras de cultivo (Crassostrea rhizophorae e Crassostrea gigas) da Ponta do Sambaqui, Florianópolis, SC. Arq Bras Med Vet Zootec 57, 194–203. DOI: https://doi.org/10.1590/ S0102-09352005000800010.
- 56. Silva, W.B.T., Cunha, E.J.S., Kostek, L.D.S., Viana, A.R.C., Serra, I.M.R. de S., Bezerra, N.P.C., Cantanhede, S.P.D., 2022. Patologias parasitárias em moluscos bivalves de ambiente natural e de cultivo no território brasileiro: uma revisão sistemática, in: Engenharia de Pesca: Aspectos Teóricos e Práticos Volume 3. Editora Científica Digital, pp. 173–185. DOI: https://doi.org/10.37885/220107516.
- 57. Skazina, M., Odintsova, N., Maiorova, M., Ivanova, A., Väinölä, R., Strelkov, P., 2021. First description of a widespread Mytilus trossulus-derived bivalve transmissible cancer lineage in M. trossulus itself. Sci Rep 11, 5809. DOI: https://doi.org/10.1038/s41598-021-85098-5.
- Soudant, P., Chu, F.-L.E.L., Volety, A., E. Chu, F.-L., Volety, A., E Chu, F.-L., Volety, A., 2013. Host-parasite interactions: Marine bivalve molluscs and protozoan parasites, *Perkinsus* species. J Invertebr Pathol 114, 196–216. DOI: https://doi.org/10.1016/j.jip.2013.06.001.
- 59. Sühnel, S., Johnson, S.C., Gurney-Smith, H.J., Ivachuk, C.D.S., Schaefer, A.L.C., Thomson, C.A., Maciel, M.L.T., Martins, M.L., Aranguren, R., Figueras, A., Magalhães, A.R.M., 2016. A Status Assessment of Perkinsiosis, Bonamiosis, and Mateiliosis in Commercial Marine Bivalves from Southern Brazil. J Shellfish Res 35, 143–156. DOI: https://doi.org/10.2983/035.035.0116.
- 60. Travers, M.-A., Boettcher Miller, K., Roque, A., Friedman, C.S., 2015. Bacterial diseases in marine bivalves. J Invertebr Pathol 131, 11–31. DOI: https://doi.org/10.1016/j.jip.2015.07.010

- 61. Villalba, A., Gestal, C., Casas, S.S.M., Figueras, A., 2011. Perkinsosis en moluscos, in: Figueras, A., Novoa, B. (Eds.), Enfermidades de Moluscos Bivalves de Interés En Acuicutura. Publicaciones Científicas y Tecnológicas de la Fundación Observatorio Español de Acuicultura, Madrid, pp. 183–242.
- WOAH, 2025. Diseases listed by WOAH, in: WOAH (Ed.), Aquatic Animal Health Code. Paris
- 63. WOAH, 2019. Infection with Ostreid Herpesvirus 1 microvariants, in: Manual of Diagnostic Tests for Aquatic Animals. WOAH, Paris, p. 14.
- 64. Zainathan, S.C., Hong, T.K., Khadijah Addis, S.N., Musa, N., 2022. Nematopsis sp. infections, in: Aquaculture Pathophysiology. Elsevier, pp. 569–575. DOI: https://doi.org/10.1016/ B978-0-323-95434-1.00075-9.
- 65. Zeidan, G.C., Luz, M. dos S.A., Boehs, G., 2012. Parasites of economically important bivalves from the southern coast of Bahia State, Brazil. Revista Brasileira de Parasitologia Veterinária 21, 391–398.



pixabay.com

Pedro Alves Ribeiro Reis^{1,2*},
Maria Clara Gomes Braga²,
Larissa Gabriele Abreu Martins²,
Sarah Portes Carneiro¹, Kleber Campos Miranda Filho²,
Guilherme Campos Tavares¹

¹Departamento de Medicina Veterinária Preventiva, Escola de Veterinária, UFMG
²Departamento de Zootecnia, Escola de Veterinária, UFMG

1. Introdução

*autor para correspondência: alves.rreis@gmail.com

O cultivo de macroalgas, também conhecido como algicultura, é uma prática consolidada no Sudeste Asiático e, desde a Segunda Guerra Mundial, vem ganhando espaço no Ocidente. Segundo dados da FAO (Organização das Nações Unidas para Agricultura e Alimentação, 2024), a produção mundial de macroalgas atingiu 36,5 milhões de toneladas em 2022. No contexto da economia azul, as macroalgas emergem

como uma alternativa sustentável para a produção de bioativos, alimentos e insumos industriais (Araújo, 2015), desempenhando um papel econômico significativo na geração de emprego para pequenas comunidades costeiras, além de oferecer serviços ecossistêmicos, como a captura de carbono.

Diversas espécies de macroalgas se destacam na produção global, como Kappaphycus alvarezii, Eucheuma spp., Gracilaria spp., Laminaria japonica, Undaria pinnatifida, Porphyra spp. e Sargassum fusiforme (Araújo, 2017). A produção de macroalgas tem se destacado devido ao grande potencial industrial dos produtos obtidos a partir de seu processamento. A carragenina, um polissacarídeo sulfatado, é um dos principais

A carragenina,
um polissacarídeo
sulfatado, é um
dos principais
produtos derivados
das macroalgas,
amplamente utilizado
nas indústrias
alimentícia,
farmacêutica e
cosmética.

produtos derivados das macroalgas, amplamente utilizado nas indústrias alimentícia, farmacêutica e cosmética (Sharma e Manisha Bhende, 2024). No Brasil, apesar do grande potencial devido à extensa costa, poucas espécies têm sido exploradas, como *Ulva* sp., *Spyridia clavata, Gracilaria* sp., *Sargassum* sp. e *Kappaphycus alvare-*

zii. O estado de Santa Catarina se destaca como o maior produtor, com o cultivo de K. alvarezii, tendo a comercialização dessa espécie de macroalga atingido 751,09 toneladas na safra de 2023/24 (EPAGRI, 2023).

Diversos fatores podem limitar o desenvolvimento da algicultura, desde a falta de incenEste capítulo tem como objetivo revisar a literatura existente sobre as doenças que afetam ou podem impactar os cultivos de *Ulva*, *Spyridia*, *Gracilaria*, *Sargassum* e *Kappaphycus*, gêneros de macroalgas exploradas no Brasil, oferecendo um panorama que possa apoiar o desenvolvimento da maricultura nacional.

tivos à produção e ao mercado consumidor até aspectos ambientais, como a qualidade da água e a localização do cultivo (Anita et al., 2024). Além disso, o surgimento de doenças representa um desafio adicional. Fatores abióticos, como variações de salinidade e temperatura, e fatores bióticos,

como herbivoria e comensalismo – que, embora inicialmente não causem danos significativos, podem gerar estresse nas macroalgas –, criam um ambiente propício ao desenvolvimento de patógenos. No entanto, ainda há uma carência de estudos na literatura sobre sanidade e doenças que afetam as macroalgas cultivadas.

Este capítulo tem objetivo como revisar a literatura existente sobre as doenque afetam ças podem impactar os cultivos de Ulva, Spyridia, Gracilaria, Sargassum e Kappaphycus, gêneros de macroalgas exploradas no Brasil, oferecendo um panorama que possa apoiar o desenvolvimento da maricultura nacional.

2. Kappaphycus alvarezii

2.1. Características gerais

As algas vermelhas, além de sua aplicação na alimentação, destacam-se

como matéria-prima para a extração de hidrocoloides com propriedades gelificantes, como o ágar e a carragena (Cole e Sheath, 1990). O cultivo comercial de algas marinhas é amplamente desenvolvido na região da Ásia-Pacífico, com destaque para China, Indonésia e Filipinas,

que, em 2012, foram responsáveis por 88,7% da produção global de algas cultivadas, totalizando aproximadamente 21 milhões de toneladas (Valderrama *et al.*, 2015).

A espécie *K. alvarezii* (Fig. 1) foi introduzida em áreas tropicais com o objetivo de atender à demanda comercial por matéria-prima destinada à extração de carragena (Pickering *et al.*, 2007). No Brasil, sua introdução ocorreu de forma experimental em 1995, no litoral norte do estado de São Paulo, com a finalidade de suprir a escassez de recursos naturais, uma vez que os bancos de *Hypnea musciformis*, espécie nativa produtora de carragena, estavam esgotados, tornando o país dependente da importação desse insumo. O cultivo comercial de *K. alvarezii* teve início em 1998, na Baía da Ilha

Grande, e, posteriormente, em 2003, na Baía de Sepetiba, ambas localizadas no litoral sul do estado do Rio de Janeiro (Reis *et al.*, 2009).

Estudos indicam que as varieda-

des cultivadas de carragenófitos, como Kappaphycus (Fig. 2), são clones originados de um número limitado de linhagens domesticadas, derivadas de populações selvagens (De Paula et al., 2002). Para o desenvolvimento e a seleção de novos cultivares, é essencial criar

O cultivo comercial de *K. alvarezii* teve início em 1998 na Baía da Ilha Grande e, posteriormente, em 2003, na Baía de Sepetiba, ambas localizadas no litoral sul do estado do Rio de Janeiro



Figura 3. Cultivo de *Kappaphycus alvarezii*. Imagem: Pedro A. R. Reis, na fazenda marinha Algama. Dia de colheita final.

um registro abrangente das variantes disponíveis. Essa necessidade é ainda mais crítica, considerando que a propagação vegetativa, método predominante no cultivo dessas espécies, reduz a variabilidade genética (Tab. 1). A diminuição da variabilidade genética pode levar à desaceleração no crescimento dos es-

toques, à deterioração da qualidade da carragena, à redução da consistência do produto e ao aumento da suscetibilidade a patógenos (Tan *et al.*, 2022a).

Conforme observado por Yatsuya (2008), a maior sensibilidade a patógenos, como bactérias e fungos, em cultivos de *Kappaphycus* (Fig. 3)

Tabela 1. Impactos da redução da variabilidade genética em Kappaphycus.

Consequência	Descrição	Referência
Desaceleração do crescimento	Estoques crescem mais lentamente devido à baixa diversidade genética	Tan <i>et al</i> . (2022a)
Deterioração da carragena	Qualidade do hidrocoloide afetada	Tan <i>et al</i> . (2022a)
Suscetibilidade a patógenos	Aumento de infecções por bactérias/fun- gos, causando necrose e mortalidade	Yatsuya (2008)
Redução de produtividade	Perda de biomassa e colheitas menores	Yatsuya (2008)



Figura 3. Cultivo de *Kappaphycus alvarezii*. Imagem: Pedro A. R. Reis, na fazenda marinha Algama. Dia de colheita final.

está diretamente associada à redução da produtividade e à deterioração da qualidade da carragena. A uniformidade genética característica desses sistemas de monocultivo facilita a disseminação de doenças, resultando em necrose de tecidos, perda de biomassa e, em casos severos, mortalidade em larga escala.

2.2. Patologias

2.2.1. "Ice-Ice Disease"

A temperatura da água é um fator crítico para o desenvolvimento e a sobrevivência das algas, especialmente quando atinge níveis abaixo de 18°C,

o que pode ocorrer durante invernos mais intensos, como os registrados em 2018, 2019 e 2020, no estado de Santa Catarina. Nessas

Doença *Ice-Ice*Os sinais clínicos (...)
incluem a descoloração
das extremidades
(ápices).

condições, as algas podem entrar em um estado de estresse fisiológico, tornando-se mais suscetíveis a doenças e, em casos extremos, à morte. Uma das manifestações mais comuns desse estresse é o surgimento da doença conhecida como "ice-ice". Essa doença não apenas compromete a saúde das algas, mas também impacta negativamente a produtividade e a sustentabilidade dos cultivos, especialmente em regiões onde as temperaturas sofrem variações sazonais significativas ("Epagri quer tornar a macroalga nova alternativa de renda dos maricultores catarinenses - Epagri," n.d.). A Tabela 2 reúne alguns fatores que de-

sencadeiam a referida doença.

Os sinais clínicos da doença incluem a descoloração das extremidades (ápices), fe-

Tabela 2. Fatores ambientais que desencadeiam a "Ice-Ice Disease".

Fator	Efeito nas Algas	Referência
Temperatura da água < 18°C	Estresse fisiológico, aumento da suscetibilida- de à doença	Epagri (n.d.), Hayashi (2007)
Baixa salinidade	Perda de regulação bacteriana, fragilização do talo	Arasamuthu e Edward (2018)
Exposição ao ar (maré baixa)	Desidratação e danos mecânicos	Hayashi (2007)
Chuvas intensas	Redução da salinidade e introdução de água- -doce	Tan et al. (2022b)
Herbivoria	Danos físicos que facilitam infecções bacterianas	Largo et al. (1995)

nômeno que pode ser desencadeado por fatores como temperaturas mais baixa da água, exposição excessiva ao ar durante a maré baixa, chuvas intensas, reducão da salinidade devido à entrada de água-doce e ação de herbívoros. Sob essas condições adversas, as algas podem perder a capacidade de regular as populações bacterianas associadas ao seu talo, como Vibrio sp. e Cytophaga sp, tornando-se frágeis, desin-

nando-se frágeis, desintegrando-se ao toque e adquirindo uma tonalidade esbranquiçada. Isso deixa o talo mais suscetível a danos mecânicos, especialmente quando exposto a correntes marinhas (Hayashi, 2007).

O termo "ice-ice" foi atribuído à

[Ice-Ice] desencadeados por (...) temperaturas mais baixas da água, exposição excessiva ao ar durante a maré baixa, chuvas intensas, redução da salinidade devido à entrada de água-doce e ação de herbívoros. patógenos associados (...) pertencem aos complexos Vibrio-Aeromonas e Cytophaga-Flavobacterium.

doença na década de 1970, por produtores das Filipinas, que observaram uma aparência esbranquiçada e quebradiça, semelhante ao gelo, em uma região produtora de euqueumatoides. Euqueumatoides refere--se a macroalgas vermelhas (Filo Rhodophyta) de importância econômica devido à produção de carragena (Tan et al., 2022b). Essa doença resulta na perda de reduzindo biomassa, o rendimento agrícola

da produção da carragena entre 25% e 40%, além de comprometer sua qualidade (Azizi *et al.*, 2018), o que acarreta prejuízos financeiros significativos para os produtores. A incidência da doença "ice-ice" é influenciada por uma com-

Tabela 3. Impactos da "Ice-Ice Disease" na produção de macroalgas.

Consequência	Descrição	Impacto econômico	Referência
Perda de biomassa	Redução de 25% a 40% na produção	Prejuízos na colheita	Azizi <i>et al</i> . (2018)
Qualidade da carragena	Degradação do hidroco- loide (menor viscosidade/ gelificante)	Valor comercial reduzido	Tan <i>et al</i> . (2022b)
Necrose do tecido	Destruição de cloroplastos e hidrólise do talo	Morte das algas	Largo <i>et al</i> . (1995)
Suscetibilidade a patógenos	Proliferação de <i>Vibrio</i> e <i>Cytophaga</i>	Infecções secundárias	Hurtado <i>et al</i> . (2006)

binação de fatores ambientais, como baixa salinidade, baixas temperaturas e profundidade do cultivo das macroalgas, sendo as mais superficiais as mais suscetíveis à doença (Arasamuthu e Patterson Edward, 2018) (Tab. 3).

Os principais patógenos associados a essa doença pertencem aos complexos *Vibrio-Aeromonas* e *Cytophaga-*

Flavobacterium (Hurtado et al., 2006). A atividade lítica bacteriana é responsável pelo embranquecimento inicial da parte infectada, resultante da digestão celular epidérmica e da destruição dos cloroplastos, o que gera a

condição visual característica da alga. Também ocorre a hidrólise gradual do talo, a partir da camada cortical até as células medulares, levando à morte do tecido (necrose completa) e a grandes prejuízos na colheita (Largo *et al.*, 1995).

Segundo Luhan *et al.* (2015), a alta presença de nitrogênio no meio de cultivo das macroalgas também pode ser um fator relevante no combate à doença. A submersão dos cultivos em períodos de chuva pode ser uma estratégia eficaz

contra a variação da salinidade e da temperatura, que são gatilhos importantes da doença. Além disso, a escolha da espécie de macroalga a ser cultivada pode atuar como uma medida mitigadora, uma vez que algumas espécies são mais

resistentes a "ice-ice disease" do que outras, como *K. alvarezii*, em comparação com *Kappaphycus striatus* (Tahiluddin e Terzi, 2024) (Tab. 4).

A submersão dos cultivos em períodos de chuva pode ser uma estratégia eficaz contra a variação da salinidade e da temperatura, que são gatilhos importantes da doença.

Tabela 4. Estratégias de mitigação da doença "ice-ice".

Estratégia	Eficácia	Referência
Submersão durante chuvas	Minimiza variações de salinidade e temperatura	Luhan <i>et al</i> . (2015)
Cultivo de espécies resistentes	K. alvarezii é mais resistente que K. striatus	Tahiluddin e Terzi (2024)
Controle de nitrogênio no meio	Altos níveis podem reduzir a incidência da doença	Luhan <i>et al</i> . (2015)
Profundidade adequada do cultivo	Águas superficiais (mais suscetíveis) devem ser evitadas	Arasamuthu e Edward (2018)

3. Gracilaria sp.

3.1. Características gerais

Gracilaria é uma macroalga marinha (Fig. 4) de grande valor industrial, utilizada como fonte para a produção de múltiplos compostos economica-

mente estratégicos. Entre esses compostos, destacam-se pigmentos naturais, lipídios, fertilizantes líquidos e celulose, que podem ser aplicados em diversas commodities agrícolas, como antioxidantes, biocombustíveis, rações animais

algaebase

Figura 4. *Gracilaria gracilis*. Imagem cortesia de AlgaeBase.

Gracilaria é uma macroalga marinha (...) [na] produção de múltiplos compostos (...) pigmentos naturais, lipídios, fertilizantes líquidos e celulose, (...) antioxidantes, biocombustíveis, rações animais e bioestimulantes.

e bioestimulantes. Além disso, essa macroalga se apresenta como uma matéria-prima promissora para a produção de bioetanol, contribuindo para a geração de energia renovável dentro do contexto de processos de biorrefinaria (Reddy et al., 2018).

A produção de Gracilaria em viveiros

de aquicultura é predominantemente concentrada na China; no entanto, a espécie também é amplamente cultivada em outros países, como na República da Coreia, na Indonésia, nas Filipinas e no Vietnã (Mantri *et al.*, 2023). Essas espécies se reproduzem facilmente, tanto assexuadamente quanto sexuadamente, crescem rapidamente e toleram diversos níveis de salinidade, com melhor desenvolvimento entre 25 - 33‰ e temperatura ideal de 20 - 28°C (Mendes *et al.*, 2022) (Tab. 5).

Em ambientes de águas abertas, três métodos principais são empregados para o cultivo de *Gracilaria*: fixação no fundo do mar, utilização de redes ou linhas suspensas e cultivo em balsas flutuantes (Tab. 5). Em todas essas técnicas, pode-se utilizar tanto material vegetativo quanto esporos para o plantio. Além disso, *Gracilaria* também pode ser cultivada em sistemas controlados, como viveiros, tanques ou

Tabela 5. Condições ideais para cultivo de Gracilaria.

Parâmetro	Faixa Ideal	Observações	Referência
Salinidade da água	25 - 33‰	Tolerante a variações, mas ótimo nessa faixa	Mendes <i>et al</i> . (2022)
Temperatura da água	20 - 28°C	Crescimento acelerado	Mendes <i>et al</i> . (2022)
Métodos de cultivo	- Fixação no fundo do mar		
	- Redes suspensas	Adaptável a sistemas controlados	Santelices et al.
	- Balsas flutuantes	e abertos (1989)	(1989)
	- Viveiros/tanques		

raceways, sempre com o controle de salinidade ideal para o cultivo da espécie (Santelices *et al.*, 1989).

O uso de macroalgas como alimento ou recurso medicinal tem raízes históricas profundas, datando de aproximadamente 14.000 anos atrás, quando os primeiros habitantes de Monte Verde, no Chile, já utilizavam essas macroalgas para tais fins. Essa prática ancestral evidencia a longa relação entre seres humanos e recursos marinhos (Dillehay et al., 2008). Na China, a utilização de espécies de Gracilaria possui uma longa tradição, sendo essas macroalgas empregadas tanto como alimento quanto como agente aglutinante para aprimorar a fixação de cal em pinturas murais (Tseng, 1981). Acredita-se que essa prática tenha se disseminado da China para outras regiões do Oriente.

espécies de Gracilaria Diversas classificadas como macroalgas comestíveis, também conhecidas como vegetais marinhos, sendo consumidas principalmente Japão, no Sudeste Asiático, Havaí e Caribe. No Havaí, por exemplo, essas algas são utilizadas como acompanhamento para o prato típico chamado «poke», uma salada de peixe cru (Jensen, 2004). No Japão, são chamadas de ogonori (ou ogo) e são apreciadas em saladas ou como guarnição em pratos como o sashimi. Na Jamaica, são popularmente conhecidas como "musgo irlandês" e utilizadas no preparo de uma bebida tradicional que leva o mesmo nome. Vale destacar que, em outras partes do mundo, o termo "musgo irlandês" refere-se à macroalga vermelha Chondrus crispus (Gordon, 2017). O ágar extraído da Gracilaria é classificado como um produto de grau alimentício, amplamente utilizado como agente espessante, estabilizante e gelificante na indústria de panificação e confeitaria. Ele é empregado na produção de diversas sobremesas, como tortas, coberturas e balas de gelatina, devido à sua capacidade de formar géis estáveis e de

textura suave (Nussinovitch, 1997).

3.2. Patologia

3.2.1. Síndrome do talo podre

A saúde de espécies como *Gracilaria* e *Gracilariopsis* (sinônimo basionímico de *Gracilaria*) pode ser severamente

No caso da *Gracilaria* heteroclada (Fig. 5), a síndrome do talo podre (Tab. 6) é caracterizada por uma descoloração do talo, que se torna esbranquiçado ou rosado, levando à desintegração gradual do tecido. Essa síndrome está associada a bactérias do gênero *Vibrio* spp., que digerem o ágar.

afetada por infecções de origens bacterianas, que comprometem seu crescimento e viabilidade. No caso da *Gracilaria heteroclada* (Fig. 5), a síndrome do talo podre (Tab. 6) é caracterizada por uma descoloração do talo, que se torna esbranquiçado ou rosado, levando à desintegração gradual do tecido. Essa

síndrome está associada a bactérias do gênero *Vibrio* spp., que digerem o ágar, as quais foram previamente detectadas por análises microscópicas e pelo isolamento bacteriano a partir de tecidos necrosados (Lavilla-Pitogo, 1992; Beleneva e Zhukova, 2006).

Em outra pesquisa, uma análise mi-



Figura 5. Gracilaria heteroclada. Imagem cortesia de biodiversity4all.org.

Tabela 6. Síndrome do talo podre em Gracilaria heteroclada.

Característica	Descrição	Agentes patogêni- cos identificados	Métodos de diagnóstico	Referências
Sinais clínicos	Descoloração (esbranquiçada/ro- sada), desintegração do tecido	Vibrio sp. (incl. V. parahaemolyticus, V. alginolyticus)	Microscopia, isolamento bacteriano	Lavilla-Pitogo (1992), Beleneva e Zhukova (2006)
Mecanismo	Digestão do ágar por enzimas bacterianas	Bacilos Gram-negativos	Testes bioquímicos	Martinez e Padilla (2016)
Fatores de risco	Condições ambien- tais desfavoráveis (ex.: variações de salinidade/pH)	Interação com bacté- rias oportunistas	-	Martinez e Padilla (2016)

crobiológica, incluindo a técnica de coloração de Gram e testes bioquímicos, revelou que microrganismos os detectados tinham morfologia de bacilos Gram-negativos, classificados taxonomicamente como Vibrio

parahaemolyticus e Vibrio alginolyticus. A possível contribuição desses Vibrio na degradação do ágar, no surgimento e na progressão da doença em G. heteroclada ainda não está completamente esclarecida, especialmente no que diz respeito à interação com outros agen-

tes bacterianos oportunistas e fatores ambientais desfavoráveis (Martinez e Padilla, 2016). A Tabela 7 mostra as estratégias rela-

Gracilaria lemaneiformis é afetada (...) [por] doença da ponta branca (...) patógenos bacterianos *Thalassospira* sp. e *V*. parahaemolyticus, com o sinal clínico caracterizado pelo branqueamento das extremidades da alga.

cionadas às doencas que acometem a macroalga Gracilaria.

3.2.2. Doença da ponta branca

Gracilaria lemaneiformis é afetada pela enfermidade conheci-

da como doença da ponta branca (Tab. 8), que tem como possíveis patógenos bacterianos Thalassospira sp. e V. parahaemolyticus, com o sinal clínico caracterizado pelo branqueamento das extremidades da alga. A confirmação do papel desses microrganismos como

> agentes causadores foi obtida por meio de testes de inoculação em talos sadios (Sun et al., 2012).

> Estudos realizados na China indica-

(...) as bactérias Agarivorans albus, Aquimarina latercula e Brachybacterium sp. demonstraram maior patogenicidade em G. lemaneiformis.

Tabela 7. Estratégias de diagnóstico e controle de doenças no gênero Gracilaria.

Doença	Métodos de diagnóstico	Possíveis medidas de controle	Referências
Síndrome do talo podre	Isolamento bacteria- no, microscopia	Monitoramento de parâmetros físico-químicos	Martinez e Padilla (2016)
Doença da ponta branca	Inoculação experimental	Seleção de linhagens resistentes	Liu <i>et al.</i> (2019)
Degradação da parede celular	Análise enzimática	Controle do pH e nutrientes no cultivo	Schroeder <i>et al</i> . (2003)

ram que as bactérias Agarivorans albus, Aquimarina latercula e Brachybacterium sp. demonstraram maior patogenicidade em G. lemaneiformis,

(...) as bactérias *Agarivorans* albus, *Aquimarina latercula* e *Brachybacterium sp.* demonstraram maior patogenicidade em *G. lemaneiformis.*

com sinais evidentes de infecção nas algas observados três dias após a inoculação. Além disso, os resultados desse estudo

Tabela 8. Doença da ponta branca em Gracilaria lemaneiformis.

Característica	Descrição	Agentes patogêni- cos identificados	Métodos de confirmação	Referências
Sinais clínicos	Branqueamento das extremidades (ápices)	Thalassospira sp., V. parahaemolyticus	Inoculação em talos sadios	Sun <i>et al</i> . (2012)
Bactérias patogênicas	Agarivorans albus, Aquimarina latercu- la, Brachybacterium sp.	Tempo de infecção: 3 dias	Testes de patogenicidade	Liu <i>et al</i> . (2019)
Outros patógenos	Alteromonas sp., Bacillus flexus (5 dias); Micrococcus oxydans (7 dias)	Induzem branquea- mento progressivo	-	Liu <i>et al</i> . (2019)

mostraram que espécies como *Alteromonas* sp. e *Bacillus flexus* induziram o branqueamento das algas após cinco dias, enquanto *Micrococcus oxydans, Brevibacterium* sp. e *Bacillus* sp. causa-

ram efeitos semelhantes após sete dias de exposição aos patógenos (Liu *et al.*, 2019).

3.2.3. Degradação da parede celular

A enzima β-(1-4) agarase, sintetizada pela bactéria *Pseudoalteromonas* gracilis B9, possui a capacidade de decompor o ágar, um componente fundamental da parede celular de *Gracilaria* gracilis. Essa degradação compromete a estrutura dos tecidos, ocasionando o surgimento de lesões e a perda de resis-

(...) Pseudoalteromonas gracilis B9 possui a capacidade de decompor o ágar, um componente fundamental da parede celular de Gracilaria gracilis.

tência mecânica da alga, fatores que contribuem para o desenvolvimento de sinais clínicos, como a degradação da parede celular, lesões necróticas, descoloração, fragilidade dos talos e

redução do crescimento. Além disso, a expressão da virulência bacteriana é influenciada por variáveis ambientais, como a concentração de nutrientes e o pH do meio, evidenciando que condições externas podem modular a patogenicidade do microrganismo (Schroeder *et al.*, 2003) (Tab. 9).

4. Ulva sp.

4.1. Características gerais

O gênero *Ulva* sp. é um dos mais amplamente distribuídos entre as ma-

Tabela 9. Degradação da parede celular por Pseudoalteromonas gracilis B9.

Característica	Descrição	Impacto na alga	Fatores moduladores	Referências
Enzima envolvida	β-(1-4) agarase	Decomposição do ágar (parede celular)	Concentração de nutrientes, pH	Schroeder <i>et</i> al. (2003)
Sinais clínicos	Lesões necróticas, descoloração, fragilidade do talo, redução de crescimento	Perda de resistência mecânica	-	Schroeder et al. (2003)
Mecanismo	Hidrólise do ágar, Destruição da estrutura celular	Suscetibilidade a danos ambientais	-	Schroeder et al. (2003)

Figura 6. *Ulva lactuca*. Imagem cortesia de biodiversity4all.org

croalgas verdes (Fig. 6 e 7), com alta diversidade e ocorrência em diferentes habitats. Suas espécies são encontradas em ambientes marinhos, estuarinos e de água--doce, abrangendo desde regiões tropicais até polares (Tran et al., 2022). Estudos recentes indicam que o gênero compreende aproximadamente 130 espécies taxonomicamente aceitas, distribuídas globalmente (Xia et al., 2023). Sua presença foi registrada em todos os continentes, incluindo a Antártida. com a maior diversidade de espécies localizada na Ásia, seguida por Austrália, Europa, América do Norte, África e América do Sul (Mantri et al., 2020).

Ulva é uma das responsáveis pela maré verde, fenômeno que ocorre devido ao seu crescimento excessivo em águas costeiras enriquecidas por nutrientes, principalmente nitrogênio e fósforo, provenientes de atividades humanas como agricultura, esgoto doméstico e efluentes industriais. Esse fenômeno pode impactar significativamente o ecossistema marinho ao reduzir a disponibilidade de oxigênio na água, levando à mortalidade

Figura 7. *Ulva intestinalis*. Imagem cortesia de biodiversity4all.org.





temperatura e salinidade. O crescimento das espécies do gênero apresenta sazonalidade, com maior biomassa observada no inverno e indução da esporulação no verão (Yoshida *et al.*,

2015; Hiraoka, 2021) A plasticidade fisiológica e bioquímica das espécies de *Ulva* favorece sua sobrevivência em variados ecossistemas, sendo essa adaptação associada à síntese de metabólitos como prolina, sacarose e aminoácidos livres. Além disso, mecanismos de defesa antioxidante, incluindo a ativação de peroxidase, catalase e superóxido dismutase, bem como a indução de proteases e chaperonas moleculares, desempenham um papel essencial na sua tolerância ao estresse ambiental (Mantri *et al.*, 2020).

Devido à sua versatilidade e rápida taxa de crescimento, as espécies pertencentes ao gênero *Ulva* têm atraído crescente interesse científico e comercial. Elas são exploradas para diversas aplicações, incluindo a produ-

Murúa et al. (2024) identificaram a doença da mancha escura em *Ulva* sp., associada à infecção pelo epi-endófito marrom *Hecatonema* sp.

ção de biocombustíveis, o uso na aquicultura multitrófica integrada, a formulação de rações para animais, o uso como biofiltro, além de seu potencial para as indústrias alimentícia

e farmacêutica (Zertuche-González *et al.*, 2021; Xia *et al.*, 2023; Nissen *et al.*, 2024; Duarte *et al.*, 2025).

4.2. Patologias

A Tabela 10 reúne algumas doenças já descritas que acometem o gênero *Ulva*.

4.2.1. Doença da mancha escura

Murúa et al. (2024) identificaram a doença da mancha escura em *Ulva* sp., associada à infecção pelo epi-endófito marrom *Hecatonema* sp. A doença se manifesta por meio de manchas marrons na superfície da alga, predominantemente epifíticas, mas com a capacidade de penetrar no tecido do hospedeiro. Esse endófito filamentoso foi isolado e

Tabela 10. Doenças observadas na macroalga Ulva sp.

Doença	Agente patogênico	Sinais clínicos	Fatores associados	Referências
Mancha escura	Hecatonema sp. (epiendófito marrom)	Manchas marrons, crostas, deformações no talo	Infecção pene- trante no tecido	Murúa <i>et al</i> . (2024)
Mancha verde	Protozoários (Zoothamnium sp.), bactérias filamentosas	Manchas verdes e perfurações	Turbulência, ma- nipulação durante colheita	Colorni (1989)

identificado por meio de análises moleculares, demonstrando uma identidade de 95,5% com *Hecatonema maculans*. Os sinais clínicos incluem o desenvolvimento de crostas marrons na superfície do talo e, em alguns casos, a invasão do interstício da alga, causando verrugas e deformações no talo hospedeiro.

Doença da mancha verde ... no talo, que gradualmente se transformavam em perfurações. Essas lesões foram colonizadas por diversos microrganismos, incluindo protozoários ciliados (*Zoothamnium* sp.), bactérias filamentosas semelhantes a *Leucothrix* e diatomáceas.

Não se observou transmissão da doença por contato, e as lesões não regrediram em ambiente experimental isolado, sugerindo que fatores físicos, como turbulência excessiva e manipulação durante a colheita, foram os principais desencadeadores da patologia. A Tabela 11 mostra as principais informações sobre as doenças

degradação

completa.

da mancha escura e verde. Os métodos diagnósticos e de controle dessas doenças são apresentados na Tabela 12.

4.2.2. Doença da mancha verde

Colorni (1989) identificou uma doença acometendo *Ulva* sp. cultivada em Eilat, Israel, no Mar Vermelho. A doença foi caracterizada pela formação de pequenas manchas verdes no talo, que gradualmente se transformavam em perfurações. Essas lesões foram colonizadas por diversos microrganismos, incluindo protozoários ciliados (*Zoothamnium* sp.), bactérias filamentosas semelhantes a *Leucothrix* e diatomáceas. O crescimento dos talos afetados foi reduzido, mas não houve

5. Spyridia clavata

5.1. Características gerais

O gênero *Spyridia* se caracteriza por talos eretos e filamentosos, com ramos laterais numerosos, organizados radialmente a partir de cada célula axial (Fig. 8). Suas estruturas primárias possuem corticagem alongada e completa, enquanto os ramos laterais apresentam

Tabela 12. Métodos de diagnóstico e controle para doenças.

Doença	Métodos de identificação	Estratégias de controle
Mancha escura	Análises moleculares (95,5% identidade)	Monitoramento de epífitos, isolamento de talos doentes
Mancha verde	Observação microscópica (protozoários)	Redução de estresse físico (manuseio suave)



Figura 8. *Spyridia griffithiana*. Imagem cortesia de biodiversity4all.org.

cortificação restrita aos nós. Além disso, seus tetrasporângios são sésseis e localizados nos nós corticais dos ramos laterais. Atualmente, o gênero compreende 15 espécies, distribuídas em mares de regiões tropicais e temperadas ao redor do mundo (Won *et al.*, 2021).

Spyridia clavata é uma macroalga vermelha pertencente à família Spyridiaceae e à classe Florideophyceae, encontrada no Brasil em ambiente marinho, com notável importância ecológica (Murúa et al., 2024). Zuccarello et al. (2004) demonstraram que S. clavata possui proximidade genética com amostras previamente identificadas como Spyridia filamentosa, sugerindo

erros na delimitação taxonômica da espécie. Além disso, análises morfológicas e moleculares revelaram que exemplares do nordeste do Atlântico, antes atribuídos a S. filamentosa, pertenciam, na verdade, a Spyridia griffithsiana, reforcando a necessidade de revisões taxonômicas mais detalhadas. Esses achados destacam a importância da integração de dados moleculares e morfológicos para a correta delimitação das espécies e a minimização de erros na identificação taxonômica. A pesquisa sobre *S*.

A pesquisa sobre *S. clavata* tem se concentrado principalmente em sua taxonomia, distribuição e potencial terapêutico, incluindo propriedades antimicrobianas e antioxidantes. A escassez de informações sobre doenças que afetam a espécie

pode sugerir uma resistência natural a patógenos ou refletir a ausência de estudos específicos nessa área.

macroalga vermelha pertencente à família Spyridiaceae e à classe *Florideophyceae*, encontrada no Brasil em ambiente marinho, com notável importância ecológica.

Spyridia clavata é uma

5.2. Patologias

5.2.1. Spyridiocolax capixabus

O parasita *Spyridiocolax capixabus*, pertencente à classe *Florideophyceae*, induz lesões macroscópicas na macroal-

ga hospedeira *S. clavata* (Tab. 13), caracterizadas pela formação de verrugas incolores nos pontos de ramificação. Microscopicamente, o

parasita se distingue pelo desenvolvimento de soros tetrasporangiais e gametangiais, além da formação de conexões secundárias entre as células hospedeiras e o patógeno (Murúa et al., 2024b). Em estudo desenvolvido por Chen et al. (2019), foi detectada a presença do parasita S. capixabus na alga S. clavata. Esse anteriormente classificado parasita, como um gênero monoespecífico, foi encontrado na Praia de Itaoca, Espírito Santo, Brasil, formando pequenas protuberâncias incolores nos ramos da S. clavata. Os autores realizaram uma reavaliação morfológica e a primeira caracterização molecular do parasita, revelando que as sequências do gene plastidial rbcL do parasita e do hospedeiro são idênticas, sugerindo que S. capixabus pode reter o cloroplasto do hospedeiro.

Spyridiocolax capixabus (...) formando pequenas protuberâncias incolores nos ramos da Spyridia clavata.

Além disso, a análise do gene nuclear SSU rRNA mostrou uma divergência de apenas um nucleotídeo entre parasita e hospedeiro, o que

reforça a relação filogenética próxima entre os dois organismos.

6. Sargassum spp.

6.1. Características gerais

O gênero Sargassum é composto por macroalgas pardas da família Sargassaceae, amplamente distribuídas nos oceanos tropicais e subtropicais. Essas macroalgas são conhecidas por sua capacidade de formar extensas massas flutuantes, especialmente no Mar de Sargaço, proporcionando um habitat essencial para diversas espécies marinhas (Guiry, 2024). As espécies Sargassum natans (Fig. 9) e Sargassum fluitans (Fig. 10) possuem vesículas cheias de gás que garantem sua flutuação, permitindo que

Tabela 13. Patologia Spyridiocolax capixabus na macroalga Spyridia clavata.

Característica	Característica Descrição	
Sinais clínicos	Verrugas incolores nos pontos de ramificação; lesões macroscópicas	Murúa <i>et al</i> . (2024b)
Estruturas do parasita	Soros tetrasporangiais/gametangiais; conexões secundárias com células do hospedeiro	Chen <i>et al</i> . (2019)
Evidências moleculares	Gene rbcL idêntico ao hospedeiro (retém cloroplasto); divergência mínima no SSU rRNA	Chen <i>et al</i> . (2019)
Local de ocorrência	Praia de Itaoca, Espírito Santo, Brasil	Chen <i>et al</i> . (2019)



Figura 9. *Sargassum natans*. Imagem cortesia do Texas Parks and Wildlife Department, (Brenda Bowling).



Figura 10. Sargassum fluitans. Imagem cortesia de Algae Base.

formem verdadeiros ecossistemas móveis, com grande diversidade de organismos associados (Guiry, 2024).

Até o momento, não há registros amplamente documentados de patologias que acometam diretamente o tecido de *Sargassum*. No entanto, sua

natureza flutuante e sua capacidade de formar grandes aglomerados criam um ambiente propício para interações com diversos organismos, incluindo bactérias e invertebrados potencialmente patogênicos. Essas interações podem impactar tanto a fisiologia da alga quanto os ecossistemas ao redor (NOAA, 2023; FAU, 2023).

Embora não existam doenças específicas amplaregistradas em mente Sargassum, a macroalga pode sofrer estresse fisiológico devido a mudanças poluição. ambientais e Esses fatores podem enfraquecer sua estrutura e favorecer a colonização por organismos oportunistas (EPA, 2023; FAU, 2023). Apesar disso, não há evidências de que patógenos como bactérias do gênero Vibrio causem sinais clínicos ou danos diretos à alga, embora possam representar riscos à saúde humana ao se

proliferarem nas massas flutuantes (NOAA, 2023) (Tab. 14).

O monitoramento e a análise das interações biológicas em *Sargassum* são essenciais para entender e mitigar

Tabela 14. Interações com microrganismos potencialmente patogênicos.

Organismo/Interação	Impacto	Referência
Bactérias (<i>Vibrio</i>)	V. cholerae e V. vulnificus associados a riscos à saúde humana	FAU (2023), FAO (2024)
Outras bactérias	Pseudoalteromonas spp. e cianobactérias (variação com temperatura)	Sadowsky <i>et al</i> . (2024)
Invertebrados	Larvas de cnidários (dermatites em huma- nos) e crustáceos epífitos	Florida Health (2023)

os impactos ambientais e de saúde pública causados pela proliferação dessas algas. Uma das estratégias mais eficien-

tes para monitoramento da Sargassum é o uso de sensores remotos e imagens de satélites, que permitem identificar e mapear a formação e o deslocamento de grandes aglomerados dessas algas no oceano (EPA, 2023; NOAA, 2023). Essas massas flutuantes, conhecidas "manchas de como Sargassum", podem se estender por quilôme-

tros de extensão e se movem com as correntes marinhas. Quando essas algas chegam às regiões costeiras, elas podem se acumular em grandes quantidades nas praias, um fenômeno conhecido como "encalhe". Esse processo pode provocar impactos significativos, como

a liberação de gases tóxicos durante a decomposição da alga, afetando a fauna marinha, o turismo e a saúde públi-

ca (EPA, 2023; FAU, 2023; NOAA, 2023). A "National Oceanic and Atmospheric A d m i n i s t r a t i o n" (NOAA), por exemplo, utiliza modelos de previsão para rastrear esses aglomerados e antecipar eventos de encalhe, permitindo que as autoridades adotem medidas preventivas para mitigar seus impactos (NOAA,

(...) bactérias associadas a Sargassum incluem (...) Vibrio spp. (FAU, 2023), (...) Pseudoalteromonas (Sadwsky et al., 2024) e possivelmente Cyanobacteria, cuja abundância pode mudar conforme temperatura da água, nutrientes disponíveis e estágio de decomposição da alga.

2023).

Além disso, técnicas microbiológicas e de sequenciamento genético são aplicadas para investigar a diversidade de bactérias associadas a *Sargassum*, incluindo espécies do gênero *Vibrio*, que podem representar riscos à saúde humana (FAU, 2023). Amostras coletadas de

macroalgas acumuladas nas praias (resultado do encalhe) são analisadas para identificar a presença de patógenos e avaliar como a composição microbiológica varia ao longo do tempo e em diferentes regiões. Estudos indicam que as bactérias associadas a Sargassum

incluem não apenas Vibrio spp. (FAU, 2023), mas também Pseudoalteromonas (Sadwsky et al., 2024) e possivelmente Cyanobacteria, cuja abundância pode mudar conforme temperatura da água, nutrientes disponíveis e estágio de decomposição da alga (FAU, 2023). Essas ferramentas, combinadas com análises químicas para detectar compostos liberados durante a decomposição da alga, permitem uma abordagem integrada de monitoramento, facilitando a tomada de decisões rápidas para proteger ecossistemas costeiros e comunidades locais (EPA, 2023).

A macroalga *Sargassum* serve como *habitat* de uma ampla variedade de pequenos invertebrados, incluindo crustáceos, moluscos e larvas de cnidários. Alguns (...) podem ser prejudiciais a outros organismos marinhos e seres humanos (...).

6.2. Interação patógeno-hospedeiro

6.2.1. Interações com bactérias do gênero *Vibrio*

Estudos indicam que o acúmulo de *Sargassum* em grandes quantidades pode favorecer a proliferação de bactérias do

gênero Vibrio (FAU, 2023). Entre essas bactérias, destacam-se Vibrio cholerae e Vibrio vulnificus, conhecidas por causarem infecções gastrointestinais e doenças graves em humanos. A presença dessas bactérias na Sargassum sugere que a alga pode atuar como um reservatório ou vetor secundário para organismos patogênicos, potencialmente representando um risco à saúde humana (FAO, 2024) (Tab. 15).

6.2.2. Hospedeiro de microrganismos e invertebrados

A macroalga Sargassum serve como habitat de uma ampla variedade de pe-

Tabela 15. Espécies de Vibi	<i>io</i> associadas a macroal	ga <i>Sargassum</i> .
-----------------------------	--------------------------------	-----------------------

Espécies de Vibrio	Potencial patogênico para humanos	Risco ambiental
V. cholerae	Cólera (infecções gastrointestinais)	Reservatório em algas
V. vulnificus	Infecções cutâneas e septicemia	Proliferação em decomposição
V. parahaemolyticus	Gastroenterite	Associado à água quente

quenos invertebrados, incluindo crustáceos, moluscos e larvas de cnidários. Alguns desses organismos, como larvas de águas-vivas, podem ser prejudiciais a outros organismos

marinhos e seres humanos, causando dermatites e irritações ao contato direto com a pele (DeSantis, 2023).

6.2.3 Mecanismos de defesa e resiliência de *Sargassum*

Apesar dos desafios ambientais e das interações com organismos potencialmente nocivos, *Sargassum* possui mecanismos de defesa que contribuem para sua resiliência e sobrevivência em ambientes adversos. Esses mecanismos envolvem tanto adaptações morfológicas quanto produção de compostos químicos com propriedades antimicrobianas (Sadowsky *et al.*, 2024).

Estudos indicam que macroalgas pardas, incluindo espécies do gênero *Sargassum*, produzem metabólitos secundários com atividade antimicrobia-

(...) Sargassum (...)
produzem metabólitos
secundários com
atividade antimicrobiana,
que ajudam a inibir o
crescimento de bactérias
e fungos oportunistas.

na, que ajudam a inibir o crescimento de bactérias e fungos oportunistas (Dillehay et al., 2008). Esses compostos atuam como uma barreira química, reduzindo a proliferação de micror-

ganismos nocivos na superfície da macroalga. Além disso, a estrutura flutuante e ramificada de *Sargassum* facilita sua dispersão em grandes áreas do oceano, o que diminui a densidade local de organismos colonizadores e reduz a carga de bioincrustação (NOAA, 2023).

Quando exposto a estresses ambientais, como aumento da radiação UV ou variações de temperatura, *Sargassum* pode ajustar antioxidantes, minimizando danos celulares e prolongando sua sobrevivência (NOAA, 2023).

A Tabela 16 reúne algumas recomendações para mitigação de impactos gerados pelas macroalgas.

7. Considerações finais

O cultivo de macroalgas marinhas é uma atividade de grande relevância eco-

Tabela 16. Recomendações para mitigação de impactos-

Ação	Objetivo	Apoio institucional
Coleta preventiva	Remoção de algas antes do encalhe em praias	EPA (2023)
Monitoramento contínuo	Rastreamento via satélite + alertas para comu- nidades costeiras	NOAA (2023)
Educação pública	Informação sobre riscos de contato com algas em decomposição	Florida Health (2023)

nômica e ecológica, especialmente no contexto da economia azul e da busca por alternativas sustentáveis. No entanto, doenças como a "ice-ice disease" em Kappaphycus alvarezii, a síndrome do talo podre em Gracilaria sp. e as manchas escuras e verdes em Ulva sp. representam desafios significativos. Essas patologias estão frequentemente associadas a condições ambientais adversas, como variações de temperatura e salinidade, além da presença de microrganismos patogênicos, como bactérias dos gêneros Vibrio e Pseudoalteromonas. A falta de diversidade genética em cultivos clonais aumenta a suscetibilidade a patógenos, o que pode resultar em perdas de biomassa e na redução da qualidade dos produtos extraídos, como carragenina e ágar. Portanto, é essencial investir em pesquisas para selecionar variedades mais resistentes e desenvolver técnicas de manejo que minimizem o estresse ambiental.

Além disso, a interação das macroalgas com outros organismos, como bactérias e invertebrados, pode ter implicações tanto para a saúde das macroalgas quanto para a saúde humana, especialmente no caso de *Sargassum*, que pode atuar como reservatório para patógenos, como *Vibrio cholerae*. O monitoramento dessas interações, utilizando técnicas avançadas de sensoriamento remoto e sequenciamento genético, é crucial para mitigar os riscos associados à proliferação dessas algas. Em síntese, o desen-

volvimento sustentável da algicultura depende de uma abordagem integrada que considere aspectos produtivos, sanitários e ecológicos, garantindo a viabilidade econômica e ambiental dessa atividade.

As referências citadas ao longo do capítulo fornecem a base científica para as discussões apresentadas, destacando a importância de estudos contínuos e atualizados sobre as doenças que afetam as macroalgas e suas implicações para a maricultura. A colaboração entre pesquisadores, produtores e órgãos governamentais será essencial para o desenvolvimento de estratégias eficazes de prevenção e controle de doenças, garantindo o crescimento sustentável da algicultura no Brasil e no mundo.

8. Referências bibliográficas

- Araújo P.G., Nardelli, A.E., 2017. Cultivo de Macroalgas Marinhas. – São Paulo: Instituto de Biociências da Universidade de São Paulo, Departamento de Botânica, 332 p.
- Araújo, P.G., 2015. Avaliação do potencial invasor de Kappaphycus alvarezii no litoral da Paraíba, nordeste do Brasil. Recife: Universidade Federal de Pernambuco.
- Azizi, A., Mohd Hanafi, N., Basiran, M.N., Teo, C.H., 2018. Evaluation of disease resistance and tolerance to elevated temperature stress of the selected tissue-cultured *Kappaphycus alvarezii* Doty 1985 under optimized laboratory conditions. 3 Biotech 8, 1–10. DOI: https://doi.org/10.1007/ S13205-018-1354-4/TABLES/3.
- Beleneva, I.A., Zhukova, N. V., 2006. Bacterial communities of some brown and red algae from Peter the Great Bay, the Sea of Japan. Microbiology (N Y) 75, 348–357. DOI: https://doi.org/10.1134/S0026261706030180/ METRICS.

- Chen, D.H., Soares, L.P., Fujii, M.T., 2019. Molecular and morphological reappraisal of *Spyridiocolax capixabus* (Spyridiaceae, Rhodophyta), a rare endemic parasite from Brazil. Botanica Marina 62, 345–353. DOI: https://doi. org/10.1515/bot-2018-0089.
- Cole, K.M., Sheath, R.G., 1990. Biology of the red algae. Cambridge University Press.
- 7. Colorni, A., 1989. Perforation disease affecting *Ulva* sp. cultured in Israel on the Red Sea. Diseases of Aquatic Organisms. v. 7, p. 71-73, 1989.
- DeSantis R., Ladapo J.A., Florida Health, 2023. Sargassum Seaweed and Beach Safety. Disponível em: https://www.floridahealth.gov/environ-mental-health/beach-water-quality/_documents/sargassum-factsheet-appr-final.pdf>. Acesso em: 10 mar. 2025.
- Dewi A., Kantun W., Lapong I., 2024. "Correlation of Water Quality Parameters on Growth Performance of Seaweed (*Kappaphycus alvarezii* Doty, 1986) Cultivated with Diagonal Method." Asian Journal of Fisheries and Aquatic Research 26 (4): 1–11. DOI: https://doi.org/10.9734/ ajfar/2024/v26i4751.
- 10. Dillehay, T.D., Ramírez, C., Pino, M., Collins, M.B., Rossen, J., Pino-Navarro, J.D., 2008. Monte Verde: Seaweed, food, medicine, and the peopling of South America. Science 320, 784–786. DOI: https://doi.org/10.1126/SCIENCE.1156533/ SUPPL_FILE/DILLEHAY.SOM.PDF.
- Duarte, A.M., Carvalhal, G., Assunção, J., Guedes, A.C., Pinto, I.S., Costa, I., 2025. Cultivation of Ulva sp. and Gracilaria sp. associated with a recirculating aquaculture system. Journal of Applied Phycology. DOI: https://doi.org/10.1007/ s10811-024-03424-6.
- 12. Environmental Protection Agency (EPA), 2023. Sargassum Inundation Events and Human Health. 2023. Disponível em: https://www.epa.gov/habs/sargassum-inundation-events-sies-impacts-human-health>. Acesso em: 10 mar. 2025.
- 13. EPAGRI Empresa de Pesquisa Agropecuária e Extensão Rural de Santa Catarina, 2020. https:// www.epagri.sc.gov.br/index.php/2020/07/07/ pesquisas-da-epagri-visam-tornar-a-macroalga-nova-alternativa-de-renda-dos-cultivos-marinhos-em-sc/. Acesso em: 13 mar. 2025.
- 14. EPAGRI Empresa de Pesquisa Agropecuária e Extensão Rural de Santa Catarina, 2023. https:// www.epagri.sc.gov.br/index.php/2024/11/12/

- producao-catarinense-de-macroalgas-cresce-150-na-safra-2023-24/. Acesso em: 26 jan. 2025.
- 15. FAU Florida Atlantic University, 2023.Perfect Pathogen Storm: Sargassum and Vibrio Bacteria. 2023. Disponível em: https://www.fau.edu/newsdesk/articles/perfect-pathogen-storm. php>. Acesso em: 10 mar. 2025.
- 16. Gordon, A., 2017. Case study: Improving the quality and viability of a traditional beverage— Irish Moss. Food Safety and Quality Systems in Developing Countries 2, 47–79. DOI: https://doi.org/10.1016/B978-0-12-801226-0.00003-7.
- Guiry, M.D., 2024. Seaweed site. World-wide electronic publication, University of Galway, Ireland. https://seaweed.ie/sargassum/sargasso. html. Acessed 10 mar. 2025.
- 18. Hayashi, L., 2007. Contribuição à maricultura da alga vermelha Kappaphycus alvarezii (Rhodophyta, Solieriaceae) para produção de carragenanas. (Tese de doutorado, Universidade de São Paulo-USP).
- 19. Hiraoka, M., 2021. Massive *Ulva* green tides caused by inhibition of biomass allocation to sporulation. Plants 10. DOI: https://doi.org/10.3390/plants10112482. 10, n. 11, p. 2482.
- 20. Hurtado, A.Q., Critchley, A.T., Trespoey, A., Lhonneur, G.B., 2006. Occurrence of Polysiphonia epiphytes in *Kappaphycus* farms at Calaguas Is., Camarines Norte, Phillippines. Journal of Applied Phycology 18, 301–306. DOI: https://doi.org/10.1007/S10811-006-9032-Z/ METRICS.
- Jensen, M., 2004. Cultivating edible seaweed in Hawaii: new technique helps local farmers. College of Agriculture and Life Sciences.
- 22. Largo, D.B., Fukami, K., Nishijima, T., Ohno, M., 1995. Laboratory-induced development of the ice-ice disease of the farmed red algae *Kappaphycus alvarezii* and *Eucheuma denticulatum* (Solieriaceae, Gigartinales, Rhodophyta). Journal of Applied Phycology 7, 539–543. DOI: https://doi.org/10.1007/BF00003940/METRICS.
- 23. Lavilla-Pitogo, C.R., 1992. Agar-digesting bacteria associated with 'rotten thallus syndrome' of *Gracilaria* sp. Aquaculture 102, 1–7. DOI: https://doi.org/10.1016/0044-8486(92)90283-Q.
- 24. Le, B., Golokhvast, K.S., Yang, S.H., Sun, S., 2019. Optimization of microwave-assisted extraction of polysaccharides from *Ulva pertusa* and evaluation

- of their antioxidant activity. Antioxidants 8. DOI: https://doi.org/10.3390/antiox8050129.
- 25. Liu, X., Chen, Y., Zhong, M., Chen, W., Lin, Q., Du, H., 2019. Isolation and pathogenicity identification of bacterial pathogens in bleached disease and their physiological effects on the red macroalga *Gracilaria lemaneiformis*. Aquatic Botany 153, 1–7. DOI: https://doi.org/10.1016/J. AQUABOT.2018.11.002.
- 26. Luhan, M.R.J., Avañcena, S.S., Mateo, J.P., 2015. Effect of short-term immersion of *Kappaphycus alvarezii* (Doty) Doty in high nitrogen on the growth, nitrogen assimilation, carrageenan quality, and occurrence of "ice-ice" disease. Journal of Applied Phycology 27, 917–922. DOI: https://doi.org/10.1007/S10811-014-0365-8/FIGURES/5.
- Mantri, V.A., Kazi, M.A., Balar, N.B., Gupta, V., Gajaria, T., 2020. Concise review of green algal genus *Ulva* Linnaeus. Journal of Applied Phycology DOI: https://doi.org/10.1007/s10811-020-02148-7.
- Martinez, J.N., Padilla, P.I.P., 2016. Isolation and characterization of agar-digesting *Vibrio* species from the rotten thallus of *Gracilariopsis heteroclada*. Marine Environmental Research 119, 156–160. DOI: https://doi.org/10.1016/J. MARENVRES. 2016.05.023.
- Mendes M., Fortunato D., Cotas J., Pacheco D., Morais T., Pereira L., 2022. Agar content of estuarine seaweed *Gracilaria* using different cultivation methods. Applied Food Research 2 (2): 100209. DOI: https://doi.org/10.1016/j. afres.2022.100209.
- Murúa, P., Muñoz, L., Bustamante, D., Gauna, C., Hayashi, L., Robledo, D., Strittmatter, M., Arce, P., Westermeier, R., Müller, D.G., Gachon, C.M.M., 2024a. The first phycopathological atlas in Latin America unveils the underdocumentation of algal pathogens. Algal Research 82. DOI: https://doi. org/10.1016/j.algal.2024.103604.
- Nissen, S.H., Juul, L., Bruhn, A., Søndergaard, J., Dalsgaard, T.K., 2024. The biochemical composition and its relation to color of *Ulva* spp. upon harvest time. Journal of Applied Phycology 36, 2095–2107. DOI: https://doi.org/10.1007/s10811-024-03207-z.
- 32. NOAA National Oceanic and Atmospheric Administration, 2023. The Science of *Sargassum*. Disponível em: https://oceanservice.noaa.gov/news/sargassum/. Acesso em: 10 mar. 2025.

- 33. Nussinovitch, A., 1997. Hydrocolloid Applications. Hydrocolloid Applications. Inserir volume e paginação. DOI: https://doi. org/10.1007/978-1-4615-6385-3/COVER.
- 34. Organização das Nações Unidas para Alimentação e Agricultura FAO, 2024. The State of World Fisheries and Aquaculture 2024 Blue Transformation in 600 action. Rome. DOI: https://doi.org/10.4060/cd0683en.
- 35. Reddy, C. R., Baghel, R. S., Trivedi, N., Kumari, P., Gupta, V., Prasad, K., Meena, R., 2018. Integrated process to recover a spectrum of bioproducts from fresh seaweeds. U.S. Patent No. 10,000,579. Washington, DC: U.S. Patent and Trademark Office.
- 36. Reis, R.P., Castelar, B., Moura, A.L., Kirk, R., 2009. Invasive potential of *Kappaphycus alvarezii* off the south coast of Rio de Janeiro state, Brazil: A contribution to environmentally secure cultivation in the tropics. Botanica Marina 52, 283–289. DOI: https://doi.org/10.1515/BOT.2009.002/MACHINEREADABLECITATION/RIS.
- 37. Santelices, B., Doty, M.S., Santelices, B., Doty, M.S., 1989. A review of *Gracilaria* farming. Aquaculture 78, 95–133. https://doi.org/10.1016/0044-8486(89)90026-4
- 38. Schroeder, D.C., Jaffer, M.A., Coyne, V.E., 2003. Investigation of the role of a β(1 - 4) agarase produced by *Pseudoalteromonas gracilis* B9 in eliciting disease symptoms in the red alga *Gracilaria gracilis*. Microbiology 149, 2919–2929. DOI: https://doi.org/10.1099/MIC.0.26513-0/CITE/REFWORKS.
- 39. Sun, X., He, Y., Xu, N., Xia, Y., Liu, Z., 2012. Isolation and identification of two strains of pathogenic bacteria and their effects on the volatile metabolites of *Gracilariopsis lemaneiformis* (Rhodophyta). Journal of Applied Phycology 24, 277–284. DOI: https://doi.org/10.1007/S10811-011-9677-0/TABLES/1.
- 40. Swati S., Bhende M., 2024. "An Overview: Non-Toxic and Eco-Friendly Polysaccharides— Its Classification, Properties, and Diverse Applications." Polymer Bulletin, volume e paginação. DOI: https://doi.org/10.1007/ s00289-024-05307-9.
- 41. Tahiluddin, A.B., Terzi, E., 2024. Ice-Ice Disease prevalence and intensity in Eucheumatoid Seaweed Farms: Seasonal variability and relationship with the physicochemical and meteorological parameters. Plants 13, 2157. DOI: https://

- 42. Tan, P.L., Poong, S.W., Tan, J., Brakel, J., Gachon, C., Brodie, J., Sade, A., Lim, P.E., 2022a. Assessment of genetic diversity within eucheumatoid cultivars in east Sabah, Malaysia. Journal of Applied Phycology 34, 709–717. DOI: https://doi.org/10.1007/S10811-021-02608-8/FIGURES/2.
- 43. Tran, L.A.T., Vieira, C., Steinhagen, S., Maggs, C.A., Hiraoka, M., Shimada, S., Van Nguyen, T., De Clerck, O., Leliaert, F., 2022. An appraisal of *Ulva* (Ulvophyceae, Chlorophyta) taxonomy. Journal of Applied Phycology 34, 2689–2703. DOI: https://doi.org/10.1007/s10811-022-02815-x.
- 44. Tseng, C. K, 1981. Commercial cultivation. The Biology of Seaweed, p. 680-725.
- 45. Valderrama, D., Cai, J., Hishamunda, N., Ridler, N., Neish, I.C., Hurtado, A.Q., Msuya, F.E., Krishnan, M., Narayanakumar, R., Kronen, M., Robledo, D., Gasca-Leyva, E., Fraga, J., 2015. The economics of *Kappaphycus* seaweed cultivation in developing countries: A comparative analysis of farming systems. Aquaculture Economics & Management 19, 251–277. DOI: https://doi.org/10.1080/13657305.2015.1024348.
- 46. Won, B.Y., Fredericq, S., Cho, T.O., 2021. New insights into the phylogeny of *Spyridia* (Ceramiales, Rhodophyta) species with uncinate spines, focusing on the structure of determinate branches. European Journal of Phycology 56, 389–402. DOI: https://doi.org/10.1080/09670262.2020. 1840634.
- 47. Xia, Z., Cao, X., Li, S., Cao, J., Tong, Y., Sun, Y., Liu, J., Zhao, S., Cui, Q., Zeng, Y., Chen, Z., He, P., Zhang, J., 2023. Distribution of *Ulva prolifera*, the dominant species in green tides along the Jiangsu Province coast in the Southern Yellow Sea, China. Journal of Sea Research 196. DOI: https://doi.org/10.1016/j.seares.2023.102436.
- 48. Yatsuya, K., 2008. Floating period of Sargassacean thalli estimated by the change in density. Journal of Applied Phycology 20, 797–800. DOI: https://doi.org/10.1007/S10811-007-9293-1/FIGURES/2.
- 49. Yoshida, G., Uchimura, M., Hiraoka, M., 2015. Persistent occurrence of floating *Ulva* green tide in Hiroshima Bay, Japan: seasonal succession and growth patterns of *Ulva pertusa* and *Ulva* spp. (Chlorophyta, Ulvales). Hydrobiologia 758, 223–233. DOI: https://doi.org/10.1007/

- s10750-015-2292-3.
- 50. Zertuche-González, J.A., Sandoval-Gil, J.M., Rangel-Mendoza, L.K., Gálvez-Palazuelos, A.I., Guzmán-Calderón, J.M., Yarish, C., 2021. Seasonal and interannual production of sea lettuce (*Ulva* sp.) in outdoor cultures based on commercial size ponds. Journal of Applied Phycology 52, 1047–1058. DOI: https://doi.org/10.1111/ jwas.12773.
- 51. Zuccarello, G.C., Prud'homme Van Reine, W.F., Stegenga, H., 2004. Recognition of Spyridia griffithsiana comb. (Ceramiales, Rhodophyta): A taxon previously misidentified as Spyridia filamentosa from Europe. Botanica Marina 47, 481–489. DOI: https://doi.org/10.1515/ BOT.2004.064.